

لِنَزَّلَ اللَّهُ عَلَيْهِ
الْحُكْمَ وَلِنَعْلَمَ
الْإِنْسَانَ مَا يَعْمَلُ



دانشکده شیمی

پایان نامه کارشناسی ارشد شیمی معدنی

تهییهٔ هتروپلی آنیون‌های با ساختار کگین نشانده شده بر بستر نانو الیاف پلی-
آنیلین و بررسی کاربرد کاتالیزوری و بیولوژیکی آن‌ها

نگارنده: مرجان نعیم زاده

استاد راهنما

دکتر مهدی میرزاei

استاد مشاور

دکتر شیده موجرلو

بهمن ۱۳۹۶

تقدیر و تشکر:

سپاس خدای را که هرچه دارم از اوست
به امید آن که توفیق یابم جز خدمت به خلق او نکوشم

از تمامی کسانی که مرا در این تحقیق یاری فرموده‌اند به خصوص استاد راهنمای گرامی آقای دکتر میرزائی ، استاد مشاور سرکار خانم دکتر موجرلو، دوستان عزیز و هم آزمایشگاهی های خوبم متشرکم.

تقدیم به او که آموخت تا بیاموزم
استاد گرامی جناب آقای دکتر میرزائی

تقدیم به آنان که وجودم جز هدیه‌ی وجودشان نیست

پدر و مادر عزیزم

تقدیم به خواهران بهتر از جانم

تعهد نامه

اینجانب مرjan نعیم‌زاده دانشجوی دوره کارشناسی ارشد رشته شیمی معدنی دانشکده شیمی دانشگاه صنعتی شاهروド نویسنده پایان نامه تهیّه‌ی هتروپلی آنیون‌های با ساختار کگین نشانده شده بر بستر نانو الیاف پلی آنیلین و بررسی کاربرد کاتالیزوری و بیولوژیکی آن‌ها تحت راهنمائی دکتر مهدی میرزائی و دکتر شیده موجلو متuhed می شوم.

- تحقیقات در این پایان نامه توسط اینجانب انجام شده است و از صحت و اصالت برخوردار است.
- در استفاده از نتایج پژوهش‌های محققان دیگر به مرجع مورد استفاده استناد شده است.
- مطالب مندرج در پایان نامه تاکنون توسط خود یا فرد دیگری برای دریافت هیچ نوع مدرک یا امتیازی در هیچ جا ارائه نشده است.
- کلیه حقوق معنوی این اثر متعلق به دانشگاه صنعتی شاهرود می باشد و مقالات مستخرج با نام «دانشگاه صنعتی شاهرود» و یا «University of Technology Shahrood» به چاپ خواهد رسید.
- حقوق معنوی تمام افرادی که در به دست آمدن نتایج اصلی پایان نامه تأثیرگذار بوده اند در مقالات مستخرج از پایان نامه رعایت می گردد.
- در کلیه مراحل انجام این پایان نامه، در مواردی که از موجود زنده (یا بافت‌های آنها) استفاده شده است ضوابط و اصول اخلاقی رعایت شده است.
- در کلیه مراحل انجام این پایان نامه، در مواردی که به حوزه اطلاعات شخصی افراد دسترسی یافته یا استفاده شده است اصل رازداری، ضوابط و اصول اخلاق انسانی رعایت شده است

امضای دانشجو

تاریخ

مالکیت نتایج و حق نشر

کلیه حقوق معنوی این اثر و محصولات آن (مقالات مستخرج ، کتاب ، برنامه های رایانه ای ، نرم افزار ها و تجهیزات ساخته شده است) متعلق به دانشگاه صنعتی شاهرود می باشد . این مطلب باید به نحو مقتضی در تولیدات علمی مربوطه ذکر شود.

استفاده از اطلاعات و نتایج موجود در پایان نامه بدون ذکر مرجع مجاز نمی باشد.

چکیده:

هتروپلی اسیدها، به دلیل پایداری گرمایی بالا، کاتالیزگرهای معدنی مناسبی در واکنش‌های گوناگون اکسایش و اپوکسایش می‌باشند. در این تحقیق، هتروپلی اسیدهای $H_4[SiW_{12}O_{40}]$ ، $H_4[PW_{12}O_{40}]$ ، $H_4[PMo_{11}VO_{40}]$ و $H_5[PW_{10}V_2O_{40}]$ ، $H_5[PMo_{10}V_2O_{40}]$ شدند. ساختار این ترکیبات به وسیله‌ی آنالیزهای XRD، FT-IR، UV-Vis و FE-SEM بررسی گردید. همچنین آنالیز ICP جهت تعیین درصد فلز موجود در کاتالیزگرهای تهیه شده و نیز آنالیز GC جهت بررسی پیشرفت واکنش‌های کاتالیزوری، انجام شد. سپس کارکرد کاتالیزوری آن‌ها در واکنش اپوکسایش آلکن‌ها در فاز ناهمگن بررسی شد و جهت بھبود فرایند واکنش، پارامترهای مؤثر بھینه شد. همچنین ویژگی ضدبacterیایی ترکیبات تهیه شده مورد ارزیابی قرار گرفت. بررسی کاتالیزگرها نشان داد در این واکنش، زمان و مقدار کاتالیزگر در پیشرفت واکنش تأثیر بهسزایی دارد. بررسی‌های ضدبacterیایی این ترکیبات بر روی تعدادی از گونه‌های بیماری‌زا نظیر قارچ فوزاریوم، قارچ ماکروفومینا، قارچ بوتریتیس و نیز باکتری پسیدوموناس سیرنگا انجام شد.

کلمات کلیدی: کاتالیزگرهای ناهمگن، هتروپلی اسید، پلی‌آنیلین، اپوکسایش، آلکن.

مقالات برگرفته از پایان نامه:

1- M. Mirzaee, M. Naiemzadeh, "Effect of Vanadium Content on Catalytic Properties of $H_{3+N}pmo_{12-N}v_nO_{40}$ (N=1-3) Supported on Polyaniline For The Epoxidation of Cyclooct", The 18th Iranian Inorganic Chemistry Conference, Ferdowsi University of Mashhad, Khorasan, **2017**.

2- M. Mirzaee, M. Naiemzadeh, "Epoxidation of Cyclooctene Catalyzed by $H_5W_{10}V_2O_{40}$ Supported on Polyaniline as a Heterogeneous catalys", The 18th Iranian Inorganic Chemistry Conference, Ferdowsi University of Mashhad, Khorasan, Khorasan, **2017**.

فهرست مطالب

۱.....	فصل اول
۲.....	۱-۱ پلی اکسومتال ها
۲	۱-۱-۱ تاریخچه پلی اکسومتال ها
۳	۱-۱-۲ ساختار پلی اکسومتال ها
۶	۱-۲-۱ ساختار کگین
۸	۲-۲-۱ ساختار ولز-داوسون
۸	۳-۲-۱ ساختار دکستر-سیلورتون
۱۰.....	۴-۲-۱ ساختار اندرسون-اوанс
۱۱.....	۵-۲-۱ ساختار لیندکویست
۱۱.....	۱-۱-۳ خواص هتروپلی اسیدها
۱۲.....	۱-۳-۱ پایداری و ثبات
۱۲.....	۲-۳-۱ سایتها فعال هتروپلی اسیدها
۱۳.....	۴-۱-۱ کاربردهای هتروپلی اسیدها
۱۴.....	۱-۱-۵ پلی آنیلین
۱۶.....	۱-۵-۱ روش های سنتز پلی آنیلین
۱۷	۱-۲ اپوکسایش آلکن ها
۱۸.....	۱-۲-۱ مروری بر پژوهش های گذشته و بررسی تعدادی از مکانیسم های آن ها
۲۳	۱-۳ برسی خواص آنتی باکتریال هتروپلی اسیدها
۲۴.....	۱-۳-۱ قارچ ماکروفومینا
۲۵.....	۱-۳-۲ قارچ بوتریتیس سینرا
۲۶.....	۱-۳-۳ قارچ فوزاریوم گرمینه
۲۷.....	۱-۳-۴ باکتری پسیدوموناس سیرنگا (P.S.S)
۲۸	۴-۱ هدف
۲۹	فصل دوّم

۱-۲ بررسی ویژگی‌های کاتالیزوری هتروپلی اسیدهای نشانده شده بر روی نانو الیاف پلی‌آنیلین در واکنش اپوکسایش آلنکن‌ها	۳۰
۱-۱-۲ مواد شیمیایی استفاده شده	۳۰
۲-۱-۲ گونه‌های بیولوژیکی به کار گرفته شده	۳۰
۳-۱-۲ دستگاه‌های به کار گرفته شده	۳۱
۱-۳-۱-۲ دستگاه کروماتوگرافی گازی (GC)	۳۱
۲-۳-۱-۲ دستگاه طیف‌سنجی فروسرخ تبدیل فوریه (FT-IR)	۳۱
۳-۳-۱-۲ دستگاه طیف‌سنجی فرابینفش- مرئی (UV- Vis)	۳۱
۴-۳-۱-۲ دستگاه آنالیز حرارتی (TGA)	۳۲
۵-۳-۱-۲ دستگاه FE-SEM و EDX	۳۲
۶-۳-۱-۲ دستگاه آنالیز عنصری (ICP)	۳۲
۷-۳-۱-۲ هود بیولوژیک	۳۲
۸-۳-۱-۲ اتوکلاو	۳۲
۹-۳-۱-۲ انکوباتور	۳۲
۴-۱-۲ تهیّهٔ هتروپلی اسیدهای کگین	۳۳
۱-۴-۱-۲ تهیّهٔ هتروپلی اسید $H_4[PW_{12}O_{40}]$	۳۳
۲-۴-۱-۲ تهیّهٔ هتروپلی اسید $H_4[SiW_{12}O_{40}]$	۳۳
۳-۴-۱-۲ تهیّهٔ هتروپلی اسید $H_5[PMo_{10}V_2O_{40}]$	۳۴
۴-۴-۱-۲ تهیّهٔ هتروپلی اسید $H_4[PMo_{11}VO_{40}]$	۳۴
۵-۴-۱-۲ تهیّهٔ هتروپلی اسید $H_5[PW_{10}V_2O_{40}]$	۳۵
۵-۱-۲ تهیّهٔ بستر پلی‌آنیلین	۳۶
۱-۵-۱-۲ نشاندن هتروپلی اسیدهای کگین تهیّه شده بر روی بستر پلی‌آنیلین	۳۶
۲-۵-۱-۲ بررسی میزان جذب هتروپلی اسیدها بر روی بستر نانو الیاف پلی‌آنیلین به وسیله‌ی	
۳-۶-۱-۲ تکنیک UV-Vis	۳۶
۶-۱-۲ بررسی ویژگی‌های کاتالیزگر ناهمگن HPA-PANI در واکنش اپوکسایش آلنکن‌ها	۳۷
۱-۶-۱-۲ بررسی اثر حلال	۳۷
۲-۶-۱-۲ بررسی اثر اکسنده	۳۷
۳-۶-۱-۲ بررسی اثر دما	۳۸

۴-۱-۲ برسی اثر مقدار اکسنده	۳۸
۵-۱-۲ برسی اثر مقدار کاتالیزگر	۳۹
۶-۱-۲ برسی اثر زمان	۳۹
۷-۱-۲ برسی توانایی کاتالیزگر بازیابی شده در اپوکسایش سیکلواکتن	۳۹
۸-۱-۲ برسی اپوکسایش سایر آلکن‌ها با استفاده از کاتالیزگرهای ناهمگن HPVMo-PANI	۴۰
۸-۲ برسی اپوکسایش HPV ₂ W-PANI و HPV ₂ Mo-PANI	۴۰
۲-۲ برسی ویژگی‌های آنتی‌باکتریال ترکیبات تهیّه شده HPA-PANI	۴۰
۲-۲-۱ انواع روش‌های ارزیابی اثر بازدارندگی ترکیبات بروی قارچ‌های مورد نظر	۴۰
فصل سوم	۴۳
۱-۳ شناسایی و برسی کاتالیزگرهای	۴۴
۱-۱-۳ شناسایی هتروپلی اسیدها	۴۴
۱-۲-۳ شناسایی بستر نانو فیبر پلی‌آنیلین	۴۸
۱-۳-۱ برسی جذب هتروپلی اسیدهای تهیّه شده بر روی بستر نانو فیبر پلی‌آنیلین به روش UV	۵۴
۱-۳-۲ VIS	
۱-۳-۳ شناسایی کاتالیزگرهای تهیّه شده و برسی پایداری حرارتی آن‌ها	۵۷
۲-۳ برسی کارایی کاتالیزگرهای ناهمگن HPV ₂ W-PANI، HPV ₂ MO-PANI و HPVMO-PANI	۵۹
۲-۳-۱ برسی اثر نوع حلال	۶۰
۲-۳-۲ برسی اثر نوع اکسنده	۶۲
۲-۳-۳ برسی اثر دما	۶۳
۲-۳-۴ برسی اثر مقدار اکسنده	۶۴
۲-۳-۵ برسی اثر مقدار کاتالیزگر	۶۶
۲-۳-۶ برسی اثر زمان	۶۷
۲-۳-۷ برسی بازیابی سه کاتالیزگر در واکنش اپوکسایش سیکلواکتن	۶۹
۲-۳-۸ برسی اپوکسایش دیگر آلکن‌ها با کاتالیزگرهای ناهمگن HPVMo-، HPV ₂ W-PANI و HPV ₂ Mo-PANI	۷۱
۲-۳-۹ جمع‌بندی شرایط بهینه	۷۳

۱۰-۲-۳ مکانیسم احتمالی اپوکسایش کاتالیزوری آلکن‌ها با کاتالیزگرهای $\text{HPV}_2\text{W-PANI}$	۷۴
۱۱-۲-۳ مقایسه‌ی توانایی کاتالیزورهای ناهمگن تهییه شده $\text{HPV}_2\text{W-PANI}$ و HPVMo-PANI	۷۶
۳-۳ نتایج آنتی‌باکتریال $\text{HPV}_2\text{Mo-PANI}$ با نمونه کارهای گذشته	۷۸
آینده‌نگری:	۸۲
محاسبات:	۸۳
منابع:	۸۶

فهرست اشکال

شکل ۱-۱: هتروپلی اسید کگین	5
شکل ۲-۱: ساختار آنیون $[PW_{12}O_{40}]^{3-}$	7
شکل ۳-۱: ساختار ولز-داوسون	8
شکل ۴-۱: ساختار دکستر-سیلورتون	10
شکل ۵: ساختار دکستر-سیلورتون از نمایی دیگر.	10
شکل ۶: ساختار اندرسون-اونس	10
شکل ۷: ساختار لیندکویست	11
شکل ۸: ساختار لیندکویست از نمایی دیگر.	11
شکل ۹: ساختار پلیآنیلین	15
شکل ۱۰-۱: شکل ۱ a) گروه فنیلن دیآمین، b) گروه کینوئیدی ایمین	15
شکل ۱۱-۱: ساختار فرم‌های مختلف پلیآنیلین	16
شکل ۱۲-۱: نمونهای از واکنش اپوکسایش آلکن‌ها	18
شکل ۱۳-۱: مکانیسم اپوکسایش آلکن‌ها در سیستم ونگ	19
شکل ۱-۳: طیف FT-IR ساختار هتروپلی اسید $H_4[PW_{12}O_{40}]$	45
شکل ۲-۳: طیف FT-IR ساختار هتروپلی اسید $H_4[SiW_{12}O_{40}]$	45
شکل ۳-۳: طیف FT-IR هتروپلی اسید $H_5[PW_{10}V_2O_{40}]$	46
شکل ۴-۳: طیف FT-IR هتروپلی اسید $H_5[PMo_{10}V_2O_{40}]$	47
شکل ۵-۳: طیف FT-IR هتروپلی اسید $H_4[PMo_{11}VO_{40}]$	47
شکل ۳-۶: طیف FT-IR بستر پلیآنیلین	48
شکل ۳-۷: تصویر FE-SEM پلیآنیلین	49
شکل ۳-۸: تصویر FE-SEM کاتالیزگر HPVMo-PANI	50
شکل ۳-۹: تصویر FE-SEM کاتالیزگر HPV ₂ Mo-PANI	50
شکل ۳-۱۰: تصویر FE-SEM کاتالیزگر HPV ₂ W-PANI	51
شکل ۳-۱۱: آنالیز EDX کاتالیزگر ناهمگن HPVMo-PANI	52
شکل ۳-۱۲: آنالیز EDX کاتالیزگر ناهمگن HPV ₂ Mo-PANI	52
شکل ۳-۱۳: آنالیز EDX کاتالیزگر ناهمگن HPV ₂ W-PANI	53
شکل ۳-۱۴: آنالیز XRD کاتالیزگر ناهمگن HPV ₂ W-PANI	53

..... ۵۴ شکل ۳-۱۵: آنالیز XRD کاتالیزگر ناهمگن HPVMo-PANI
..... ۵۴ شکل ۳-۱۶: آنالیز XRD کاتالیزگر ناهمگن HPV ₂ Mo-PANI
..... ۵۵ شکل ۳-۱۷: طیف UV-Vis محلول ۲/۵ مولار هتروپلی اسید HPV ₂ W-PANI بر روی بستر پلی آنیلین
..... ۵۵ شکل ۳-۱۸: طیف UV-Vis محلول ۲/۵ مولار هتروپلی اسید HPVMO-PANI بر روی بستر پلی آنیلین
..... ۵۶ شکل ۳-۱۹: طیف UV-Vis محلول ۲/۵ مولار هتروپلی اسید HPV ₂ MO-PANI بر روی بستر پلی آنیلین
..... ۵۷ شکل ۳-۲۰: طیف FT-IR کاتالیزگرهای ناهمگن تهیّه شده
..... ۵۸ شکل ۳-۲۱: آنالیز حرارتی TG-DTG کاتالیزگر ناهمگن HPVMo-PANI
..... ۵۸ شکل ۳-۲۲: آنالیز حرارتی TG-DTG کاتالیزگر ناهمگن HPV ₂ Mo-PANI
..... ۵۹ شکل ۳-۲۳: آنالیز حرارتی TG-DTG کاتالیزگر ناهمگن HPV ₂ W-PANI
..... ۶۱ شکل ۳-۲۵: نمودار نتایج حاصل از بررسی اثر نوع حلال در اپوکسایش آلكن با کاتالیزگرهای ناهمگن تهیّه شده، (واکنش، حاوی مخلوط ۲۰ میلی گرم کاتالیزگر، ۰/۴ میلی لیتر اکسندهی TBHP، ۱ میلی لیتر حلال، در مدت زمان ۳ و ۴ ساعت به ترتیب برای کاتالیزگرهای بر پایهی مولیبدن و تنگستن، در دمای نقطهی جوش هر حلال و در شرایط رفلaksن، انجام شد).
..... ۶۳ شکل ۳-۲۶: نمودار نتایج حاصل از بررسی اثر نوع اکسنده در اپوکسایش آلكن با کاتالیزگرهای ناهمگن تهیّه شده، (واکنش، حاوی ۲۰ میلی گرم کاتالیزگر، ۰/۰ میلی لیتر اکسنده، ۱ میلی لیتر حلال، در مدت زمان ۳ و ۴ ساعت به ترتیب برای کاتالیزگرهای بر پایهی مولیبدن و تنگستن، در دمای نقطهی جوش هر حلال و در شرایط رفلaksن، انجام شد).
..... ۶۴ شکل ۳-۲۷: نمودار نتایج حاصل از بررسی اثر دما در اپوکسایش آلكن با کاتالیزگرهای ناهمگن تهیّه شده، (واکنش، حاوی مخلوط ۲۰ میلی گرم کاتالیزگر، ۰/۰ میلی لیتر اکسندهی TBHP، ۱ میلی لیتر حلال ۱ او-۲-دی کلرواتان، در مدت زمان ۳ و ۴ ساعت به ترتیب برای کاتالیزگرهای بر پایهی مولیبدن و تنگستن و در شرایط رفلaksن، انجام شد).
..... ۶۴ شکل ۳-۲۸: نمودار نتایج حاصل از بررسی اثر مقدار اکسنده در اپوکسایش آلكن با کاتالیزگرهای ناهمگن تهیّه شده، (واکنش، حاوی مخلوط ۲۰ میلی گرم کاتالیزگر، ۰/۰ میلی لیتر اکسندهی TBHP، ۱ میلی لیتر حلال ۱ او-۲-دی کلرواتان، در مدت زمان ۳ و ۴ ساعت به ترتیب برای

کاتالیزگرهای بر پایه‌ی مولیبدن و تنگستن، در دمای نقطه‌ی جوش حلال بهینه و در شرایط رفلaksن، انجام شد). ۶۵.....

شکل ۳-۲۹: نمودار نتایج حاصل از بررسی اثر مقدار کاتالیزگر در اپوکسایش آلکن با کاتالیزگرهای ناهمگن تهیّه شده، (واکنش، حاوی مخلوط $4/0$ میلی لیتر اکسندھی TBHP، 1 میلی لیتر حلال ۱۰ -دی کلرواتان، در مدت زمان ۳ و ۴ ساعت به ترتیب برای کاتالیزگرهای بر پایه‌ی مولیبدن و تنگستن، در دمای نقطه‌ی جوش حلال بهینه و در شرایط رفلaksن، انجام شد). ۶۷.....

شکل ۳-۳۰: نمودار نتایج حاصل از بررسی اثر زمان در اپوکسایش آلکن با کاتالیزگرهای ناهمگن تهیّه شده، (واکنش، حاوی مخلوط ۱۰ ، ۱۵ و ۲۰ میلی گرم به ترتیب برای کاتالیزگرهای HPV_2Mo -PANI، $\text{HPV}_2\text{W-PANI}$ و HPVMo-PANI ، مقدار $۵/۰$ میلی مول سیکلواکتن، $۴/۰$ میلی لیتر اکسندھی TBHP، ۱ میلی لیتر حلال ۱۰ -دی کلرواتان، در دمای نقطه‌ی جوش حلال بهینه و در شرایط رفلaksن، انجام شد). ۶۹.....

شکل ۳-۳۱: نمودار نتایج حاصل از بررسی اثر کاتالیزگر بازیابی شده در اپوکسایش آلکن با کاتالیزگرهای ناهمگن تهیّه شده، (واکنش، حاوی مخلوط ۱۰ ، ۱۵ و ۲۰ میلی گرم به ترتیب برای کاتالیزگرهای $\text{HPV}_2\text{W-PANI}$ و HPVMo-PANI ، $\text{HPV}_2\text{Mo-PANI}$ و HPVMo-PANI ، مقدار $۵/۰$ میلی مول سیکلواکتن، $۴/۰$ میلی لیتر اکسندھی TBHP، ۱ میلی لیتر حلال ۱۰ -دی کلرواتان، در دمای نقطه‌ی جوش حلال بهینه و در شرایط رفلaksن، انجام شد). ۷۰.....

شکل ۳-۳۲: نمودار نتایج حاصل از بررسی اپوکسایش دیگر آلکن‌ها با کاتالیزگرهای ناهمگن تهیّه شده، (واکنش، حاوی ۱۰ ، ۱۵ و ۲۰ میلی گرم به ترتیب برای کاتالیزگرهای HPVMo - $\text{HPV}_2\text{Mo-PANI}$ و $\text{HPV}_2\text{W-PANI}$ و PANI، مقدار $۵/۰$ میلی مول آلکن، $۴/۰$ میلی لیتر اکسندھی TBHP، ۱ میلی لیتر حلال ۱۰ -دی کلرواتان، در دمای نقطه‌ی جوش حلال بهینه و در شرایط رفلaksن، انجام شد). ۷۳.....

شکل ۳-۳۳: مکانیسم احتمالی اپوکسایش کاتالیزوری آلکن‌ها با کاتالیزگر $\text{HPV}_2\text{Mo-PANI}$ ۷۶.....

شکل ۳-۳۴: تأثیر بازدارندگی از رشد کاتالیزگر، الف- هتروپلی اسید، ب- پلی آنیلین، ج- کاتالیزگر بر قارچ ماکروفومینا فوسئولینا، سه روز پس از کشت در محیط PDA در مقایسه با شاهد ۷۸.....

شکل ۳-۳۵: تأثیر بازدارندگی از رشد ترکیبات، الف- پلی آنیلین، ب- هتروپلی اسید، ج- کاتالیزگر بر قارچ فوزاریوم گرمینه، سه روز پس از کشت در محیط PDA در مقایسه با شاهد ۷۹.....

شکل ۳-۳۶: تأثیر بازدارندگی از رشد ترکیبات، الف- هتروپلی اسید، ب- پلی آنیلین، ج- کاتالیزگر بر قارچ بوتریتیس سینرا، سه روز پس از کشت در محیط PDA در مقایسه با شاهد ۸۰.....

شکل ۳-۳: تأثیر بازدارندگی از رشد ترکیبات، الف- هتروپلی اسید، ب- پلی آنیلین، ج- کاتالیزگر بر باکتری پسیدوموناس سیرنگا، سه روز پس از کشت در محیط N.A در مقایسه با شاهد ۸۱

فهرست جداول

جدول ۱-۱: برخی از انواع پلی اکسومتال‌ها و ویژگی آن‌ها ۶
جدول ۱-۲: انواع اکسیژن‌های هتروپلی اسید کگین ۷
جدول ۱-۳: اپوکسایش آلکن‌ها با کاتالیزگر $TBA_4(V_2XW_{10})H_2O_2$ که X می‌تواند فسفر یا سیلیسیم باشد ۲۲۲
جدول ۲-۱: مشخصات دستگاه کروماتوگرافی گازی ۳۱
جدول ۲-۲: نتایج حاصل از بررسی اثر نوع حلال در اپوکسایش آلکن با کاتالیزگرهای ناهمگن تهیه شده، (واکنش، حاوی مخلوط ۲۰ میلی‌گرم کاتالیزگر، ۰/۴ میلی‌لیتر اکسندهی TBHP، ۱ میلی‌لیتر حلal، در مدت زمان ۳ و ۴ ساعت به ترتیب برای کاتالیزگرهای بر پایه‌ی مولیبden و تنگستن، در دمای نقطه‌ی جوش هر حلال و در شرایط رفلaksن، انجام شد). ۶۱
جدول ۲-۳: نتایج حاصل از بررسی اثر نوع اکسنده در اپوکسایش آلکن با کاتالیزگرهای ناهمگن تهیه شده، (واکنش، حاوی مخلوط ۲۰ میلی‌گرم کاتالیزگر، ۰/۴ میلی‌لیتر اکسنده، ۱ میلی‌لیتر حلal، در مدت زمان ۳ و ۴ ساعت به ترتیب برای کاتالیزگرهای بر پایه‌ی مولیبden و تنگستن، در دمای نقطه‌ی جوش هر حلال و در شرایط رفلaksن، انجام شد). ۶۲
جدول ۳-۱: نتایج حاصل از بررسی اثر دما در اپوکسایش آلکن با کاتالیزگرهای ناهمگن تهیه شده، (واکنش، حاوی مخلوط ۲۰ میلی‌گرم کاتالیزگر، ۰/۴ میلی‌لیتر اکسندهی TBHP، ۱ میلی‌لیتر حلal و ۱-۲ دی کلرواتان، در مدت زمان ۳ و ۴ ساعت به ترتیب برای کاتالیزگرهای بر پایه‌ی مولیبden و تنگستن و در شرایط رفلaksن، انجام شد). ۶۴
جدول ۳-۲: نتایج حاصل از بررسی اثر مقدار اکسنده در اپوکسایش آلکن با کاتالیزگرهای ناهمگن تهیه شده، (واکنش، حاوی مخلوط ۲۰ میلی‌گرم کاتالیزگر، ۰/۴ میلی‌لیتر اکسندهی TBHP، ۱ میلی‌لیتر حلal و ۱-۲ دی کلرواتان، در مدت زمان ۳ و ۴ ساعت به ترتیب برای کاتالیزگرهای بر پایه‌ی مولیبden و تنگستن، در دمای نقطه‌ی جوش حلال بهینه و در شرایط رفلaksن، انجام شد). ۶۵

جدول ۳-۵: نتایج حاصل از بررسی اثر مقدار کاتالیزگر در اپوکسایش آلکن با کاتالیزگرهای ناهمگن تهیّه شده، (واکنش، حاوی $4/0$ میلی لیتر اکسیدهی TBHP، 1 میلی لیتر حلal 1 و 2 -دی کلرواتان، در مدت زمان 3 و 4 ساعت به ترتیب برای کاتالیزگرهای بر پایه‌ی مولیبدن و تنگستن، در دمای نقطه‌ی جوش حلل بهینه و در شرایط رفلaksن، انجام شد).⁶⁶

جدول ۳-۶: نتایج حاصل از بررسی اثر زمان در اپوکسایش آلکن با کاتالیزگرهای ناهمگن تهیّه شده، (واکنش، حاوی مخلوط 10 ، 15 و 20 میلی گرم به ترتیب برای کاتالیزگرهای $\text{HPV}_2\text{MO-PANI}$ ، HPVMO-PANI و $\text{HPV}_2\text{W-PANI}$ ، مقدار $5/0$ میلی مول سیکلواکتن، $0/4$ میلی لیتر اکسیدهی TBHP، 1 میلی لیتر حلal 1 و 2 -دی کلرواتان، در دمای نقطه‌ی جوش حلل بهینه و در شرایط رفلaksن، انجام شد).⁶⁸

جدول ۳-۷: نتایج حاصل از بررسی اثر کاتالیزگر بازیابی شده در اپوکسایش آلکن با کاتالیزگرهای ناهمگن تهیّه شده، (واکنش، حاوی مخلوط 10 ، 15 و 20 میلی گرم به ترتیب برای کاتالیزگرهای $\text{HPV}_2\text{MO-PANI}$ ، HPVMO-PANI و $\text{HPV}_2\text{W-PANI}$ ، مقدار $5/0$ میلی مول سیکلواکتن، $0/4$ میلی لیتر اکسیدهی TBHP، 1 میلی لیتر حلal 1 و 2 -دی کلرواتان، در دمای نقطه‌ی جوش حلل بهینه و در شرایط رفلaksن، انجام شد).⁷⁰

جدول ۳-۸: نتایج حاصل از بررسی اپوکسایش دیگر آلکن‌ها با کاتالیزگرهای ناهمگن تهیّه شده، (واکنش، حاوی 10 ، 15 و 20 میلی گرم به ترتیب برای کاتالیزگرهای HPVMO-PANI ، $\text{HPV}_2\text{MO-PANI}$ و $\text{HPV}_2\text{W-PANI}$ ، مقدار $5/0$ میلی مول آلکن، $0/4$ میلی لیتر اکسیدهی TBHP، 1 میلی لیتر حلal 1 و 2 -دی کلرواتان، در دمای نقطه‌ی جوش حلل بهینه و در شرایط رفلaksن، انجام شد).⁷²

جدول ۳-۹: جمع‌بندی شرایط بهینه برای واکنش اپوکسایش آلکن‌ها با کاتالیزگرهای ناهمگن تهیّه شده.⁷⁴

جدول ۳-۱۰: مقایسه‌ی عملکرد کاتالیزگرهای ناهمگن تهیّه شده در این تحقیق با منابع دیگر.⁷⁷

فصل اول

مقدّمه

۱-۱ پلی اکسومتال‌ها

نوعی از کلاسترها^۱ معدنی که به سبب داشتن ویژگی‌های منحصر به فرد مورد توجه محققان قرار گرفتند، خانواده‌ی بزرگ پلی اکسومتال‌ها می‌باشند. این ترکیبات کاربردهای گسترده‌ای در زمینه‌های گوناگون به خصوص به عنوان کاتالیزگر دارند. از آنجا که علم به سمت استفاده از کاتالیزگرهای با بهره‌ی بالا و در عین حال سازگار با طبیعت است، این نوع کاتالیزگرهای در میان دانشمندان به جهت چنین خصوصیاتی از توجه ویژه‌ای برخوردارند و پژوهش‌های بسیاری را به خود اختصاص داده‌اند [۱].

۱-۱-۱ تاریخچه‌ی پلی اکسومتال‌ها

تهییه‌ی پلی اکسومتال‌ها به سال ۱۸۲۶ بازمی‌گردد، زمانی که برزلیوس^۲ برای نخستین بار نمک هتروپلی‌اسید آمونیوم^۳-مولیبدوفسفات را کشف کرد. پس از آن، در سال ۱۸۴۸ سوانبرگ^۴ و سترواو^۵ از این ترکیب، در شیمی تجزیه به عنوان ماده‌ی اولیه در تعیین مقدار فسفر استفاده کردند. تا سال ۱۹۰۸ چیزی حدود ۷۵۰ گونه از این ترکیبات گزارش شد. اما تا آن زمان ساختار این ترکیبات همچنان معماً باقی مانده بود [۱]. تا اینکه روسينهایم^۶ [۲] و پائولینگ^۷ [۲] و میولاتی^۷ [۳]، ساختارهایی از این ترکیبات بر پایه‌ی پیوند فلز-اکسیژن را حدس زندند اما بهتر است گفته شود اوّلین گام به سوی شناسایی ساختار پلی اکسومتال‌ها در سال ۱۹۲۹ توسط پائولینگ برداشته شد. براساس قواعد پائولینگ، برای بلورهای یونی کمپلکس‌های آنیون ۱۲-تنگستو ساختاری بر پایه‌ی چهاروجه‌ی-های مرکزی SiO_4 یا PO_4 احاطه شده به وسیله‌ی هشت‌وجه‌های WO_6 پیشنهاد شد، برای به حداقل رساندن دافعه‌ی الکتروستاتیکی، همه‌ی اتصالات، از طریق رأس حدس زده شد [۱ و ۴].

1- Clusters

2- Berzelius

3- Svenberg

4- Struve

5- Rozenhaim

6- Pauling

7- Miolati

این نظریه شک دانشمندان را در زمینه مطالعات ساختاری با استفاده از اشعه ایکس برانگیخت و سرانجام در سال ۱۹۳۳ کگین^۸ این معما را حل کرد. او ساختار هتروپلی اسید $H_3[PW_{12}O_{40}] \cdot 5H_2O$ (که بعدها ثابت شد این ترکیب ۶ آبه است) را از طریق مطالعه پراش پرتو ایکس از پودر شناسایی و گزارش کرد. این ساختار شامل هشت وجهی‌های WO_6 مشترک از طریق رأس و یال (لبه) می‌باشد. پس از آن تا سال ۱۹۴۸ دیگر ساختاری از پلی‌اکسومتال‌ها گزارش نشد. در سال ۱۹۴۸ او انس^۹ ساختار نمک $[Te^{6+}Mo_6O_{24}]^6-$ را به وسیلهٔ آنالیز پراش پرتو ایکس از تک بلور تعیین کرد. در واقع اندرسون^{۱۰} دوازده سال قبل ساختار این ترکیب را حدس زده بود به همین دلیل اکنون این ساختار، با عنوان ساختار اندرسون-اونس شناخته می‌شود. در سال ۱۹۵۳ داؤسن نیز ساختار گونه‌ای جدید از پلی‌اکسومتال‌ها را کشف کرد که اکنون مشهور به ساختار ولز-داؤسن^{۱۱} می‌باشد.

تا سال ۱۹۹۵، ساختار X-Ray حدود ۱۸۰ پلی‌اکسومتال گزارش شد و کلکسیونی عظیم حاصل از این پژوهش‌ها جمع‌آوری و منتشر شد [۲].

۱-۲-۲ ساختار پلی‌اکسو متال‌ها

پلی‌اکسومتال‌ها ترکیبات کلاستری کاتیونی و آنیونی هستند که دارای پیوندهای فلز-اکسیژن می‌باشند. [۵] این ترکیبات دارای ساختارهای گوناگون با واحدهای MO_x ($x=5, 6$) هستند که M نشان‌دهندهٔ فلز الحاقی^{۱۲} در بالاترین حالت اکسایش خود همچون W، V، Mo، Nb، Ta، Fe، Mn، Cr، Ti، Al، Ni نیز جایگزین باشد، البته می‌توان این فلزات را با فلزات دیگر همچون جایگزین کرد [۶-۸].

8- Keggin

9- Evans

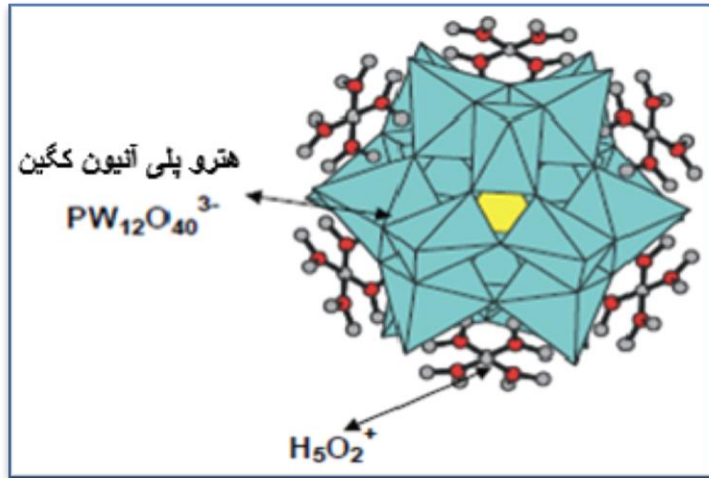
10- Anderson

11- Wells- Dawson

12- Addenda Metal

پلی اکسومتال‌ها به دو گروه کلی تقسیم می‌شوند که عبارتند از: ایزوپلی آنیون^{۱۳} و هتروپلی آنیون^{۱۴} [۲] و [۹]. ایزوپلی آنیون‌ها ترکیباتی با چارچوب اکسید فلزی هستند که از فلزات واسطه با آرایش الکترونی d^0 و لیگاندهای اکسیژن تشکیل شده‌اند. این ترکیبات، از واحدهای MO_6 که به صورت گوشه مشترک و لبه مشترک در کنار هم قرار گرفته‌اند به وجود آمده‌اند. ایزوپلی آنیون‌ها، قادر هتروatom مرکزی بوده و همین امر نیز سبب ناپایداری آن‌ها می‌شود. [۹ و ۱۰]. هتروپلی آنیون‌ها نسبت به ساختار ایزوپلی آنیون، مهم‌تر و پرکاربردتر هستند. همان‌طور که از نام آن مشخص است علاوه بر اکسیژن و فلز الحاقی M، شامل هتروatom X نیز می‌باشد که مرکزیت این ساختار را در بر می‌گیرد. X می‌تواند شامل عناصری مانند بور، آلومینیوم، ژرمانیوم و تمامی عناصر واسطه ردیف اول باشد. در این ساختار، هشت‌وجهی‌های MO_6 نه تنها از طریق رأس و یال بلکه گاهی از طریق وجه نیز در کنار یکدیگر قرار می‌گیرند. با اسیدی شدن محلول آبی هتروپلی آنیون‌ها و با قرار گیری H^+ ، H_3O^+ و $H_5O_2^+$ در کنار این آنیون‌ها، خنثی شده و مهم‌ترین زیرمجموعه‌ی پلی اکسومتال‌ها را تحت عنوان هتروپلی اسیدها، تشکیل می‌دهند. هتروپلی اسیدها معمولاً به صورت بلورهای یونی هستند که حفره‌های شبکه‌ی آن‌ها را آب تبلور اشغال کرده است، این مولکول‌های آب از طریق پیوند هیدروژنی وارد ساختار شبکه شده و با حرارت دادن به آسانی از ساختار حذف می‌شوند. تعداد مولکول‌های آب متغیر بوده و با تغییر تعداد آن‌ها ساختار بلوری هتروپلی اسید نیز تغییر می‌کند. در شکل ۱-۱ مثالی از هتروپلی آنیون‌های کگین نشان داده شده است. همان‌طور که در شکل دیده می‌شود با قرار گرفتن مولکول‌های آب در اطراف این آنیون، ساختار بلوری هتروپلی اسید کگین به وجود آمده است. [۱۱ و [۱۲]

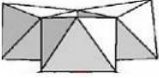
13- Isopoly Anion
14- Heteropoly Anion



شکل ۱-۱: هتروپلی اسید کگین $H_3PW_{12}O_{40}$

همان‌طور که اشاره شد هتروپلی اسیدها شامل ساختارهای گوناگونی از جمله کگین، ولز--داوسون، اندرسون-اونس و ... می باشند که شایسته است به طور جداگانه، در مورد مهم‌ترین گونه‌های این خانواده صحبت شود. در جدول ۱-۱ برخی از این ساختارها به همراه ویژگی‌های آن‌ها آورده شده است [۲ و ۸].

جدول ۱-۱: برخی از انواع پلی‌اکسومتال‌ها و ویژگی آن‌ها

نوع	فرمول مولکولی	نحوه اتصال	گروه مرکزی	X^{n+}	نوع کلاستر
کگین	$X^{n+}M_{12}O_{40}^{(8-n)-}$	رأس و یال	XO_4	$P^{5+}, As^{5+}, Si^{4+}, Ge^{4+}, C^{4+}, Ce^{4+}, Th^{4+}$	
ولز-داوسون	$X_2^{n+}M_{18}O_{62}^{(16-2n)-}$	رأس	XO_4	P^{5+}, As^{5+}	
اندرسون-اونس	$X^{n+}M_6O_{24}^{(12-n)-}$	رأس	XO_6	$Te^{6+}, I^{7+}, Co^{3+}, Al^{3+}, Cr^{3+}$	
دکستر- سیلورتون ^{۱۵}	$X^{n+}M_{12}O_{42}^{(12-n)-}$	وجه	XO_6	$P^{5+}, As^{5+}, Si^{4+}, Ge^{4+}, C^{4+}, Ce^{4+}, Th^{4+}$	
لیندکویست ^{۱۶}	$X^{n+}M_6O_{19}^{(12-n)-}$	رأس	XO_6	P^{5+}, As^{5+}	-

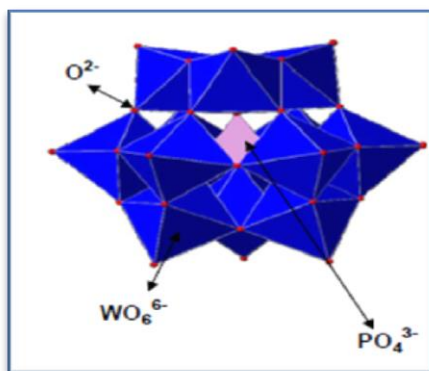
۱-۲-۱-۱ ساختار کگین

اولین ساختار هتروپلی‌اسیدها، ساختار کگین است که نخستین بار کگین در سال ۱۹۳۳ با مطالعهٔ پراش پرتو ایکس این ساختار ($H_3PW_{12}O_{40}$) را شناسایی کرد. این ساختار دارای فرمول عمومی $[XM_{12}O_{40}]^{x-8}$ می‌باشد که در آن X هترواتم، M فلز الحقی (معمولاً Mo^{6+} یا W^{6+}) و X^{n+} عدد اکسایش فلز الحقی می‌باشد. یون فلزی M^{6+} را می‌توان با گونه‌های فلزی V^{5+} , Co^{2+} , Zn^{2+} و ... جایگزین کرد. به عنوان مثال هتروپلی‌آنیون کگین ترکیب $[PW_{12}O_{40}]^{3-}$ ، در شکل ۱-۲ نشان داده شده است. همان‌طور که در شکل مشاهده می‌شود این ترکیب، متشکّل از یک چهاروجهی PO_4

15- Dexter- Silverton

16- Lindquist

مرکزی است که به وسیله‌ی هشتوجهی‌های WO_6 مشترک در رأس و یال احاطه شده است. این هشتوجهی‌ها به صورت چهار گروه M_3O_{13} در کنار هم قرار گرفته‌اند [۱۳، ۲ و ۱۴].



شکل ۱-۲: ساختار آئیون $[\text{PW}_{12}\text{O}_{40}]^{3-}$ نمونه‌ای از هتروپلی اسید نوع کگین [۱۳].

چهار نوع اکسیژن در ساختار هتروپلی اسیدهای کگین وجود دارد که ویژگی‌های آن‌ها در جدول ۱-۲ آورده شده است [۲].

جدول ۱-۲: انواع اکسیژن‌های هتروپلی اسید کگین [۲]

تعداد اتم‌های اکسیژن	نحوه‌ی اتصال با اتم‌های دیگر	نوع اتم اکسیژن
۱۲	atom اکسیژن انتهایی ^{۱۷}	M=O
۱۲	پل‌لبه‌ای مشترک ^{۱۸} با یکی از گروه‌های M_3O_{13}	M-O-M
۱۲	پل‌گوشه‌ای متصل ^{۱۹} به دو گروه M_3O_{13} مختلف	M-O-M
۴	داخلی متصل به چهاروجهی ^{۲۰}	X-O-M

17- Terminal Oxygen

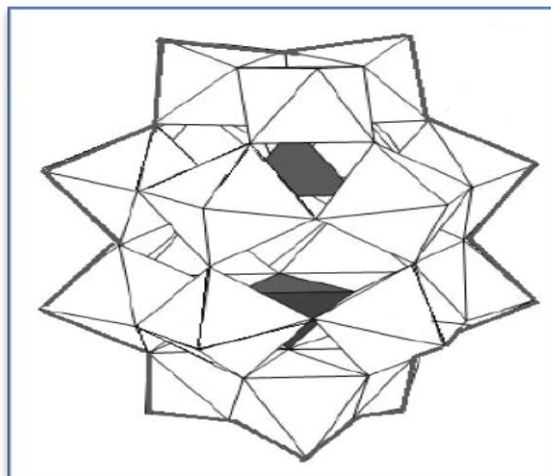
18- Edge-Bridging Oxygen

19- Center – Bridging Oxygen

20- Internal Oxygen

۲-۱-۱ ساختار ولز-داوسون

نخستین بار در سال ۱۸۹۲ کرمن^{۲۱} سنتز فسفوتنگستیک نوع ولز داوسون را توصیف کرد اما حدود ۶۰ سال بعد از آن، ولز و داوسون به وسیله‌ی مطالعات کریستالوگرافی^{۲۲} این ترکیب، به طور دقیق مهر تاییدی بر وجود این ساختار نهادند. این ساختار دارای فرمول عمومی $[X_2M_{18}O_{62}]^{2x-16}$ بوده که M فلز الحقیقی Mo^{6+} و یا W^{6+} و یا P^{5+} و یا As^{5+} و هترو اتم X از تعدادی هشتوجهی که هشتوجهی مرکزی را احاطه می‌کند، تشکیل شده است. نمونه‌ای از این ساختار در شکل ۳-۱ آورده شده است همان‌طور که در شکل مشاهده می‌شود این ترکیب بر خلاف ساختارهای دیگر از دو هترو-atom X که به صورت چهاروجهی XO_4 به وسیله‌ی هشتوجهی‌های MO_6 لبه و گوش مشترک احاطه شده‌اند، تشکیل شده است [۱۴-۲].



شکل ۱-۳: ساختار ولز-داوسون [۱۴].

۳-۱-۱ ساختار دکستر-سیلورتون

دارای فرمول عمومی $[XM_{12}O_{42}]^{x-12}$ است که M معمولاً Mo^{6+} و هترو اتم X شامل Ce^{5+} و Th^{5+} می‌باشد [۲]. این ساختارها دارای دو ویژگی هستند:

21- kherman

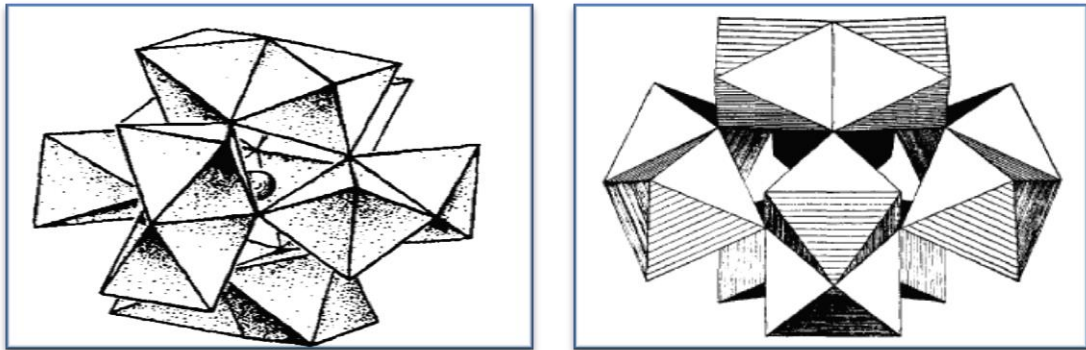
22- Crystallography

۱- در خانواده‌ی بزرگ پلی‌اکسومتال‌ها، تنها ساختاری است که شامل هشت‌وجهی‌های MO_6 مشترک در وجه می‌باشد.

۲، ساختار کلی یک بیست‌وجهی است که از اتم‌های مولیدن و اکسیژن تشکیل شده است و در مرکز بیست‌وجهی هترواتم X قرار گرفته است.

این ساختار دارای کوئوردیناسیون دوازده و شکل بیست‌وجهی است که اتم‌های اکسیژن به صورت دو اتصال وجهی با هر شش واحد Mo_2O_9 تشکیل شده است. یون‌های آب و کاتیون در این ساختار نیز برای پر کردن فضای بین آنیون‌ها و اتصال ساختار در یک شبکه با پیوند هیدروژنی می-باشند.

شکل ۱-۴ [۱۴]، ساختار آنیون $[\text{CeMo}_{12}\text{O}_{42}]^{8-}$ را نشان داده است، همان‌طور که در شکل مشاهده می‌شود این ساختار، شامل شش واحد Mo_2O_9 می‌باشد که از دو هشت‌وجهی مشترک در وجه تشکیل شده است. در شکل ۱-۵ [۱۸]، واحدهای Mo_2O_9 متصل شده به وسیله‌ی رأس با هر چهار واحد Mo_2O_9 برای ساختار آنیون نشان داده شده است. [۱۸]

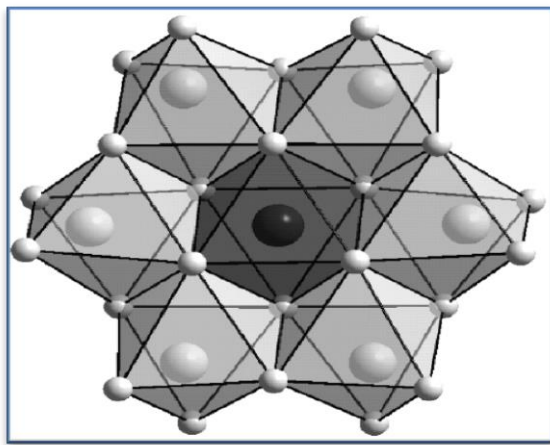


شکل ۱-۵: ساختار دکستر-سیلورتون از نمایی دیگر [۱۸].

شکل ۱-۴: ساختار دکستر-سیلورتون [۱۴]

۴-۲-۱-۱ ساختار اندرسون-اونس

این ساختار نخستین بار در سال ۱۹۴۸ با مطالعه‌ی ساختار آنیون $[Te^{6+}Mo_6O_{24}]^{6-}$ توسط اوанс شناسایی شده است. شکل ۱-۶، ساختار این ترکیب را نشان می‌دهد. همان‌طور که دیده می‌شود این ساختار، دارای آرایش مسطح متشکّل از شش هشت‌وجهی MoO_6 مشترک از لبه‌هاست که یک اتم مرکزی را احاطه کرده‌اند. اتم مرکزی اغلب Te^{6+} می‌باشد که با شش اتم اکسیژن احاطه شده است و ساختار TeO_6 را می‌سازد [۱۹-۲۲].

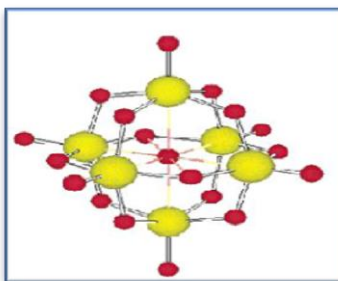


شکل ۱-۶: ساختار اندرسون-اونس [۲۲].

۱-۲-۵ ساختار لیندکویست

این ساختار دارای فرمول عمومی $[XM_6O_{19}]^{19-}$ می‌باشد که به دلیل ساختار مسطح آن، به عنوان مدل‌های مولکولی برای یک سطح اکسید ایده‌آل مشاهده شده است.

این ساختار از تعدادی واحد هشت‌وجهی MO_6 که از طریق لبه‌های اکسیژن کنار یکدیگر قرار گرفته‌اند متتشکل شده است. بنابراین تقارن آن، به طور تقریبی O_h می‌باشد. نمونه‌هایی از این ساختار و نحوه قرارگیری اتم‌ها در شکل‌های ۷-۱ و ۸-۱ نمایش داده شده است. [۲۳ و ۲۴]



شکل ۱-۸: ساختار لیندکویست از نمای دیگر [۱۷].

شکل ۱-۷: ساختار لیندکویست [۱۷].

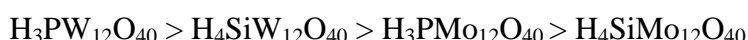
۱-۳ خواص هتروپلی اسیدها

بیش از دو قرن است که هتروپلی اسیدها با توجه به خواص منحصر به فرد خود، تحقیقات بسیاری را به خود اختصاص داده‌اند. کاربردهای آن‌ها در زمینه‌های گوناگون مثل آنالیز مواد، تهییه کاتالیزگر، علم مواد و داروسازی می‌باشد. خواص شگفت‌انگیز پلی اکسومتال‌ها از جمله قدرت اسیدی، خواص کاهشی، پایداری بالا و حساسیت قابل توجه به نور و الکتریسیته موجب شده که در زمینه‌های گوناگون کارایی داشته باشند. این خواص به ماهیّت این ترکیبات وابسته است، اتصال اتمی این ترکیبات که در بخش پیشین تعریف شد، تنوع ساختاری این ترکیبات را افزایش داده است. حال برای درک بهتر این ترکیبات و فعالیّت آن‌ها، به بررسی مهم‌ترین خواص این ترکیبات پرداخته می‌شود [۲۵-۲۷].

۱-۳-۱ پایداری و ثبات

پایداری حرارتی هتروپلی اسیدها یکی از مهمترین ویژگی‌های آن‌ها، به خصوص برای کاربرد به عنوان کاتالیزگرهای ناهمگن می‌باشد.

ترتیب پایداری حرارتی به گونه زیر است:



از طرفی هتروپلی اسید نوع کگین ($\text{H}_3\text{PW}_{12}\text{O}_{40}$)، از هتروپلی اسید نوع ولز-داوسون ($\text{H}_6\text{P}_2\text{W}_{18}\text{O}_{64}$) نیز پایدارتر هستند. البته باید توجه داشت که پایداری حرارتی هتروپلی اسیدها نسبی است به طوری که $\text{H}_3\text{PW}_{12}\text{O}_{40}$ پروتون خود را در دمای ۷۴۳-۷۲۳ درجه‌ی سانتیگراد از دست می‌دهد و به طور کامل در دمای ۸۷۳ درجه‌ی سانتیگراد تخریب می‌شود [۲۵]. بنابراین دمای بالا باعث از دست رفتن پروتون‌های فعال می‌شود. علاوه براین پایداری حرارتی برای بازیابی مجدد کاتالیزگر در دمای بالا نیز مهم است زیرا اکثر کاتالیزگرهای هتروپلی اسید در واکنش با فرآورده‌های آلی با تشکیل زغال (کک) ^{۲۳} غیرفعال می‌شوند و احیای کاتالیزگرهای با فرآیند ککزدایی ^{۲۴} عموماً نیاز به دمای بالا دارد. (دمای ککزدایی مناسب باید کمتر از دمایی باشد که پروتون‌های فعال این ترکیبات از بین می‌روند). آنیون‌های هتروپلی اسیدها پایداری خوبی در مقابل اکسید شدن دارند، و نیازی به حفاظت به وسیله‌ی گازهای بی‌اثر که برای کاتالیزگرهای آلی لازم است، ندارند [۲۸ و ۲۹].

۱-۳-۲ سایتها فعال هتروپلی اسیدها

هتروپلی اسیدها دارای سایتها فعال مختلفی هستند که شامل پروتون‌ها، اتم‌های اکسیژن و فلزات می‌باشد. مشخص شده است که برای واکنش‌های کاتالیزوری اسیدی به عنوان اسید برونشتد

23- Coke

24- Decoking

عمل کنند. برخی از اتم‌های اکسیژن در سطح هتروپلی آنیون‌ها برای واکنش با پروتون‌ها به اندازه‌ی کافی خصلت بازی دارند. همچنین این اکسیژن‌ها می‌توانند به عنوان سایت‌های فعال در واکنش‌های کاتالیزوری بازی شرکت کنند. با وجود این‌ها، بیشتر توجه بر روی فلزات هتروپلی‌اسیدها به عنوان سایت‌های فعال می‌باشد. زیرا آن‌ها سایت‌های فعال در همه‌ی واکنش‌های اکسایش، قسمتی از واکنش‌های اسیدی و بسیاری از واکنش‌های دیگر هستند [۲۵].

۴-۱-۴ کاربردهای هتروپلی اسیدها

در طی دو قرن گذشته، پژوهش‌های گسترده‌ای در زمینه‌ی پلی‌اکسومتال‌ها و مشتقات آن‌ها صورت گرفته است. این ترکیبات در علم داروسازی [۳۰-۳۳] و علم مواد [۳۱-۳۲] و علم شیمی به خصوص به عنوان کاتالیزگر کاربرد دارند [۳۴ و ۳۵]. به کمک روش‌های جدید، اتصالات کووالانسی آمینواسیدها (گیلیسین^{۲۵}، آلانین^{۲۶}، لیسین^{۲۷}) به هتروپلی اسیدها ممکن شده است. چنین ترکیباتی به خصوص در زمینه‌های تشخیص بیوشیمیایی و فعالیت زیست‌شیمیایی پژوهشی جالب توجه هستند چرا که آن‌ها با شرایط فیزیولوژیکی سازگارند [۳۶]. خواص رسانایی شیمیایی و الکتروشیمیایی این ترکیبات برای دستگاه‌های حالت جامد مختلف مثل سنسورها، سلول‌های سوختی H_2O_2 ، سلول‌های خورشیدی، نمایش الکتروکرومیک، غشای یونی انتخابی کاربرد دارد [۳۷ و ۳۸].

تا به امروز در بسیاری از فرآیندهای شیمیایی از جمله هیدراسیون پروپن، ایزوپوتون و بوتن، اکسیداسیون ایزوپوتیرو آلدهید با اکسیژن و تبدیل آن به ایزوپوتیریک اسید، پلیمریزاسیون تتراهیدروفوران، آمین‌دار کردن کتون‌ها و تبدیل آن‌ها به ایمین‌ها، اکسیداسیون اتیلن با اکسیژن و تبدیل آن به استیک اسید، استری‌شدن استیک‌اسید و تبدیل آن به اتیل‌استات، هتروپلی اسیدها به عنوان کاتالیزگر ایفای نقش کرده‌اند [۳۹].

25- Glycine

26- Alanine

27- Lysine

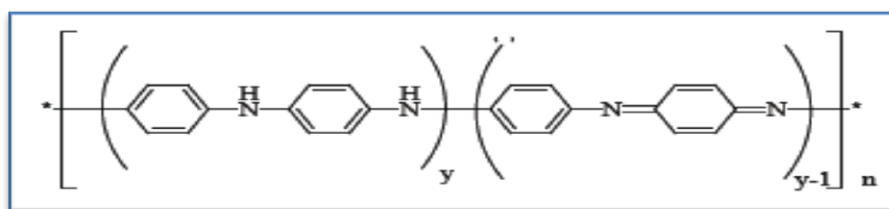
با وجود خواص و ویژگی‌های منحصر به‌فرد هتروپلی اسیدها و کاربردهای فراوان در زمینه‌های مختلف، این ترکیبات به‌عنوان کاتالیزگر دارای معايیت هستند که کارایی آن‌ها را محدود کرده است. یکی از این معايیت، انحلال‌پذیری بالای آن‌ها در حللاهای آلی می‌باشد، اين ویژگی موجب شده است که پس از انجام واکنش، جداسازی کاتالیزگر از محیط واکنش دشوار و پرهزینه باشد. همچنین هتروپلی اسیدها پس از انجام واکنش‌های آلی، روی سطح آن را دوده^{۲۸} گرفته که موجب غیرفعال شدن کاتالیزگر می‌شود و برای از بین بردن این مشکل نیاز به دمایی حدود ۵۰۰-۵۵۰ درجه‌ی سانتیگراد می‌باشد که برای برخی از هتروپلی اسیدها، این دما غیر ممکن است. اما مشکل اصلی این ترکیبات مساحت سطح پایین آن‌ها می‌باشد. برای غلبه بر این مشکلات، آن‌ها را بر روی بسترهای کاتالیزوری قرار می‌دهند. کاتالیزگرهای ناهمگن تولید شده به اين روش، به راحتی با روش‌های همچون صاف کردن و یا سانتریفیوژ از محیط واکنش جدا شده و تا چندین مرحله قابلیت بازیافت و به کارگیری دوباره را دارا هستند.

بسترهای کاتالیزوری به دو دسته‌ی بسترهای معدنی و بسترهای آلی تقسیم‌بندی می‌شوند. از جمله بسترهای معدنی می‌توان به اکسیدهای فلزی، پروسکایت‌ها و زئولیت‌ها اشاره کرد. بسترهای آلی نیز با توجه به خواص منحصر به فردی که دارند توجه زیادی را به خود جلب کرده‌اند. از پرکاربردترین بسترهای آلی می‌توان به پلی‌آنیلین، پلی‌استایرن، پلی‌آمینو اسید و پلی‌متیل‌متاکریلات اشاره کرد [۴۰-۴۳].

۱-۱-۵ پلی‌آنیلین

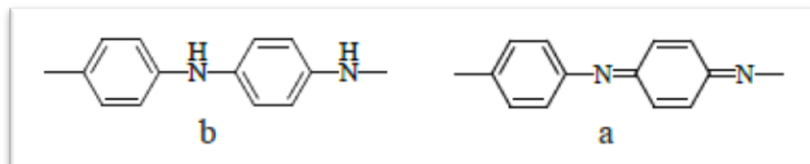
پلیمرهای رسانا زمینه‌ی پژوهشی جالبی در دو دهه‌ی اخیر بوده‌اند، متداول‌ترین این پلیمرها: پلی‌تیوفن، پلی‌استایرن، پلی‌آنیلین، پلی‌پیروول و پلی‌پارافنیلن هستند. از میان پلیمرهای رسانا، پلی-آنیلین به دلیل ویژگی‌هایی مانند سنتز آسان، قیمت پایین، کاربرد وسیع و راندمان بالای پلیمریزه

شدن توجه بیشتری را به خود جلب کرده است [۴۶ - ۴۷]. ویژگی‌های الکتریکی، الکتروشیمیایی و نوری پلی‌آنیلين، آن را به ماده‌ای مناسب برای کاربرد در صنایع الکترونیکی، پوشش‌های ضد الکتریسیته‌ی ساکن، پوشش‌های ضد خوردگی تبدیل کرده است. شکل ۱-۹ ساختار پلی‌آنیلين را نشان می‌دهد.



شکل ۱-۹: ساختار پلی‌آنیلين [۴۵].

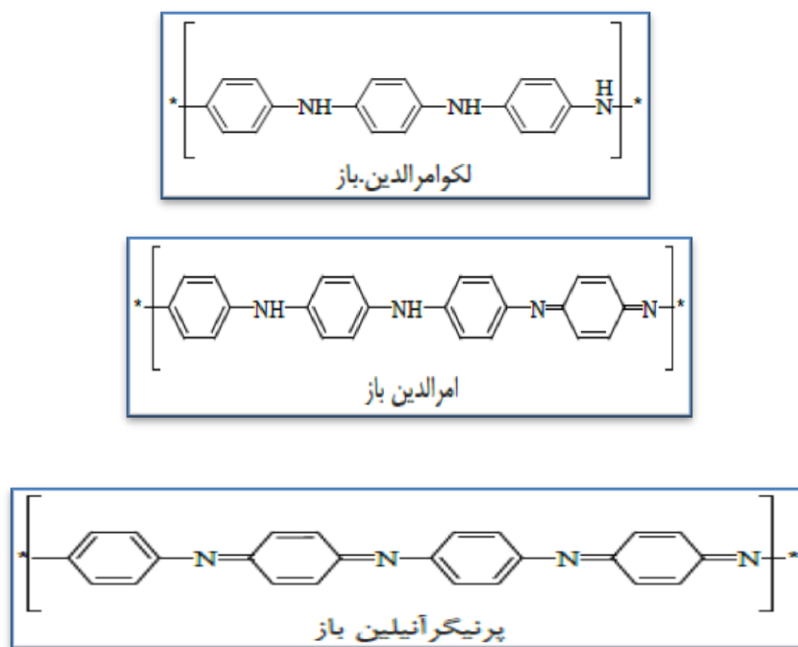
ساختار پلی‌آنیلين شامل گروه‌های تکرار شونده‌ی فنیلن‌دی‌آمین و کینوئیددی‌ایمین است. شکل a- ۱-۱۰ b) به ترتیب گروه‌های تکرار شونده فنیلن‌دی‌آمین و گروه‌های کینوئیددی‌ایمین را نشان می‌دهد.



شکل ۱-۱۰: a) گروه فنیلن‌دی‌آمین، b) گروه کینوئیددی‌ایمین [۴۵].

مقدار y می‌تواند از ۱ برای حالت به طور کامل کاهش یافته تا صفر برای حالت به طور کامل اکسید شده تغییر کند. حالت به طور کامل کاهش یافته را لکوامرالدین^{۲۹} (LB) و حالت به طور کامل

اکسایش یافته را پرنیگر آنیلین^{۳۰} (PB) می‌نامند و حالت نیمه کاهش یافته را امرالدین باز^{۳۱} (y = ۰/۵) می‌نامند، که یک کوپلیمر^{۳۲} شامل گروه‌های کاهش یافته فنیلن‌دی‌آمین و گروه‌های اکسید شده کینوئیدی‌ایمین است. پلی‌آنیلین در حالت‌های متفاوت اکسایشی دارای ویژگی‌ها و رسانایی‌های الکتریکی متفاوت و رنگ‌های متفاوت است. در بین این سه شکل، امرالدین باز، فرم رسانایی پلی‌آنیلین است و پرنیگر آنیلین باز و لکوامرالدین باز نارسانا هستند. این سه فرم پلی‌آنیلین در اثر واکنش اکسایش و کاهش به همدیگر قابل تبدیل هستند. شکل ۱۱-۱ فرم‌های مختلف پلی‌آنیلین را نشان می‌دهد.



شکل ۱۱-۱: ساختار فرم‌های مختلف پلی‌آنیلین [۴۶].

۱-۵-۱-۱ روش‌های سنتز پلی‌آنیلین

پلی‌آنیلین به دو روش الکتروشیمیایی و اکسایش شیمیایی سنتز می‌شود [۴۸] و [۴۹]. در روش اکسایش شیمیایی، به طور معمول به محلول آبی اسیدی حاوی آنیلین، یک ماده‌ی

30- Perniger Aniline

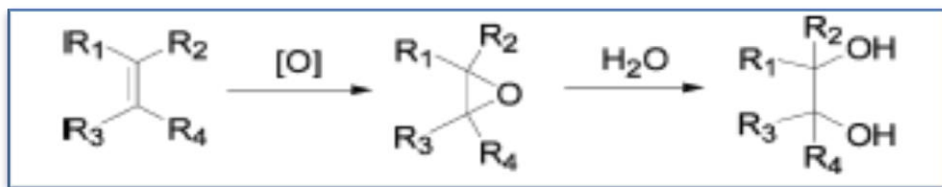
31- Base Emeraldine

32- Copolymer

اکسید کننده اضافه می‌شود که باعث پلیمریزه شدن اکسایشی آنیلین می‌شود، در صورت نیاز به مقدار زیادتر پلیمر، سنتز شیمیایی پلی آنیلین مناسب‌تر است. در سنتز شیمیایی پلی آنیلین، پلیمر به دست آمده دارای وزن مولکولی پایین است، که سبب پایین آمدن ویژگی‌های مکانیکی پلیمر حاصل می‌شود. در روش الکتروشیمیایی در اصل دو الکترود رسانا (مانند طلا و پلاتین) در محلول دوپانت^{۳۳} و مونومر، در یک حلal مناسب غوطه‌ور می‌شوند و یک پتانسیل الکتریکی بین الکترودها اعمال می‌شود که موجب کننده شدن الکترون از مونومرهای مجاور الکترود مثبت می‌شود. این فرایند موجب تشکیل مرکزهای فعال کاتیونی در مونومر می‌شود درنتیجه لایه پلیمر بر سطح الکترود تشکیل می‌شود. روش‌های سنتز شیمیایی پلی آنیلین به سه شکل، پلیمریزاسیون شیمیایی با استفاده از همزن مغناطیسی، روش بین فازی، استفاده از دستگاه فراصوت، قابل اجرا هستند [۵۰ و ۵۱].

۱-۲ اپوکسایش آلکن‌ها

محصول اپوکسایش آلکن‌ها اپوکسید می‌باشد. اپوکسیدها کاربردهای گوناگونی از جمله: برای تولید انواع مواد شیمیایی و دارویی، رنگ‌ها، رزین‌های اپوکسی، شوینده‌ها دارند. معمولاً اکسیداسیون اولیه‌ی آلکن‌ها، اپوکسید تولید می‌کند که تحت هیدرولیز در حضور آب به دی‌آل تبدیل می‌شود. اگرچه هر دو محصول اپوکسید و دی‌آل از اهمیت بالایی برخوردارند اما با گزینش پذیری بالا، برای این واکنش، بیشتر محصول اپوکسید انتظار می‌رود. شکل ۱۲-۱ نمونه‌ای از واکنش اپوکسایش آلکن-ها می‌باشد که به منظور انجام آن، نیاز به یک اکسنده در حضور کاتالیزگر و نیز حلالی مناسب جهت برهم‌کنش مواد واکنش با هم می‌باشد. در گذشته برای تهیّه این محصولات از کاتالیزورهایی استفاده می‌شد که سازگار با محیط زیست نبودند، امروزه محققین به دنبال کاتالیزگرهایی هستند که این واکنش‌ها را با بیشترین بازده و کمترین میزان آلودگی انجام دهند [۲۵ و ۵۲].



شکل ۱۲-۱: نمونه‌ای از واکنش اپوکسایش آلکن‌ها [۲۵].

۱-۲-۱ مروری بر پژوهش‌های گذشته و بررسی تعدادی از مکانیسم‌های آن‌ها

در سال‌های اولیه، در سیستم‌های اپوکسیداسیون با کاتالیزگرهای پلی‌اکسومتال، O_2 به عنوان اکسنده مطرح بود و نیز در این سیستم‌ها به دلیل واکنش‌پذیری نسبتاً پایین آن‌ها با این اکسنده، آلدهیدها معمولاً به عنوان حدتوسط مورد نیاز بودند. این ترکیبات در ابتدا به شکل پرآکسی‌اسید واکنش داده و در واکنش پایانی تولید کربوکسیلیک‌اسید می‌کنند. اگرچه این سیستم‌ها برای اکسیداسیون آلکن‌ها موثر بودند اما در این واکنش‌ها آلدهیدها به عنوان عوامل حدتوسط استفاده می‌شوند و این اکسنده از لحاظ اقتصادی و محیط‌زیست به صرفه نبودند [۲۵] [در سال ۱۹۹۸ کوزونیکو^{۳۴} و همکارانش، بررسی‌هایی بر روی کاتالیزگرهای هتروپلی اسید در فاز مایع انجام دادند [۳۰]. میزونا^{۳۵} و همکارانش نیز به بررسی کاتالیزگرهای هتروپلی اسید ناهمگن پرداختند [۳۶]. استفان^{۳۶} و همکارانش، پس از بررسی واحدهای هتروپلی اسیدها به بررسی آن‌ها در اپوکسایش آلکن‌ها پرداختند. آن‌ها برای افزایش دسترسی آلکن‌های چربی دوست به پیش ماده محلول آبی کاتالیزگر، نمک آمونیوم اصلاح شده به وسیله‌ی گروه‌های آلیل طویل زنجیر را به عنوان عوامل انتقال فاز برای این سیستم‌ها معرفی کردند. تحت شرایط واکنش، تنگستات با فسفات به شکل یک پرآکسو متostط

34- Kozhevnikov

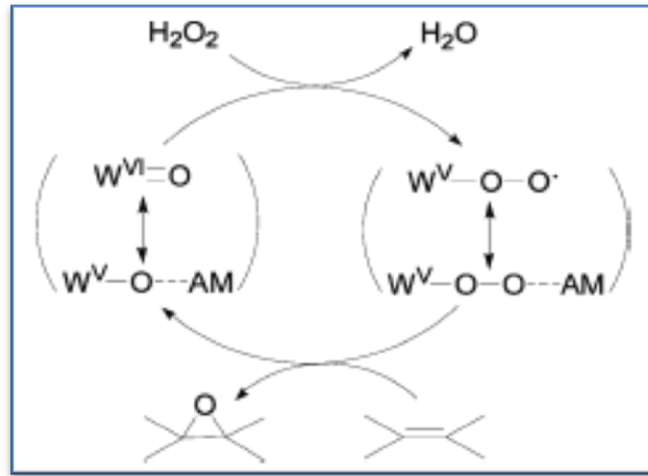
35- Misuno

36- Stekhan

37- Ishii

38- Wang

واکنش می‌دهد [۵۳]. ایشی^{۳۷} و همکارانش نیز وقت زیادی برای سیستم‌های ونتورللو- ایشی که شامل واکنش‌های اپوکسایش کاتالیزوری است صرف کردند [۲۵]. گروه ونگ^{۳۸}، یک کاتالیزور ناهمگن کارآمد از طریق پروتونه شدن و تبادل آنیونی اتصال آمین به کاتیون هتروپلی اسید هتروپلی اسید H₃PW₁₂O₄₀ تهیّه کرده است [۵۴]. نانو ذرات کروی هیبرید یونی حاصل، دارای مزایایی از قبیل بازیابی ساده، استفاده مجدد ثابت، آماده‌سازی راحت و ترکیب انعطاف‌پذیر می‌باشد. تعامل قوی بین آمین، کاتیون فلزی و اکسیژن روی سطح هتروپلی آنیون، تأثیر زیادی بر طبیعت کاتالیزگر H₃PW₁₂O₄₀ نهاده و درنتیجه دوباره واکنش در یک مسیر منحصر به فرد مانند شکل ۱۳-۱ پیش می‌رود.



شکل ۱۳-۱: مکانیسم اپوکسایش آلکن‌ها در سیستم ونگ [۱۶].

در این مکانیسم، ابتدا W=O با H₂O₂ واکنش می‌دهد تا یک رادیکال پراکسو تنگستن (W-O-O[·]) ایجاد کند که ممکن است برای اپوکسایش غیرفعال باشد. آمین به صورت تکالکترونی از (W-O-O[·]) متصل می‌شود تا ساختار حدّ واسط (W-O-O...AM) طریق الکترون غیرمستقر به (W-O-O[·]) پایدار گردد و عملکرد مناسبی برای نانو ذرات کروی هیبریدی حاصل شود.

در سال ۲۰۰۱ نیز دستاوردهای قابل توجه توسط گروه ایکس آی^{۳۹} در زمینه اپوکسایش آلکن‌ها با کاتالیزور هتروپلی اسید تنگستن چندهسته‌ای به دست آمد. در این پژوهش نمک نامحلول $\text{PO}_4(\text{WO}_3)_4 - \text{C}_5\text{H}_5\text{NC}_{16}\text{H}_{33}]_3$ در حضور H_2O_2 به کمپلکس محلول در حللهای آلی تبدیل می‌شود. با مصرف H_2O_2 گونه‌های حاوی پراؤکسو دوباره به حالت نامحلول بازگشته و به راحتی قابل بازیابی است [۱۶].

در بررسی دیگری ثابت شده است در حضور کلاسترها اکسوتنگستن چهار خوشه‌ای^{۴۰}، آلکن‌های مختلف بدون هیچ عملکردی به طور فعال و به طور گزینشی به محصول اپوکسید مربوطه، در دمای پایین تبدیل می‌شوند [۵۷]. در این پژوهش، TOF بالا به سبب تشکیل پراؤکسو تنگستن دو و چهارهسته‌ای با لیگاندهای XO_4^{n-} ($\text{X} = \text{Se}, \text{S}, \text{As}, \text{P}, \text{Si}$) حاصل شده است. در انتقالات فلزی d^0 اپوکسایش کاتالیزوری، مرکزهای فلزی با کشش الکترون‌ها از پیوند پراؤکسی (O-O) مانند یک اسید لوییس عمل می‌کنند، اما حالت اکسایش آن‌ها در طی فرآیند کاتالیزوری، بی‌تغییر می‌مانند [۵۷] و [۵۸].

در ۱۵ سال گذشته پلی آنیون کگین $\text{H}_4\text{SiWO}_{36} - \gamma$ در زمینه کاتالیزوری $\text{SiW}_{10} - \gamma$ تشكیل شده از $\text{pH} = 10$ است که دارای عملکرد کاتالیزوری جالبی برای اپوکسایش آلکن‌ها در حضور اکسندهی H_2O_2 در دمای ۳۰.۵ درجه‌ی کلوین را نشان می‌دهد. این کاتالیزور به طور گزینشی دارای بازدهی بالای ۹۹ درصد برای اپوکسی و بازیابی آسان کاتالیزور از مخلوط واکنش ناهمگن می‌باشد. به طور جالب توجه در نمونه اپوکسیداسیون ذرات آلکن‌های آلیفاتیک انتهایی C_3 تا C_8 ، به عنوان مثال ۱-پروپیلن، ۱-بوتن، ۱-هگزن و ۱-اکتن بازدهی اپوکسایش تا حدود ۹۰ درصد و گرینش پذیری تا ۹۹ درصد دارد.

در این پژوهش دو ایزومر ترانس و سیس ۲-اکتن، نیز با یکدیگر بررسی شده است و مشاهده شد که ایزومر سیس ۲-اکتن سریع‌تر واکنش اپوکسایش را انجام می‌دهد [۵۹].

اکسیداسیون مبتنی بر فلز وانادیوم با اکسندہی H_2O_2 اغلب شامل یک مکانیسم رادیکالی و بهره‌ی کم H_2O_2 ، به دلیل تجزیه‌ی سریع کاتالیزگر با وانادیوم است. این اکسیداسیون عمدتاً در موقعیت آلیلی رخ می‌دهد. از قرارگرفتن وانادیوم در اسکلت پلی‌اکسومتال در حد زیادی مسیر واکنش تغییر و باعث بهبود بهره‌ی H_2O_2 می‌شود [۹۰ و ۹۱]. (γ - V_2SiW_{10})₄TBA₄ نمونه‌ای از این ترکیبات است که در جدول ۳-۱ نمایش داده شده است (که TBA₄ کاتیون تترا-n-بوتیل آمونیوم می‌باشد). فعالیت کاتالیزوری بالا و تقریباً ۹۰ درصد کارایی استفاده از H_2O_2 در اپوکسی الکل‌های مختلف مشاهده شده‌اند. این نتایج با کاتالیزور (γ - V_2SiW_{10})₄TBA₄ نتایج کاملاً متفاوتی را نشان می‌دهد [۶۰].

جدول ۱-۳: اپوکسایش آلکن‌ها با کاتالیزگر γ -V₂XW₁₀ با H₂O₂ تا اکسندهی XH₂O₂ می‌تواند فسفر یا سیلیسیم باشد [۲۵].

$\text{R}_1\text{---}\text{C}=\text{C---R}_2$ $\xrightarrow[\text{CH}_3\text{CN-tBuOH}]{\text{H}_2\text{O}_2/\gamma\text{-V}_2\text{XW}_{10}}$ $\text{R}_1\text{---}\text{C}(\text{O})\text{---C---R}_2$									
X	Alkene	Product	Yield (%)	Ref.	X	Alkene	Product	Yield (%)	Ref.
Si			87	157	Si			90	27
Si			91	157	Si			76	27
Si			92	157	P			88	159
Si			93	157	P			86	159
Si			90	157	P			83	159
Si			88	157	P			89	159
Si			93	157	P			84	159
Si			88	157	P			94	159
Si			90	157	P			94	159
Si			93	157	P			86	159
Si			87	157	P			48	159
Si			90	27	P			56	159
Si			83	27	P			59	159

در بررسی دیگر، تغییر هتروواتم در روند واکنش اپوکسایش آلکن کاتالیستی بررسی شد و مشاهده گردید تغییر حتی یک هتروواتم نتایج متفاوتی را در بر دارد به عنوان مثال بین دو کاتالیزگر بازده $[\gamma-\text{V}_2(\mu-\eta_2:\eta_2-\text{O}_2)\text{SiW}_{10}\text{O}_{38}]^{3-}$ ، $[\gamma-\text{V}_2(\mu-\eta_2:\eta_2-\text{O}_2)\text{PW}_{10}\text{O}_{38}]^{3-}$ اپوکسایش γ -V₂PW₁₀ بیشتر می‌باشد. به طور قابل ملاحظه‌ای این اپوکسایش الکتروفیلی آلکن‌ها کاتالیز شده $\text{V}_2\text{SiW}_{10}$ به دلیل کمبود تراکم الکترونی در دو طرف پیوند درگیر رسیدن به محصول واکنش دشوار است و معمولاً نیاز به یک اکسنده قوی‌تر برای انجام این واکنش است. آلکن‌ها با استات، اتر، کربونیل و گروه‌های کلردار در حضور کاتالیزگر γ -V₂PW₁₀ در موقعیت آلیلی خود به

راحتی به محصول اپوکسید تبدیل می‌شود. این بررسی نشان می‌دهد گونه‌های فعال الکتروفیلی کاتالیزگر γ -V₂PW₁₀ نسبت به کاتالیزگر V₂SiW₁₀- γ بیشتر است. علاوه‌براین، فعالیت زیاد آن را می‌توان به تفاوت در قدرت اسیدی مشتقات گونه‌ها هیدرو پراکسو که نقش قابل توجهی در از دست دادن مولکول‌های آب^{۴۱} دارند، را نیز دانست. سرعت از دست دادن آب کاتالیزگر γ -V₂PW₁₀ بیشتر از γ -V₂SiW₁₀ می‌باشد که همین امر باعث افزایش عملکرد در این واکنش‌ها شده است [۶۱].

۱-۳ بررسی خواص آنتی‌باکتریال هتروپلی اسیدها

رشد جمعیت جهان با امنیت غذایی در بخش کشاورزی رابطه‌ی مستقیم دارد بنابراین استفاده از روش‌های زراعی با محصول بیشتر، می‌تواند به روند جمعیت و سلامت غذایی کمک زیادی کند [۶۲]. هر ساله بخش قابل توجهی از تولیدات گیاهی در اثر بیماری‌های گیاهی از بین می‌روند و این در حالی است که بیش از ۸۰۰ میلیون نفر در جهان از غذای کافی برخوردار نیستند [۶۳]. یکی از عوامل محدودکننده تولید محصولات کشاورزی، رشد میکروارگانیسم‌ها و باکتری‌ها می‌باشد. بیماری‌های گیاهی به عوامل و گونه‌های مختلفی بستگی دارد از جمله این عوامل می‌توان به قارچ فوزاریوم^{۴۲}، قارچ ماکروفومینا^{۴۳}، قارچ بوتریتیس^{۴۴} و نیز باکتری *pseudomonas syringae* نام برد. کنترل اثرات و رشد این عوامل، امری اجتناب ناپذیر است.

متأسفانه اغلب رویکردهایی که طی دو قرن اخیر در کشاورزی اتخاذ شده با تولید پایدار، مغایرت دارد. استفاده مکرر از ترکیبات شیمیایی مضر و سموم دفع آفات، موجب آلودگی روزافرون محیط‌زیست می‌شود. توسعه‌ی علم نانو تکنولوژی در سال‌های اخیر، راه حلی طلایی در جهت یافتن تأثیرات آنتی‌باکتریال نانو ذرات فلزی بوده است. نانو ذرات فلزی با توجه به اندازه‌ی کوچک نسبت به مساحت سطح بالای آن‌ها، باعث تماس بیشتر با فضای اطراف شده و قادر به تأثیرات

42- Dehydration

43- Fusarium

44- Macrophomina

45- Botrytis

مهارکننده می‌باشد. از آنجا که هتروپلی اسیدها ترکیبات شیمیایی سازگار با محیط‌زیست می‌باشد می‌توان در این زمینه مورد استفاده قرار گیرند [۶۲-۶۵].

۱-۳-۱ قارچ ماکروفومینا

ماکروفومینا یک بیمارگر^{۴۵} گیاهی خاکزاد می‌باشد. فرم غیرجنسی این قارچ متعلق به شاخه‌ی Ascomycetes می‌باشد و در بافت میزبان و محیط کشت تولید پیکنید^{۴۶} و سختینه^{۴۷} می‌کند. مرحله تولید پیکنید آن اولین بار توسط توسمی^{۴۸} در سال ۱۹۹۱ به نام Macrophomina phaseolina نام‌گذاری شد.

این قارچ عامل بلایت جوانه، پوسیدگی ریشه و ساقه ۵۰۰ گونه و کالتیوار گیاهی و همچنین گیاهان وحشی می‌باشد که مهم‌ترین محصولات کشاورزی میزبان آن شامل لوبیا قرمز، لوبیا چیتی، ذرت خوش‌های، ذرت دانه‌ای، نخود، نخود فرنگی، خربزه، هندوانه و خیار می‌باشد. این قارچ چوب‌های نرم درختان جنگلی را آلوده کرده و میوه این درختان اغلب میزبان این بیمارگر هستند. این قارچ در شمال و جنوب آمریکا، آسیا و آفریقا وجود دارد. این قارچ در مناطقی که از نظر آب و هوایی گرم و خشک هستند از اهمیت خاصی برخوردار است. این قارچ از طریق پوشش بذر گیاهان میزبان، رخنه و در اثر آلودگی محتوا نشاسته بذر کاهش یافته و کمیت و کیفیت بذر دچار افت شدید می‌شود. سختینه‌های موجود در خاک موجب آلودگی بذر و بافت‌های گیاهی شده و قارچ تولید سمی به نام phaseolinone می‌کند که این سم بافت آوندی گیاه را از بین می‌برد. بعد از مرگ گیاه، ریسه‌های قارچ، بافت گیاه را تا زمانی که خشک شود کلونیزه می‌کند. سختینه عامل بقای قارچ در خاک است، بعد از اینکه گیاه از بین رفت، سختینه‌های درون خاک زیاد می‌شوند [۶۷-۷۰].

46- Phatogen

47- Pycnid

48- Sclerot

49- Tossi

۱-۳-۲ قارچ بوتریتیس سینرا

قارچ بوتریتیس سینرا (Botrytis cinerea) عامل بیماری کپک خاکستری یکی از بیماری‌های معمول و مخرب در توت فرنگی‌های گلخانه‌ای است. این بیماری ممکن است ابتدا باعث ایجاد لکه‌هایی روی گل‌ها یا میوه شود که این لکه به سرعت تبدیل به یک پوشش خزه مانند خاکستری تا قهقهه‌ای مشخص از اسپورها خواهد شد. خوش‌های گل ممکن است قهقهه‌ای شده و از بالا به پایین خشک شوند. ممکن است میوه‌ها پیش از برداشت آلوده شده و یک حالت نرم، قهقهه‌ای و محیطی آبکی را به وجود آورده که در آینده با اسپورهای پودری ^{۴۹} و خاکستری رنگی پوشیده شود. اگر شرایط آلوده‌سازی ایده‌آل باشد می‌تواند میوه‌های سالم را در عرض ۴۸ ساعت به‌طور کامل تخریب نماید و اسپورهای حاصل به سرعت در گیاهان و میوه‌های پیرامونی انتقال می‌یابند. بیشترین آلودگی بر روی میوه‌هایی که در سایه برگ‌ها قرار دارند دیده می‌شود، زیرا رطوبت بالا و جریان هوای محدود شرایط ایده‌آل رشد و آلوده‌سازی بوتریتیس هستند. مسئله‌ای که بیشتر مورد توجه است خسارت پس از برداشت بوتریتیس به عنوان یک عامل اصلی پوسیدگی توت فرنگی است.

معمولًاً بوتریتیس بیماری است که با رطوبت زیاد که برای جوانه‌زنی موفق اسپورها لازم است در ارتباط است و دماهای حدود 20°C را می‌پسندد. توت فرنگی‌های کاشته شده در اواخر زمستان و اوایل بهار حساس‌ترین گیاهان به این بیماری هستند و ظهر آن در ماه‌های زمستان و در شرایط گلخانه‌ای بیشتر است. با افزایش رطوبت و رسیدن آن به حد اشباع (۱۰۰٪) سرعت جوانه زنی افزایش یافته و در جاهایی که آب آزاد بر روی گیاه، گل‌ها، میوه‌ها و برگ‌ها وجود داشته باشد گسترش سریع‌تری دارند. با جوانه‌زنی اسپورها روی گیاه، وارد بافت میزان شده و تولید می‌سیلیوم-ها ^{۵۰} سپس باعث ایجاد کنیدیوفورها شده که در طول بافت آلوده ظاهر شده و کنیدیا که بر روی لکه-

50- Powder Spores

51- Myceliums

ها ایجاد شده عمل نموده و در شرایط مناسب گیاهان سالم را آلوده می‌نمایند. دماهای بالا و شرایط خشک مانع از انتقال اسپورهای زنده از گیاهی به گیاه مجاور خواهد شد. کنترل محیطی برای بوتریتیس در مدیریت بسیاری از محصولات گلخانه‌ای از جمله توت‌فرنگی مشکل است و بر پایه‌ی افزایش دما و کاهش طوبت نسبی است تا محیطی را به وجود آورد که مانع از انتقال، جوانه‌زنی و توسعه اسپورها گردد].[۷۱-۷۵]

۳-۱ فارچ فوزاریوم گرمینه

فوزاریوم به صورت رشته‌های سفید رنگی به نام میسیلیوم یا با تشکیل فرم جنسی (پریتس) روی بقایای گیاهی یا بذور ضدعفونی نشده زمستان گذرانی می‌کند. آلودگی میزبان با نفوذ مستقیم قارچ به بافت ریشه، طوقه یا گره‌ها صورت می‌گیرد. آلودگی ثانویه به پایه سنبله و سنبلچه‌های گندم که منجر به بیماری روی خوشها می‌شود توسط فرم غیرجنسی (کنیدی‌ها و آسکوسپورها) در شرایط مرطوب و بارندگی از ابتدای مرحله‌ی گلدنه تا تشکیل دانه‌ها صورت می‌گیرد. میزبان اولیه‌ی این پاتوژن گندم و میزبان‌های ثانویه آن‌ها جو، علف‌های هرز گرمینه و... می‌باشد. جنس فوزاریوم در شاخه‌ی Ascomycota و در رده‌ی Hypocreale و راسته‌ی Sordariomycete قرار دارد. بر روی بسیاری از گیاهان زراعی باعث ایجاد بیماری می‌شود، یکی از مهم‌ترین قارچ‌های خاکزاد است که دارای تعداد بی‌شماری گونه و ایزوله بر روی گیاهان مختلف است. تولید اسپوردوخیوم^{۵۱} می‌کند که در آن توده‌های اسپوری توسط یک توده‌ی بالشتک مانند و سطحی از سلول‌های کنیدیومزا کنیدیفورهای کوتاه نگهداری می‌شود. کنیدیوم که یک یا دو سلولی بوده، تخم مرغی یا استوانه‌ای هستند و ماکروکنیدی که چند سلولی و هلالی شکل‌اند. این قارچ تولید مایکوتوكسین^{۵۲} می‌کند که علاوه‌بر گیاهان بر روی حیوانات و انسان‌ها نیز مؤثر و در بعضی موارد خطرناک نیز می‌باشد. این قارچ عامل اصلی پژمردگی آوندی است و به آوندهای گیاهان حمله می‌کند. قارچ از طریق ریشه وارد

52- Sporodochium

53- Mycotoxin

سیستم آوندی شده و با تولید مایکوتوكسین‌ها و آنزیم‌ها باعث تخریب دیواره آوندی گیاه می‌شود و از عبور مواد از ریشه به سایر قسمت‌های گیاه جلوگیری می‌کند، در نتیجه پژمردگی آوندی را به همراه دارد.

گونه‌های فوزاریوم از جمله عوامل شایع آلودگی قارچی مواد غذایی و قادر به تولید سmom سرطان‌زا به‌ویژه فومونیسین^{۵۴} هستند مهم‌ترین بیماری آن، به بیماری فوزاریوم سنبله گندم معروف است. این بیماری تحت نام (scab) بلایت خوش نیز شناخته شده است. عوامل بیماری Fusarium graminearum و F.culmorum است که در مناطق گرم و معتدل تا خنک پراکندگی دارد. این بیماری بیشتر در نقاطی که دارای زمستان‌های معتدل و تابستان‌های گرم و مرطوب دارند، دیده می‌شوند. در ایران این بیماری در استان‌های گلستان، مازندران، اردبیل و ... مشاهده می‌شود. اغلب گونه‌های فوزاریوم به صورت سaproوفیت اختیاری در خاک به‌سر می‌برند و دارای قدرت بیماری‌زایی بالایی هستند. در سنبلچه‌های آلوده، دانه‌های چروکیده شده و قوهی نامیه خود را از دست می‌دهند [۷۶-۸۱].

۱-۳-۴ باکتری پسیدوموناس سیرنگا (p.s.s)

باکتری پسیدوموناس سیرنگا تا کنون از میزبان‌های مختلفی مانند درختان میوه هسته‌دار، سیب، مرکبات، توتون، گندم، ذرت، نیشکر، لوبیا، گلابی، چغندر قند، کیوی، کدوییان، برخی گل‌های زیستی و شمار دیگری از گیاهان زراعی و علف‌های هرز جدا شده است.

گونه‌ی P.Syringae یک باکتری گرم منفی از رده گاماپروتئو باکتری‌ها^{۵۵} و خانواده Pseudomonadaceae و شامل بیش از ۵۰ پاتوار است که براساس دامنه‌ی میزبانی و بیماری‌زایی متمایز می‌شوند. یکی از مهم‌ترین بیمارگر این گونه pss است که می‌تواند ۱۸۰ گونه‌ی گیاهی را

54- Fumonisin

55- Gammaproteo Bacterias

56- Chancre

آلوده کند. این پاتوار عامل بسیاری از بیماری‌های مهم گیاهی شامل شانکر^{۵۵} باکتریایی درختان میوه هسته‌دار، نوار قرمز نیشکر، بلایت گندم و جو، لکه قهقهه‌ای لوپیا و ... است. علائم ایجاد شده به وسیله‌ی pss روی گندم و جو معمولاً شامل بلایت برگ یا بافت مردگی برگ است. بیماری بلایت برگ یکی از بیماری‌های گندم است که در مواردی سبب خسارت شدید شده است. این بیماری از کشورهای مختلفی از جمله امریکا، کانادا، آرژانتین، آفریقای جنوبی، ایتالیا و آلمان گزارش شده است. این بیماری در ایران نیز در استان‌های کرمان، کهگیلویه و بویر احمد، فارس، سیستان بلوچستان و گیلان نیز مشاهده شده است [۸۲-۸۵].

۴-۱ هدف

با توجه به آن‌چه در بخش‌های قبل ذکر شد؛ هتروپلی‌اسیدها با دارا بودن ویژگی‌های منحصر به فرد خود و سازگاری با محیط‌زیست نسبت به کاتالیزگرهای معدنی دیگر، گزینه‌ی مناسبی برای کاربردهای صنعتی و کاتالیزوری از جمله کاربرد به عنوان کاتالیزگر در واکنش‌های اپوکسایش هستند. در این تحقیق، هتروپلی‌اسیدهای $H_5[PMo_{10}V_2O_{40}]$ ، $H_4[SiW_{12}O_{40}]$ ، $H_4[PW_{12}O_{40}]$ و $H_5[PMo_{11}VO_{40}]$ تهیه و بر روی پلی‌آنیلین ثبت شد، سپس در واکنش اپوکسایش آلنک به عنوان کاتالیزگر ناهمگن بررسی گردید. سپس تأثیر پارامترهای مؤثر بر این واکنش جهت بهینه‌سازی شرایط واکنش مورد ارزیابی قرار گرفت.

از آنجا که این ترکیبات سازگاری خوبی با محیط زیست دارند امید است در بخش کشاورزی و گیاه پزشکی نیز مورد مطالعه قرار بگیرند؛ بدین منظور خواص ضدبакتریایی این ترکیبات بر رشد برخی گونه‌های بیماری‌زا در زمینه‌ی کشاورزی مورد بررسی قرار گرفت.

فصل دوّم

تجربی

۱-۲ بررسی ویژگی‌های کاتالیزوری هتروپلی اسیدهای نشانده شده بر روی نانو الیاف پلی- آنیلین در واکنش اپوکسایش آلکن‌ها

۲-۱ مواد شیمیایی استفاده شده

شامل سدیم‌تنگستات سدیم‌هیدروژن‌فسفات‌دوآبه (Na₂WO₄₀.2H₂O)، آنکن‌ها (سیکلوهگزن، سیکلواکتن، ۱- NaH₂PO₄.2H₂O)، دی‌سدیم‌هیدروژن‌فسفات (Na₂HPO₄)، آنکن‌ها (سیکلوهگزن، سیکلواکتن، ۱-اکتن، α-متیل‌استایرن، استایرن و α-پین)، ترشیبوبوتیل‌هیدروژن‌پراآکسید ۷۰٪، دی‌اتیل‌اتر، سدیم‌مولیبدات (Na₂MoO₄.2H₂O)

حلال‌های به کار رفته: استونیتریل (CH₃CN)، تتراکلرید‌کربن (CCl₄)، کلروفرم (CH₃Cl)، دی‌کلرومتان (CH₂CH₂Cl₂)، اتانول (C₂H₅OH)، تولوئن (C₇H₈) و دی‌کلرواتان (CH₂Cl₂)، دی‌کلرومانتان (C₂H₅Cl₂)، متانول

۲-۱-۲ گونه‌های بیولوژیکی به کار گرفته شده

به منظور بررسی تأثیر ضدقارچی و ضدباکتریایی ترکیبات تهیّه شده، هتروپلی اسید و پلی- آنیلین از بیمارگرهای قارچی گیاهان شامل ماقروفومینا، بوتریتیس‌سینرا، فوزاریوم‌گرمینه و باکتری Pss استفاده شد. ابتدا جدایه‌های قارچی و باکتریایی خالص‌سازی شده به ترتیب بر روی محیط کشت عصاره‌ی سیب‌زمینی- دکستروز- آگار (PDA) و نوترینت‌آگار (NA) کشت شدند. به- منظور بررسی اثر بازدارندگی از روش دیسک کاغذی استفاده شد.

۳-۱-۲ دستگاه‌های به کار گرفته شده

۱-۳-۱ دستگاه کروماتوگرافی گازی (GC)

این دستگاه به منظور شناسایی و ارزیابی فرآورده‌های اپوکسایش و میزان پیشرفت واکنش‌ها مورد استفاده قرار گرفت. دستگاه مدل پارس با آشکارساز یونش شعله‌ای و ستون Silicon DC-200، ساخت شرکت طیف گستر به کار گرفته شد که ویژگی‌های آن در جدول ۱-۲ بیان شده است.

جدول ۱-۲: مشخصات دستگاه کروماتوگرافی گازی

N ₂	گاز حامل
2bar	N ₂
۱۵۰ mol / min	O ₂
۳۰ ml / min	H ₂
FID	نوع آشکار ساز
SE-30	نوع ستون
۶۰ - ۱۸۰ °C	دما بر حسب نوع آلکن

۲-۳-۱ دستگاه طیف سنجی فروسرخ تبدیل فوریه (FT-IR)

به منظور شناسایی هتروپلی اسیدها، بستر پلی‌آنیلین و تایید قرار گرفتن هتروپلی اسیدها بر روی پلی‌آنیلین از دستگاه FT-IR WQF-500 Rayleigh و با استفاده از قرص پتاسیم‌برمید (KBr) خشک استفاده شد.

۲-۳-۲ دستگاه طیف سنجی فرابنفش- مرئی (UV- Vis)

برای ثبت طیف‌های جذبی در ناحیه‌ی مرئی و فرابنفش به منظور بررسی میزان قرارگیری هتروپلی اسیدها بر روی بستر پلی‌آنیلین از دستگاه طیفسنجی فرابنفش-مرئی شیمادزو، مدل UV-160 با سل کوارتر استفاده شد.

(TGA) دستگاه آنالیز حرارتی ۴-۳-۱-۲

بررسی پایداری حرارتی کاتالیزورهای ناهمگن تهیّه شده توسط دستگاه آنالیز حرارتی با مدل دستگاه Perkin Elmer صورت گرفت.

EDX و FE-SEM ۵-۳-۱-۲ دستگاه

بررسی مورفولوژی سطح و نیز تشخیص عنصر موجود در سطح کاتالیزگرهای ناهمگن تهیّه شده به کمک آنالیزهای Mira 3-XMU و EDX با مدل FE-SEM استفاده شد.

(ICP) آنالیز عنصری ۶-۳-۱-۲ دستگاه

آنالیزهای عنصری به وسیله‌ی دستگاه ICP ساخت شرکت Jobin Yvon با مدل JY 138 Mltrace انجام شد.

۷-۳-۱-۲ هود بیولوژیک

از هود لامینار یا هود میکروبی ساخت شرکت Pars Azma Co، برای کنترل تهویه و مکش ذرات معلق در هوای محفظه یا کابین در طول روند بیولوژیکی استفاده شد.

۸-۳-۱-۲ اتوکلاو

از اتوکلاو ساخت شرکت ریحان طب با مدل RT-5، برای افزایش دما جهت استریلیزاسیون محلول-های تهیّه شده استفاده شد.

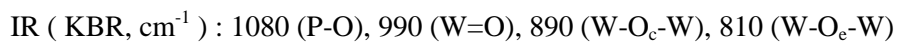
۹-۳-۱-۲ انکوباتور

به منظور کنترل دما، رطوبت و دیگر شرایط محیطی برای نگهداری و کشت نمونه‌های تهیّه شده از دستگاه انکوباتور ساخت شرکت FG، استفاده شد.

۴-۱-۲ تهیّهٔ هتروپلی اسیدهای کگین

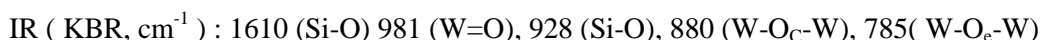
۴-۱-۱ تهیّهٔ هتروپلی اسید [H₄[PW₁₂O₄₀]]

مقدار ۰/۳ مول از سدیم‌تنگستات (Na₂WO₄₀.2H₂O) و ۰/۰۰۷۳ مول سدیم‌دی‌هیدروژن-فسفات (NaH₂PO₄.2H₂O) در یک بشر ۵۰ میلی‌لیتری به همراه ۳۰ میلی‌لیتر آب م قطره ریخته شد و در حال هم زدن روی هیتر، تا دمای جوش گرم شد. آن‌گاه قطره قطره ۸ میلی‌لیتر اسید کلریدریک غلیظ به آن اضافه شد. محلول سفید رنگ حاصل به قیف جدا کننده ۱۰۰ میلی‌لیتری منتقل و با افزودن ۲۰ میلی‌لیتر دی‌اتیل‌اتر طی دو مرحله استخراج گردید. فاز سنگین (پایین‌ترین فاز) هتروپلی اسید پس از جدا سازی در معرض هوا به‌منظور خروج دی‌اتیل‌اتر آن، قرار گرفت. صحت سنتز و تشکیل هتروپلی اسید، به‌وسیلهٔ تکنیک IR بررسی شد. نتایج حاصل از این طیف‌سنجی با داده‌های موجود در مراجع، هم‌خوانی دارد [۲ و ۸۶].



۴-۱-۲ تهیّهٔ هتروپلی اسید [H₄[SiW₁₂O₄₀]]

مقدار ۰/۰۳۵ مول سدیم‌تنگستات (Na₂WO₄.2H₂O) به همراه ۲۰ میلی‌لیتر آب م قطره در بشر ۵۰ حل شد. ۳/۹ میلی‌لیتر از محلول ۰/۰۰۳۵ مولار (۰/۹ مول) سدیم‌متاسیلیکات (Na₂Si₂O₅) به محلول ابتدایی اضافه شد و روی هیتر تا زمانی که به نقطهٔ جوش برسد حرارت داده شد. پس از آن در مدت ۴۵ دقیقه، در حالی که محلول هم می‌خورد، قطره قطره ۶ میلی‌لیتر اسید کلریدریک غلیظ به آن اضافه شد. آن‌گاه محلول صاف شده و رسوبات سیلیکاتی آن جدا شد. به محلول زیر صافی، ۴ میلی‌لیتر اسید کلریدریک غلیظ اضافه شد. سپس محلول حاصل به قیف جدا کننده‌ی ۱۰۰ میلی‌لیتری منتقل و با افزودن ۱۰ میلی‌لیتر دی‌اتیل‌اتر طی دو مرحله فاز روغنی حاوی هتروپلی اسید جدا شد و در معرض هوا قرار گرفت. پس از خشک شدن، بلورهای حاصل به وسیلهٔ تکنیک IR مورد بررسی قرار گرفت [۲].



H₅[PMo₁₀V₂O₄₀] ۲-۱-۴-۳ تهیّه‌ی هتروپلی اسید

در یک بالن ۵۰ میلی‌لیتری مقدار ۴/۸۸ گرم (۳۵ میلی‌مول) وانادات‌سدیم در ۲۰ میلی‌لیتر آب مقطر تا زمانی که به طور کامل حل شود رفلaks شد. در بشری جداگانه مقدار ۱/۴۲ گرم (۱۰ میلی‌مول) دی‌سدیم‌هیدروژن‌فسفات در ۲۰ میلی‌لیتر آب مقطر حل و به محلول قبلی اضافه شد. پس از سرد شدن به محلول نهایی، ۱ میلی‌لیتر اسید سولفوریک غلیظ اضافه شد، محلول به قرمز تیره تغییر رنگ داد. دوباره در بشری جداگانه مقدار ۲۴/۲ گرم (۱۰۰ میلی‌مول) سدیم‌مولیبدات دوا به در ۴۰ میلی‌لیتر آب مقطر حل و به محلول قرمز پیشین افزوده شد. پس از آن، ۱۷ میلی‌لیتر اسید سولفوریک غلیظ به آرامی به این محلول اضافه شد. محلول قرمز روشن حاصل به قیف جداگانده منتقل و با افزودن ۱۰۰ میلی‌لیتر دی‌اتیل‌اتر و هر بار با تکان دادن شدید، روغنی قرمز حاوی هتروپلی اسید جدا شد و در معرض هوا قرار گرفت. بلورهای قرمز تیره حاصل پس از خشک شدن به‌وسیله‌ی آنالیز FT-IR مورد بررسی قرار گرفت. مشاهدات گویای آن است که نتایج حاصل از این آنالیز با داده‌های موجود در مراجع هم‌خوانی داشته و این به معنای تشکیل صحیح هتروپلی اسید مورد نظر است [۸۶ و ۸۷].

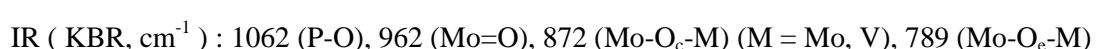
IR (KBR, cm⁻¹) : 1057 (P-O), 957 (Mo=O), 864 (Mo-O_c-M) (M = Mo, V), 777 (Mo-O_c-M)

(اکسیژن لبه‌ای: O_c, اکسیژن گوشه‌ای: O_e)

H₄[PMo₁₁VO₄₀] ۲-۱-۴-۴ تهیّه‌ی هتروپلی اسید

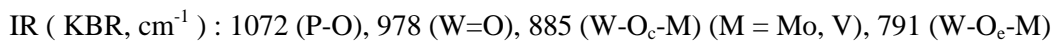
در یک بالن ۲۵۰ میلی‌لیتری، ۶/۱ گرم سدیم‌وانادات در ۱۰۰ میلی‌لیتر آب جوش حل شد (تا زمانی که کاملاً حل شود رفلaks گردید). در بشری جداگانه، ۷/۱ گرم دی‌سدیم‌هیدروژن‌فسفات در ۱۰۰ میلی‌لیتر آب حل شد. محتوای بشر ۲ به محلول سدیم‌وانادات اضافه و پس از سرد شدن قطره قطره به آن ۵ میلی‌لیتر اسید سولفوریک غلیظ اضافه شد محلول قرمز تیره رنگی حاصل شد. سپس در بشری دیگر، ۱۳۸ گرم سدیم‌مولیبدات دو آبه همراه با ۲۰۰ میلی‌لیتر آب حل و به محلول

قرمز رنگ اضافه شد در این مرحله تغییر رنگ چندانی مشاهده نشد. پس از آن، در حالی که محلول هم می‌خورد، به آرامی ۸۵ میلی‌لیتر اسید سولفوریک غلیظ اضافه شد رنگ محلول به قرمز روشن متمايل گردید. فاز روغنى قرمز رنگ با منتقل کردن محلول شفاف قرمز به قيف جداكنده و افروزن ۴۰۰ میلی‌لیتر دی‌اتیل‌اتر طی دو مرحله و هر بار با تکان دادن شدید استخراج شد و در معرض هوا قرار گرفت. بلور قرمز تیره حاصل، پس از خشک شدن به وسیله‌ی آنالیز FT-IR مورد بررسی و با مقایسه با داده‌های موجود در مراجع صحت تشکیل هتروپلی اسید تأیید گردید [۸۶ و ۸۷].



۲-۱-۴-۵- تهییه‌ی هتروپلی اسید

در یک بالن ۱۰۰ میلی‌لیتری ۱۲/۲ گرم سدیم وانادات (۱۰۰ میلی‌مول) در ۵۰ میلی‌لیتر آب قطر رفلaks شد. در بشری جداگانه، ۳/۵۵ گرم دی‌سدیم‌هیدروژن‌فسفات (۲۵ میلی‌مول) در ۵۰ میلی‌لیتر آب قطر حل شد و به محلول قبل اضافه گردید. پس از سرد شدن، قطره قطره ۵ میلی‌لیتر اسید سولفوریک غلیظ به محلول افزوده و محلول قرمز رنگی حاصل شد. سپس دوباره در بشری جداگانه، ۸۲/۵ گرم سدیم‌تنگستات دوا به (۲۵۰ میلی‌مول) در ۱۰۰ میلی‌لیتر آب قطر حل کرده و به محلول قرمز رنگ اولیه اضافه گردید. پس از آن به آرامی ۴۲ میلی‌لیتر اسید سولفوریک غلیظ به محلول اضافه شد. سپس فاز روغنى قرمز رنگ با انتقال محلول قرمز رنگ به قيف جداكنده همراه با افزودن ۵۰ میلی‌لیتر دی‌اتیل‌اتر در دو مرحله و هر بار با تکان دادن شدید استخراج شد و در معرض هوا قرار گرفت. بلورهای قرمز تیره پس از خشک شدن به وسیله‌ی آنالیز طیف‌سنگی فروسرخ بررسی و با مقایسه‌ی نتایج حاصل از آن با داده‌های موجود در مراجع صحت تشکیل هتروپلی اسید تأیید شد [۸۸].



۲-۱-۵ تهیّهٔ بستر پلی‌آنیلین

مقدار ۵ میلی‌لیتر آنیلین تقطیر شده در ۳۰۰ میلی‌لیتر اسید کلریدریک ۱ نرمال در یک بالن ۵۰۰ میلی‌لیتری ریخته و تا دمای ۷۰ درجه‌ی سانتیگراد حرارت داده شد. محلول داغ دیگری که شامل ۷/۴ گرم پتاسیم‌پرسولفات ($K_2S_2O_8$) در ۲۰۰ میلی‌لیتر اسید کلریدریک ۱ نرمال تا دمای ۷۰ درجه‌ی سانتیگراد حرارت داده شد و به آرامی به محلول قبلی اضافه شد. بعد از افزودن اکسنده، به مدت ۲ ساعت، تحت دمای ۷۰ درجه‌ی سانتیگراد محلول مورد نظر هم خورد. سپس پس از سرد شدن محلول، اجازه داده شد به مدت ۱۴ ساعت در دمای اتاق به هم خورد. آن‌گاه رسوب به‌وسیله‌ی قیف بوخرن طی چند مرحله جدا شده و به‌وسیله‌ی متانول شستشو شده شد. پس از خشک شدن رسوب، ۰/۵ گرم از پودر خشک شده با ۵ میلی‌لیتر اتانول شستشو و دوباره خشک شد. رسوب سبز تیره حاصل به‌وسیله‌ی آنالیز FT-IR بررسی و با مقایسه‌ی داده‌های موجود در مراجع صحّت تشکیل بستر پلی‌آنیلین تایید گردید [۸۹].

۲-۱-۶ نشاندن هتروپلی اسیدهای کگین تهیّه شده بر روی بستر پلی‌آنیلین

در یک بشر، مقدار ۱/۰ گرم از هتروپلی اسید تهیّه شده در ۳۰ میلی‌لیتر اتانول حل شد. در بشری دیگر، مقدار ۱/۰ گرم از بستر پلی‌آنیلین با ۷۰ میلی‌لیتر مخلوط و به محلول اول اضافه شد. سپس مخلوط حاصل به یک بالن ۲۵۰ میلی‌لیتری منتقل و به مدت ۳ ساعت برای دو کاتالیز گر HPV₂W - PANI و HPV₂Mo - PANI و HPVMo-PANI در دمای جوش حلال، رفلaks گردید.

۲-۱-۷ بررسی میزان جذب هتروپلی اسیدها بر روی بستر نانو الیاف پلی‌آنیلین به وسیله‌ی تکنیک UV-Vis

به منظور بررسی مدت زمان کامل شدن جذب مقدار هتروپلی اسیدهای تهیّه شده بر روی بستر پلی‌آنیلین، محلول ۲/۵ مولار از هر سه هتروپلی اسید $H_5[PMo_{10}V_2O_{40}]$ ، $H_5[PW_{10}V_2O_{40}]$ و

با رقیق کردن $0/17$ میلی لیتر محلول $10^{-3} \times 3/5$ مولار آنها با اتانول در بالن $H_4[PMo_{11}VO_{40}]$ حجمی 25 میلی لیتری ساخته شد و همراه با 20 میلی گرم نانو الیاف پلی آنیلین در مدت زمان های $0, 1, 2, 3, 4$ و 5 ساعت رفلaks گردید. (جذب هتروپلی اسید قبل از نشاندن روی پلی آنیلین)، سپس مقدار جذب محلول های یاد شده بر روی رسوب با طیف سنجی Vis-UV مورد بررسی قرار گرفت. نتایج این بررسی در شکل های $17-3$ ، $18-3$ و $19-3$ آورده شده است.

۶-۱-۲ بررسی ویژگی های کاتالیزوری کاتالیزگر ناهمگن HPA-PANI در واکنش اپوکسایش آلکن ها

به منظور بررسی اثر حلال، در شش بالن 10 میلی لیتری به ترتیب مقدار 1 میلی لیتر از حلال های 1 - 2 - دی کلرواتان، دی کلرومتان، متانول، استونیتریل، کلروفرم و کربن تراکلرید به همراه 20 میلی گرم کاتالیزگر HPA-PANI، $0/4$ میلی لیتر اکسنده TBHP و $0/5$ میلی مول سیکلو اکتن به مخلوط واکنش اضافه گردید. هر کدام از بالن های حاوی مخلوط واکنش، در مدت زمانی که واکنش به طور کامل انجام شود (برای کاتالیزگرهای $HPV_2Mo-PANI$ و $HPV_2W-PANI$ در مدت 3 ساعت و برای کاتالیزگر $HPV_2W-PANI$ در مدت 4 ساعت) و در بیشترین دمای ممکن (دمای نقطه جوش هر حلال)، در شرایط واکنش رفلaks شد. پیشرفت واکنش با دستگاه کروماتو گرافی گازی بررسی شد که در جدول $1-3$ و شکل $25-3$ نشان داده شده است. با توجه به نتایج حاصل، حلال 1 و 2 - دی کلرواتان به عنوان حلال ایده آل برای هر سه کاتالیزگر انتخاب شد و در مراحل بعدی برای بهینه کردن عوامل دیگر مورد استفاده قرار گرفت.

۶-۱-۳ بررسی اثر اکسنده

در این قسمت به منظور بررسی اثر اکسنده، دو نوع اکسنده هی $TBHP$ و هیدروژن پر اکسید با چهار حلال مورد بررسی قرار گرفت. به این منظور چهار بالن 10 میلی لیتری برای هر اکسنده و برای هر

کاتالیزگر در نظر گرفته شد و مطابق قسمت قبل، مخلوط واکنش حاوی ۲۰ میلی گرم کاتالیزگر ، ۰/۴ میلی لیتر اکسنده ، ۱ میلی لیتر از حللهای ۱و۲-دی کلرواتان، متابول، استونیتیریل، تتراکلرید کربن و مقدار ۰/۵ میلی مول سیکلواکتن در زمانهای ۳ و ۴ ساعت به ترتیب برای کاتالیزگرهای بر پایه‌ی مولیبدن و تنگستن و در دمای نقطه‌ی جوش هر حلل رفلaks گردید. نتایج حاصل از این آزمایش -ها، در جدول ۲-۳ و شکل ۲۶-۳ نشان داده شده است. با توجه به نتایج برای هر سه کاتالیزگر، بهترین اکسنده، ترشیوبوتیل‌هیدروژن پراکسید انتخاب و در مراحل بعدی به کار گرفته شد.

۲-۱-۳ بررسی اثر دما

به منظور بررسی این پارامتر، در سه بالن ۱۰ میلی لیتری، مقدار ۱ میلی لیتر از حلل ۱و۲-دی کلرواتان، ۰/۵ میلی مول سیکلواکتن و ۰/۴ میلی لیتر اکسنده ترشیوبوتیل‌هیدروژن پراکسید ریخته شد و سپس مقدار ۲۰ میلی گرم از کاتالیزگر، به بالن‌ها افزوده، در زمانهای ۳ و ۴ ساعت به ترتیب برای کاتالیزگرهای برپایه‌ی مولیبدن و تنگستن و در دماهای ۲۵، ۴۵ و ۸۴ درجه‌ی سانتیگراد رفلaks گردید. نتایج حاصل در جدول ۳-۳ و شکل ۲۷-۳ ثبت شد. با توجه به نتایج به دست آمده برای هر سه کاتالیزگر، دمای جوش حلل بهینه (۸۴ °C) به عنوان دمای بهینه انتخاب شد.

۲-۱-۴ بررسی اثر مقدار اکسنده

در این پژوهش، اثر مقدار اکسنده بر پیشرفت واکنش اپوکسایش سیکلواکتن، بررسی شد که به موجب آن، چهار بالن ۱۰ میلی لیتری حاوی ۱ میلی لیتر حلل ۱و۲-دی کلرواتان، ۰/۵ میلی مول سیکلواکتن به همراه مقدار ۲۰ میلی گرم از کاتالیزگرهای ناهمگن ریخته شد. همچنین مقادیر ۰/۱، ۰/۳ و ۰/۴ میلی لیتر از اکسنده ترشیوبوتیل‌هیدروژن پراکسید ریخته و به مدت ۳ و ۴ ساعت به ترتیب برای کاتالیزگرهای برپایه‌ی مولیبden و تنگستن و در دمای ۸۴ درجه‌ی سانتیگراد رفلaks گردید. نتایج حاصل در شکل ۴-۳ و جدول ۲۸-۳ ثبت شد. با توجه به نتایج به دست آمده، مقدار ۰/۴

میلی لیتر (۱/۱۲ میلی مول) اکسنده برای انجام واکنش با هر سه کاتالیزگر تهیه شده به عنوان بهترین مقدار اکسنده انتخاب شد.

۲-۱-۶-۵ بررسی اثر مقدار کاتالیزگر

به این منظور در ۵ بالن ۱۰ میلی لیتری، مقادیر ۵/۰ میلی مول سیکلواکتن، ۴/۰ میلی لیتر اکسنده ترشیوبوتیل هیدروژن پراکسید ریخته شد. سپس مقادیر ۵، ۱۰، ۱۵، ۲۰، ۲۵ میلی گرم از کاتالیزگر HPA-PANI به بالن‌ها افزوده و در دمای جوش حلال بهینه به مدت ۳ و ۴ ساعت به ترتیب برای کاتالیزگرهای بربایه مولیبدن و تنگستن رفلaksن گردید. نتایج حاصل در جدول ۳-۵ و شکل ۲۹-۳ آورده شده است. نتایج حاکی از آن است که مقدار بهینه برای کاتالیزگرهای HPV₂Mo-PANI، HPV₂W-PANI و HPVMo-PANI به ترتیب ۱۰، ۱۵ و ۲۰ میلی گرم می‌باشد.

۲-۱-۶-۶ بررسی اثر زمان

به این منظور ۱۰ میلی گرم از کاتالیزگر HPV₂Mo-PANI و ۱۵ میلی گرم از کاتالیزگر HPVMo-PANI را به طور جداگانه، به همراه ۵/۰ میلی مول سیکلواکتن و ۱ میلی لیتر حلال دی-کلرواتان در یک بالن ۱۰ میلی لیتری ریخته، سپس ۴/۰ میلی لیتر اکسنده ترشیوبوتیل (TBHP) به بالن افزوده و در دمای ۸۴ درجه سانتیگراد، در مدت زمان‌های ۱۵، ۳۰، ۴۵، ۶۰، ۹۰، ۱۲۰، ۱۸۰ و ۲۴۰ دقیقه رفلaksن شد. همین شرایط برای کاتالیزگر HPV₂W-PANI نیز در نظر گرفته شد با این تفاوت که آزمایش قبل با مقدار ۲۰ میلی گرم از کاتالیزگر ذکر شده در زمان‌های ۱۸۰، ۲۴۰، ۳۰۰ و ۳۶۰ دقیقه رفلaksن گردید. نتایج حاصل در جدول ۶-۳ و شکل ۳۰-۳ نشان داده شده است.

۲-۱-۶-۷ بررسی توانایی کاتالیزگر بازیابی شده در اپوکسایش سیکلواکتن

برای بررسی قدرت کاتالیزوری کاتالیزگر بازیابی شده، واکنش اپوکسایش سیکلواکتن برای سه کاتالیزگر ناهمگن مورد نظر در شرایط بهینه‌ی به دست آمده، صورت گرفت. پس از واکنش

کاتالیزگر بهوسیله‌ی سانتریفیوژ از مخلوط واکنش جدا شد و با حلال ۱۰-۲-دی‌کلرواتان شست و شو داده شد و خشک گردید و برای انجام واکنش بازیابی اول مورد استفاده قرار گرفت. هر سه کاتالیزگر چهار مرتبه مورد بازیابی قرار گرفتند و پیشرفت واکنش با دستگاه کروماتوگرافی گازی مورد بررسی قرار گرفت. نتایج حاصل از این بررسی، در جدول ۳-۷ و شکل ۳-۱۱ ثبت شد.

۲-۶-۸ بررسی اپوکسایش سایر آلکن‌ها با استفاده از کاتالیزگرهای ناهمگن-HPVMo

HPV₂W-PANI و HPV₂Mo-PANI .PANI

به‌این‌منظور در ۵ بالن ۱۰ میلی‌لیتری مقدار ۵/۰ میلی‌مول از آلکن‌های استایرن، α -پین، α -متیل استایرن، سیکلوهگزن و ۱-اکتن به همراه ۴/۰ میلی‌لیتر اکسنده‌ی TBHP، یک میلی‌لیتر HPV₂Mo-PANI به ترتیب برای کاتالیزگرهای HPV₂Mo-PANI و HPV₂W-PANI و HPVMo-PANI حلال ۱۰-۲-دی‌کلرواتان و مقادیر ۱۰، ۱۵ و ۲۰ درجه‌ی سانتیگراد انجام و پیشرفت واکنش با دستگاه کروماتوگرافی گازی کاتالیزگر و دمای ۸۴ درجه‌ی آنتی‌بکتریال ترکیبات تهییه شده رفلaks گردید. این واکنش در مدت زمان بهینه برای هر بررسی شد و نتایج حاصل به طور کامل در جداول ۳-۸ و شکل ۳-۲ ثبت شد.

۲-۲-۲ بررسی ویژگی‌های آنتی‌بکتریال ترکیبات تهییه شده HPA-PANI

۲-۲-۱ انواع روش‌های ارزیابی اثر بازدارندگی ترکیبات بر روی قارچ‌های مورد نظر

در این روش ابتدا غلظت‌های ۲۵۰، ۵۰۰ و ۱۰۰۰ ppm از هر یک از سه ترکیب تهییه شده، هتروپلی اسید و پلی‌آنیلین تهییه کرده و پس از یکنواخت کردن محلول در دستگاه اولتراسونیک، ۵۰ میکرولیتر (۵ بار، هر بار ۱۰ میکرولیتر) از آن را روی دیسک‌های کاغذ صافی سترون به کمک سمپلر در شرایط استریل و زیر هود بارگزاری شد و اجازه داده شد تا دیسک‌ها در زیر لامینار فلو خشک شوند. مقدار صفر به عنوان شاهد در نظر گرفته شد که در این مورد صرفاً از حلال (آب) استفاده شد.

به منظور اطمینان از بارگزاری مناسب ترکیب‌های مورد نظر بر روی دیسک‌ها، در آزمایش دیگری دیسک‌های کاغذ صافی سترون در محلول‌های ۲۵۰، ۵۰۰ و ۱۰۰۰ ppm از مواد مورد بررسی غوطه‌ور شدند و پس از گذشت ۱۰ تا ۱۵ دقیقه دیسک‌ها در شرایط استریل در زیر لامینار فلو خشک شدند.

سپس دیسک‌هایی از قارچ‌ها به قطر ۶ میلی‌متر توسط چوب گنبه سوراخ کن از کشت‌های یک هفته‌ای قارچ تهیه و در وسط پتربالون حاوی محیط PDA قرار داده شد. سپس دو دیسک حاوی مواد مورد بررسی را در فاصله ۱ سانتی‌متری از حاشیه‌ی قرص آگار قرار گرفت. تشک‌های پتربالون در انکوباتور با دمای 25 ± 2 درجه‌ی سانتیگراد نگهداری شد. در فواصل زمانی مختلف شعاع هاله‌ی بازدارندگی یادداشت برداری شد. این آزمایش در سه نوبت تکرار شد و نتایج به دست آمده با تکرار مجدد کل آزمایش ثبت شد.

در بررسی تأثیر ضدبacterیایی مواد نیز، ابتدا سوسپانسیونی از کشت ۲۴ ساعته باکتری در آب مقطر استریل تهیه شد و به کمک دستگاه اسپکتروفوتومتر میزان جذب نوری آن در طول ۶ موج ۶۰۰ نانومتر اندازه‌گیری و در مقدار یک تنظیم شد. سپس ۲۰۰ میکرولیتر از سوسپانسیون روی محیط کشت NA به طور کامل، به کمک میله‌ی شیشه‌ای پخش شد. سپس دو دیسک حاوی مواد مورد آزمایش در دو طرف پتربالون با فاصله نیم سانتی‌متر از حاشیه قرار داده شد. ادامه‌ی آزمایش مانند بررسی تأثیر ضدقارچی انجام شد.

فصل سوّم

بحث و نتیجه‌گیری

۱-۳ شناسایی و بررسی کاتالیزگرها

بستر نانو الیاف پلی‌آنیلین و نشاندن پنج هتروپلی اسید $H_4[SiW_{12}O_{40}]$, $H_4[PW_{12}O_{40}]$, $H_4[PMo_{11}VO_{40}]$ و $H_5[PW_{10}V_2O_{40}]$, $H_5[PMo_{10}V_2O_{40}]$ با توجه به آنچه در بخش‌های ۲-۱-۴ و ۵-۱-۲ ذکر شد، انجام شد.

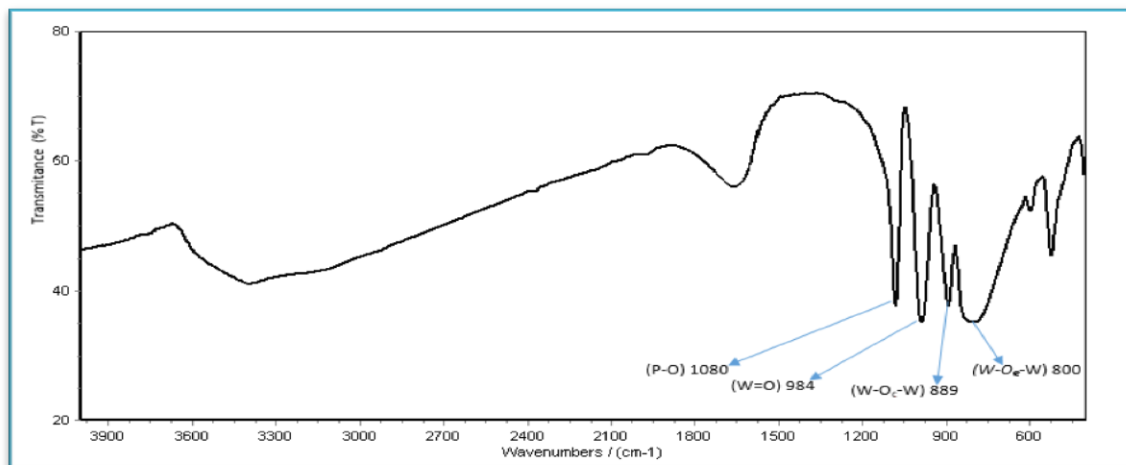
مراحل تهیّه کاتالیزگرها با آنالیزهای طیف‌سنجدی ارتعاشی تبدیل فوریه و ICP مورد بررسی قرار گرفت، پایداری دمایی کاتالیزگرهای تهیّه شده به‌وسیله‌ی آنالیز حرارتی مورد بررسی قرار گرفت.

۱-۱-۳ شناسایی هتروپلی اسیدها

پنج هتروپلی اسید $H_5[PMo_{10}V_2O_{40}]$, $H_4[SiW_{12}O_{40}]$, $H_4[PW_{12}O_{40}]$, $H_4[PMo_{11}VO_{40}]$ و $H_5[PW_{10}V_2O_{40}]$ بر پایه‌ی شیوه‌ی گزارش شده در بخش ۳-۱-۲ تهیّه شدند و به کمک طیف‌سنجدی ارتعاشی به‌ترتیب در شکل‌های ۱-۳، ۲-۳، ۳-۳، ۴-۳ و ۵-۳ مورد بررسی قرار گرفتند که با داده‌های موجود در منابع هم‌خوانی دارند.

در تمام طیف‌ها، نوار مشاهده شده در ناحیه‌ی $3400 - 3000 \text{ cm}^{-1}$ به پیوند O-H مولکول-های آب موجود در ساختار بلوری هتروپلی اسیدها مربوط می‌شود. ارتعاش خمشی این پیوند نیز در ناحیه‌ی $1700 - 1600 \text{ cm}^{-1}$ مشاهده می‌شود.

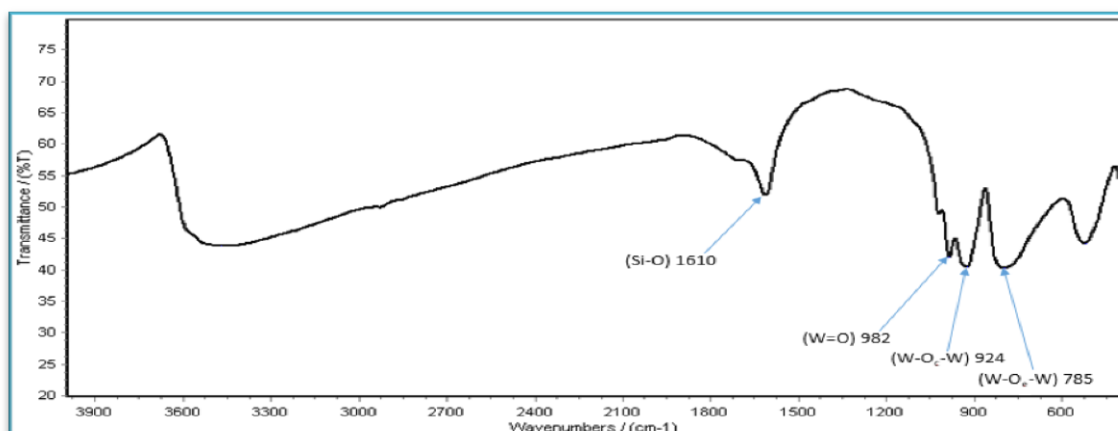
در طیف FT-IR هتروپلی اسید $H_4[PW_{12}O_{40}]$ چهار نوار اصلی مشاهده شده در ناحیه‌ی $1100 - 800 \text{ cm}^{-1}$ تأییدکننده‌ی هتروپلی اسید تهیّه شده می‌باشد که در شکل ۱-۳ نشان داده شده است. نوار مشاهده شده در ناحیه‌ی 1080 cm^{-1} بیانگر ارتعاش پیوند P-O می‌باشد. ارتعاش مربوط به پیوند W=O در 984 cm^{-1} ظاهر شده است. نوارهای مشاهده شده در 889 cm^{-1} و 800 cm^{-1} نیز به ترتیب به ارتعاش پیوند $W-O_c-W$ و $W-O-W$ نسبت داده شده است.



شکل ۳-۱: طیف FT-IR ساختار هتروپلی اسید $[H_4[PW_{12}O_{40}]$

شکل ۲-۳ طیف FT-IR ساختار هتروپلی اسید $[H_4[SiW_{12}O_{40}]$ را نشان داده است. چهار

نوار اصلی در این طیف، بیانگر و تأیید کننده ساختار این هتروپلی اسید می‌باشند. نوار مربوط به ارتعاش پیوند Si-O در 1610 cm^{-1} ظاهر شده است. نوار مشاهده شده در 982 cm^{-1} ، به ارتعاش پیوند W=O نسبت داده می‌شود. نوارهای مشاهده شده در 785 cm^{-1} و 924 cm^{-1} نیز به ترتیب، به ارتعاشات پیوندهای W-O_c-W و W-O_e-W مربوط شده است.

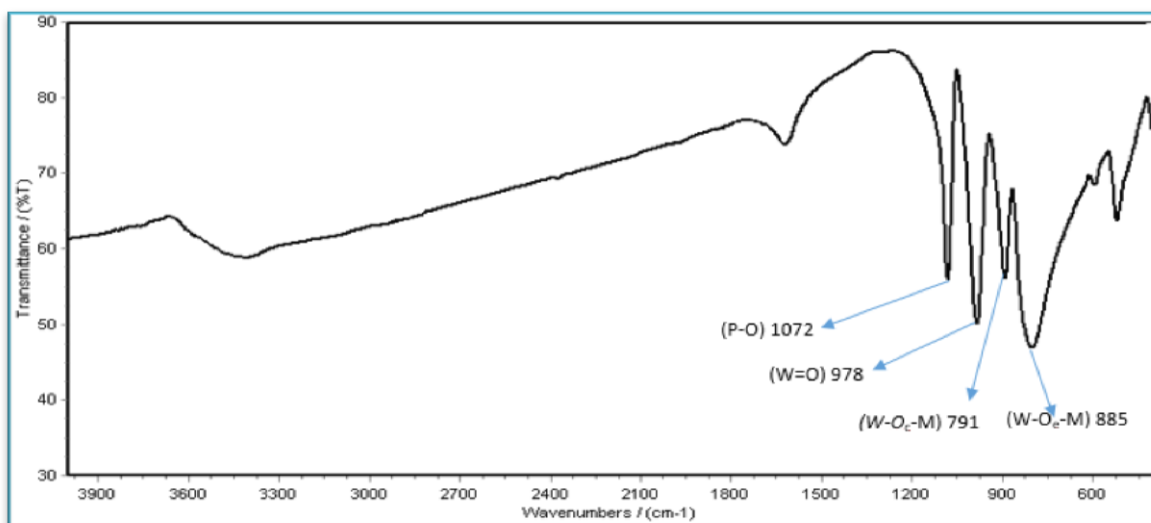


شکل ۲-۳: طیف FT-IR ساختار هتروپلی اسید $[H_4[SiW_{12}O_{40}]$

طیف FT-IR هتروپلی اسید $H_5[PW_{10}V_2O_{40}]$ در شکل ۳-۳ نشان داده شده است. چهار

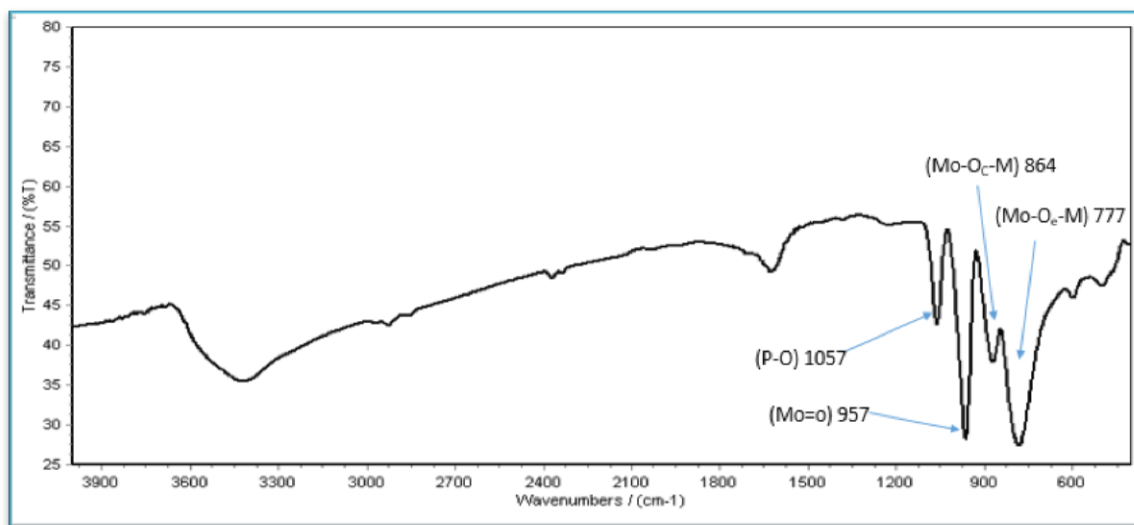
نوار اصلی در نواحی $1000-750 \text{ cm}^{-1}$ گویای صحت سنتز این هتروپلی اسید می‌باشند. نوار مشاهده

شده در ناحیه 1072 cm^{-1} نشان دهنده ارتعاش پیوند P-O می‌باشد. ارتعاش مربوط به پیوند W=O در 978 cm^{-1} ظاهر شده است. نوارهای مشاهده شده در نواحی 885 cm^{-1} و 791 cm^{-1} نیز مربوط به ارتعاشات پیوندهای W-O_e-M و W-O_c-M (M=V,W) نسبت داده شده است.



شکل ۳-۳: طیف FT-IR هتروپلی اسید $\text{H}_5[\text{PW}_{10}\text{V}_2\text{O}_{40}]$

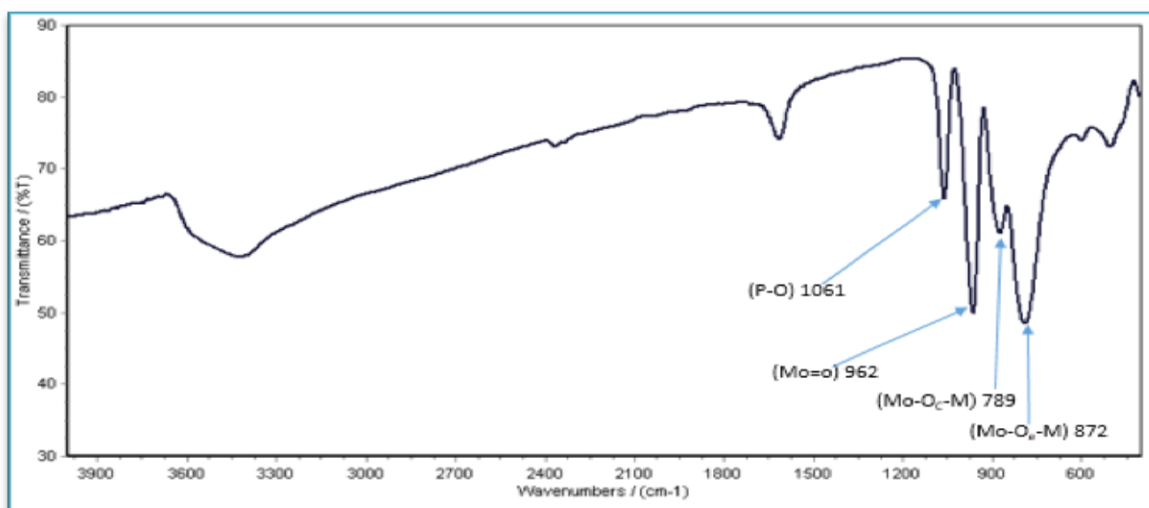
طیف FT-IR هتروپلی اسید $\text{H}_5[\text{PMo}_{10}\text{V}_2\text{O}_{40}]$ در شکل ۳-۴ نشان داده شده است. در طیف مربوطه، نوار مشاهده شده در ناحیه 1057 cm^{-1} مربوط به ارتعاش P-O می‌باشد. نوار مربوط به پیوند Mo=O در ناحیه 957 cm^{-1} ظاهر شده است. نوارهای 864 cm^{-1} و 777 cm^{-1} نیز تایید-کننده ارتعاشات دو پیوند Mo-O_e-M و Mo-O_c-M (M=Mo, V) می‌باشند.



شکل ۴-۳: طیف FT-IR هتروپلی اسید $H_5[PMo_{10}V_2O_{40}]$

طیف FT-IR هتروپلی اسید $H_4[PMo_{11}VO_{40}]$ در شکل ۵-۳ نشان داده شده است. چهار

نوار اصلی در این طیف بیانگر تشکیل این هتروپلی اسید می‌باشد.

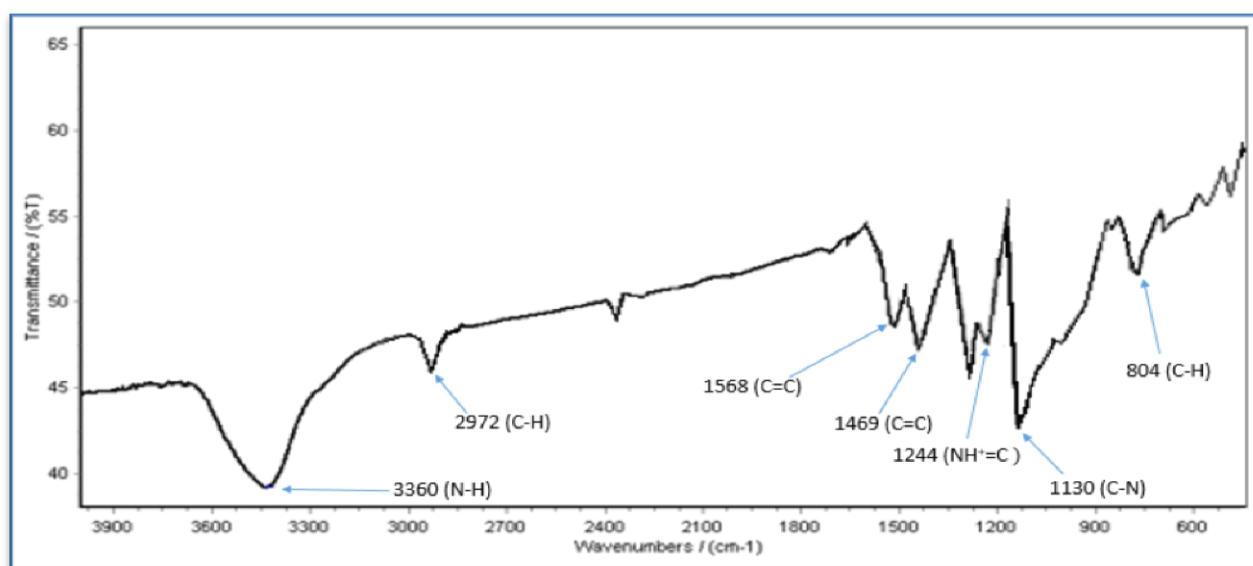


شکل ۵-۳ : طیف FT-IR هتروپلی اسید $H_4[PMo_{11}VO_{40}]$

نوار مشاهده شده در ناحیه‌ی 1061 cm^{-1} مربوط به ارتعاش P-O می‌باشد. نوارهای 872 cm^{-1} و 789 cm^{-1} تاییدکننده ارتعاشات دو پیوند Mo-O_e-M (M= Mo, V) می‌باشند. نوار مشاهده شده در ناحیه‌ی 962 cm^{-1} نیز به ارتعاشات پیوند Mo=O نسبت داده شده است.

۲-۱-۳ شناسایی بستر نانو فیبر پلی آنیلین

پس از تهیه‌ی بستر پلی آنیلین، به کمک طیف‌سنجی FT-IR صحّت سنتز موردن بررسی قرار گرفت که تصویر آن در شکل ۳-۶ نشان داده شده است.



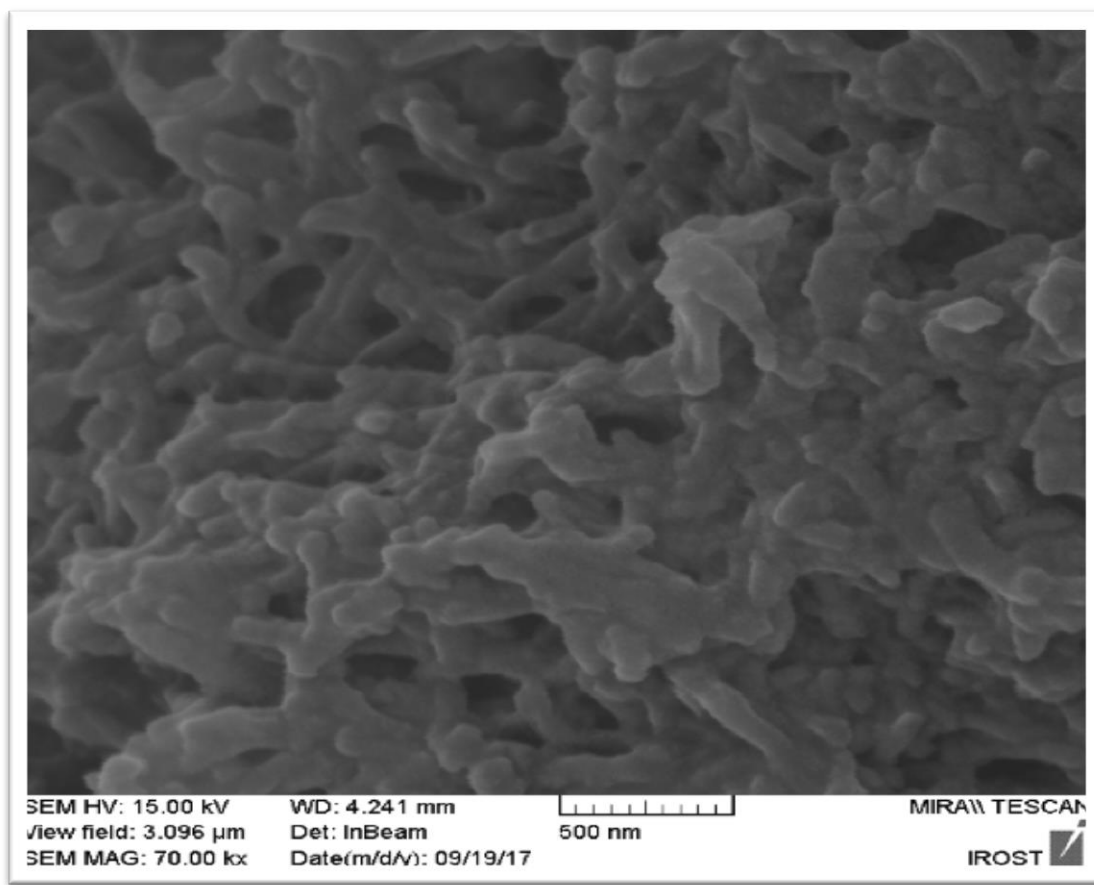
شکل ۳-۶: طیف FT-IR بستر پلی آنیلین

در طیف FT-IR پلی آنیلین در شکل ۳-۵، یکی از مشهود ترین نوارها، مربوط به ارتعاشات کششی پیوند N-H در ناحیه‌ی 3435 cm^{-1} می‌باشد. دومین نوار مربوط به پیوندهای نیتروژن در ناحیه‌ی 1130 cm^{-1} است که مربوط به ارتعاشات کششی پیوند C-N می‌باشد. نواری که در 1224 cm^{-1} مشاهده شده نیز، مربوط به ترکیب حد واسط $\text{NH}^+=\text{C}$ می‌باشد که ناشی از رزونانس جفت الکترون ناپیوندی روی نیتروژن با حلقه‌ی آروماتیک است. ارتعاشات مربوط به پیوندهای حلقه‌ی آروماتیک نیز به شرح زیر می‌باشند:

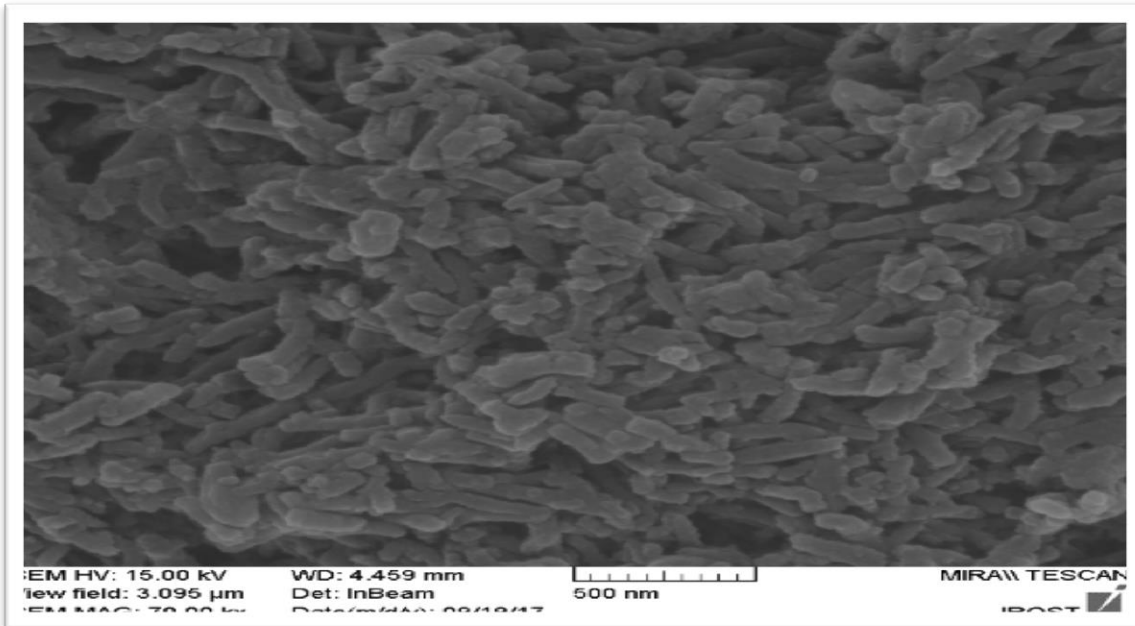
۱- ارتعاشات خمی و کششی مربوط به پیوند C-H حلقه‌ی آромاتیک که به ترتیب در دو ناحیه‌ی cm^{-1} ۲۹۷۳ و $8۰۴ cm^{-1}$ نمایان است.

۲- دو نوار در نواحی cm^{-1} ۱۵۶۸ و $1۴۶۹ cm^{-1}$ نیز مربوط به ارتعاشات کششی حلقه‌ی آромاتیک می‌باشد.

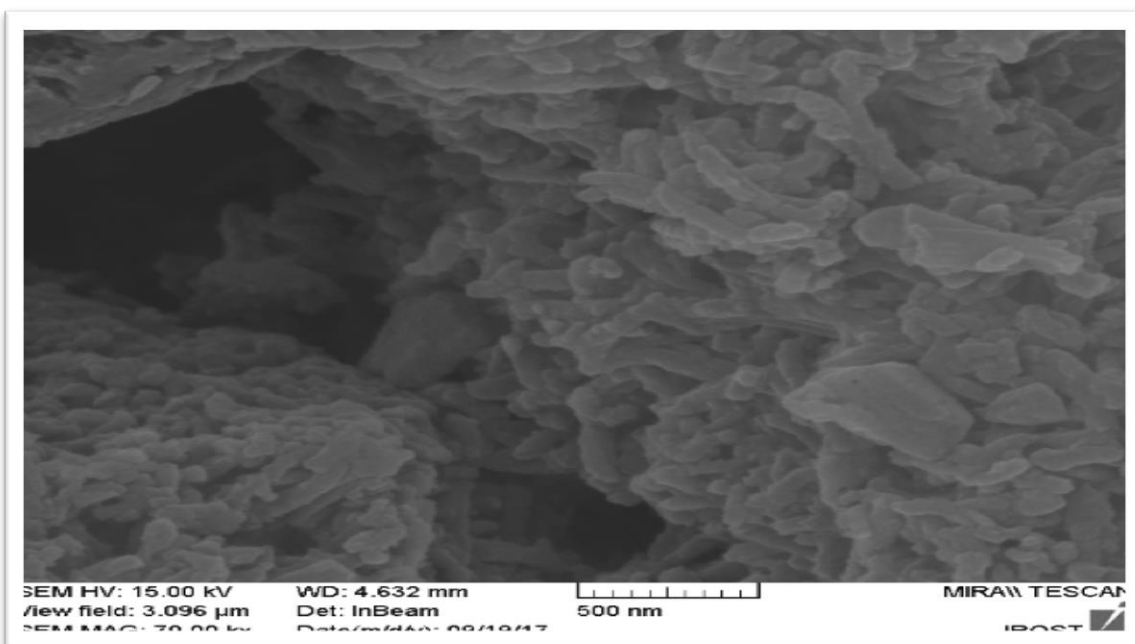
تصاویر FE-SEM پلی‌آنیلین و کاتالیزگرهای نشانده شده بر روی بستر تهیّه شده در شکل ۷-۳ تا ۱۰-۳ نشان داده شده است. ابعاد ذرات پلی‌آنیلین به طور میانگین $6۰ nm$ به دست آمده است و همان‌طور که در تصویر FE-SEM پلی‌آنیلین دیده می‌شود این ترکیب ساختاری رشته‌ای دارد که حاصل پلیمریزاسیون آرام زنجیره‌ی پلیمری پلی‌آنیلین می‌باشد.



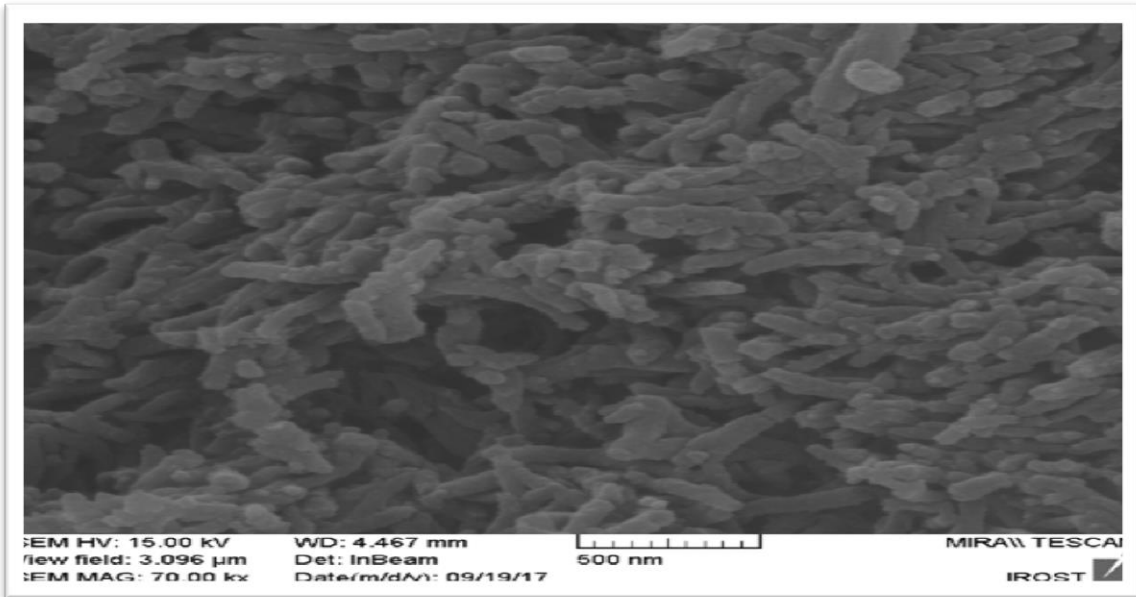
شکل ۷-۳: تصویر FE-SEM پلی‌آنیلین



شكل ٨-٣: تصوير FE-SEM كاتاليزگر HPVMo-PANI

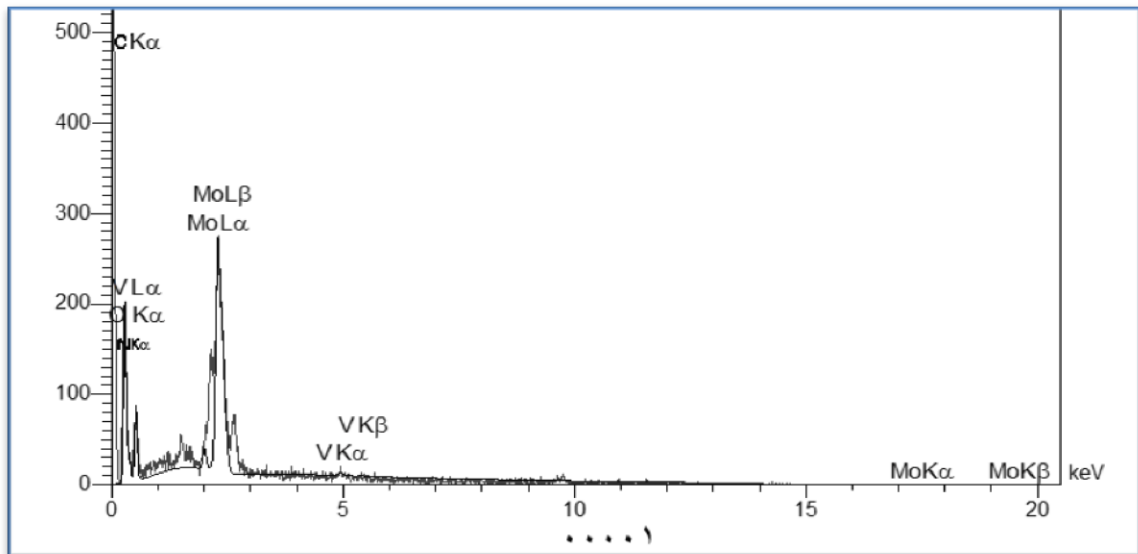


شكل ٩-٣: تصوير FE-SEM كاتاليزگر HPV₂Mo-PANI

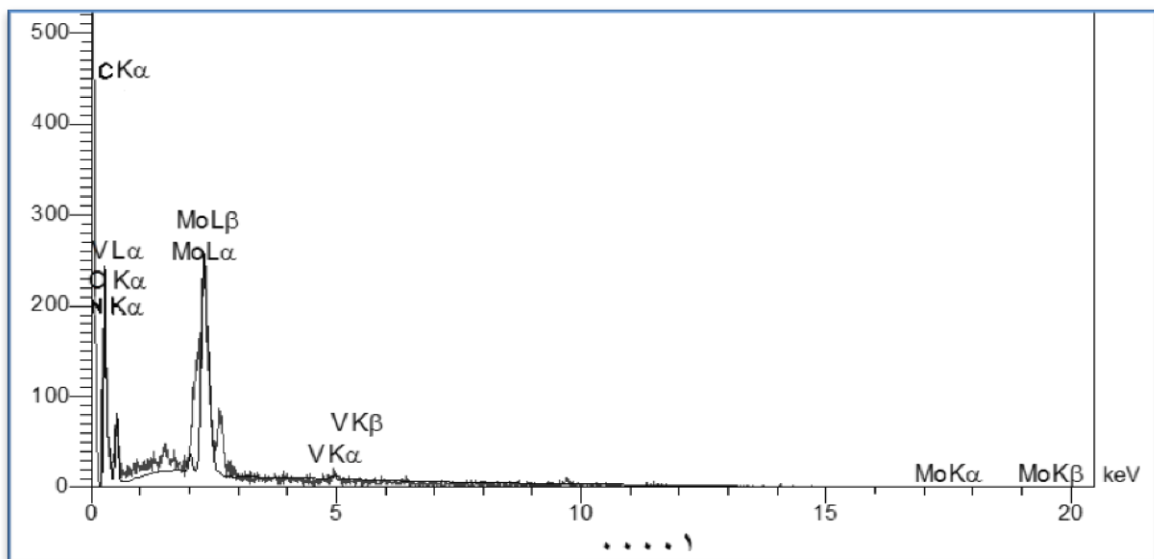


شکل ۱۰-۳: تصویر FE-SEM کاتالیزگر $\text{HPV}_2\text{W-PANI}$

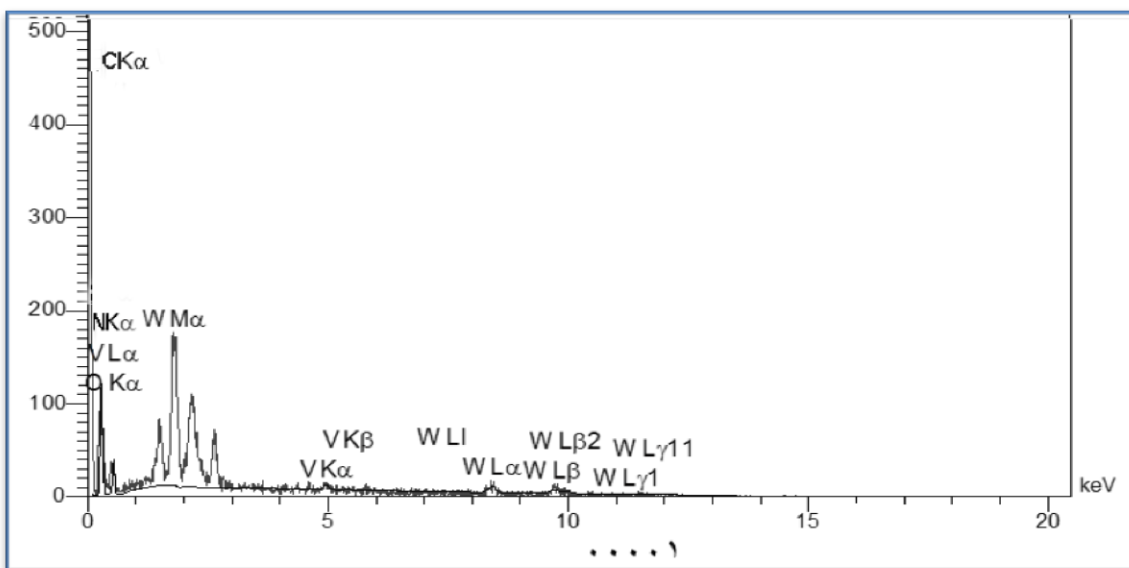
اما تصاویر FE-SEM کاتالیزگرها نشان می‌دهد که ابعاد ذرات پس از نشاندن هتروپلی اسیدها تغییر چندانی نداشته است. این در حالی است که در همه موارد ذراتی کلوخه‌ای که احتماً هتروپلی اسیدها هستند به طور یکنواخت بر روی بستر رشته‌ای شکل پراکنده شده است. آنالیز EDX کاتالیزگرهای تهیّه شده در شکل‌های ۱۱-۳ تا ۱۳-۳ آورده شده است که تأییدکننده‌ی این موضوع بود و وجود هتروپلی اسیدها را بر بستر پلی‌آنیلین نشان داده است. همان‌طور که در آنالیز شکل‌های صفحه‌ی بعد دیده می‌شود، وجود پیک‌های فلزی تنگستن، وانادیوم و مولیبدن حاکی از قرارگرفتن هتروپلی اسید بر روی این بستر می‌باشد.



شكل ١١-٣: آنالیز EDX کاتالیزگر ناهمگن HPVMo-PANI

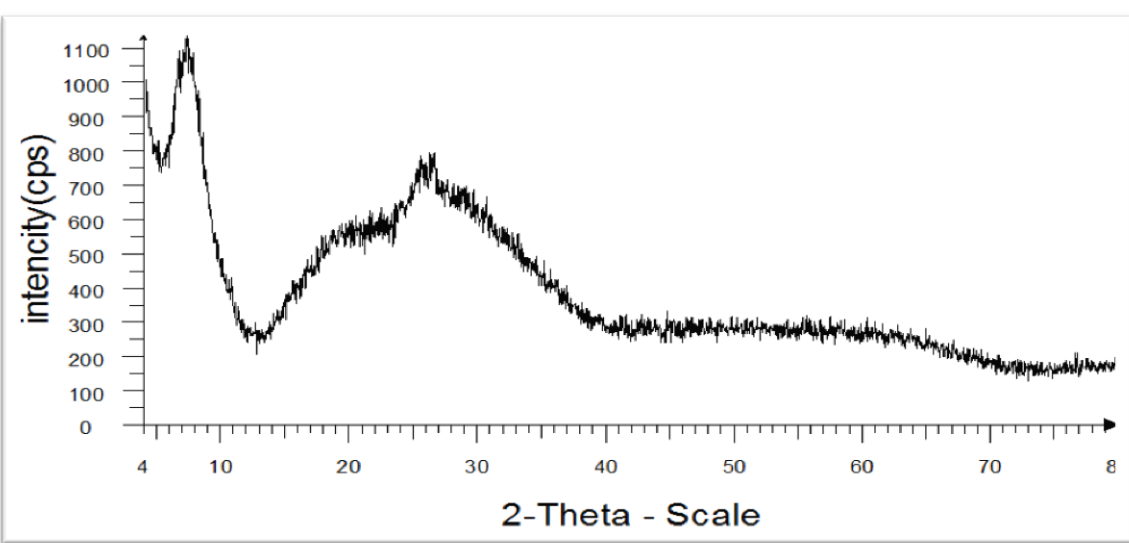


شكل ١٢-٣: آنالیز EDX کاتالیزگر ناهمگن HPV₂Mo-PANI

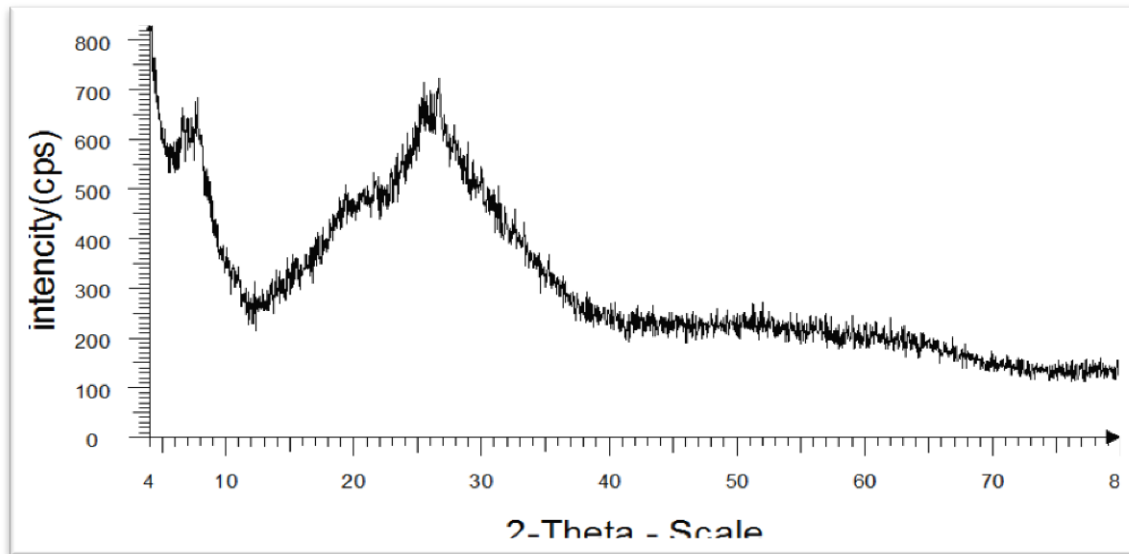


شکل ۱۳-۳: آنالیز EDX کاتالیزگر ناهمگن HPV₂W-PANI

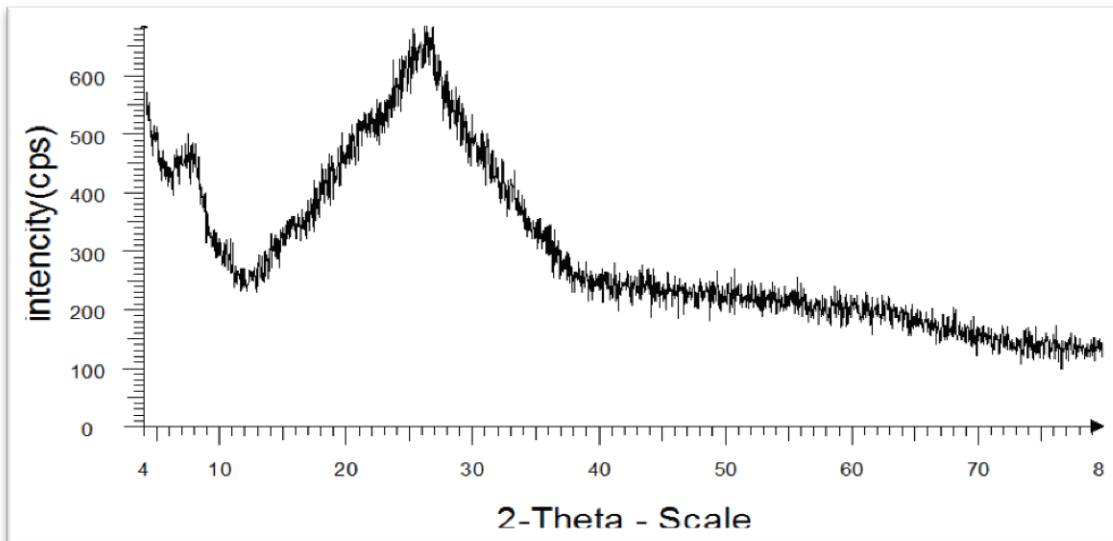
شکل‌های ۱۴-۳ تا ۱۶-۳ نیز آنالیز XRD سه کاتالیزگرناهمگن تهیّه شده را نشان می‌دهد. آنالیز XRD ترکیبات بلوری پیک‌های تیزی می‌دهد ولی در اینجا، پیک‌های پهنه‌ی مشاهده می‌شود که نشان دهنده‌ی ساختار آمورف می‌باشد، این را می‌توان به پخش یکنواخت ذرات هتروپلی بر روی بستر آمورف پلی‌آنیلین نسبت داد.



شکل ۱۴-۳: آنالیز XRD کاتالیزگر ناهمگن HPV₂W-PANI



شکل ۱۵-۳: آنالیز XRD کاتالیزگر ناهمگن HPVMo-PANI



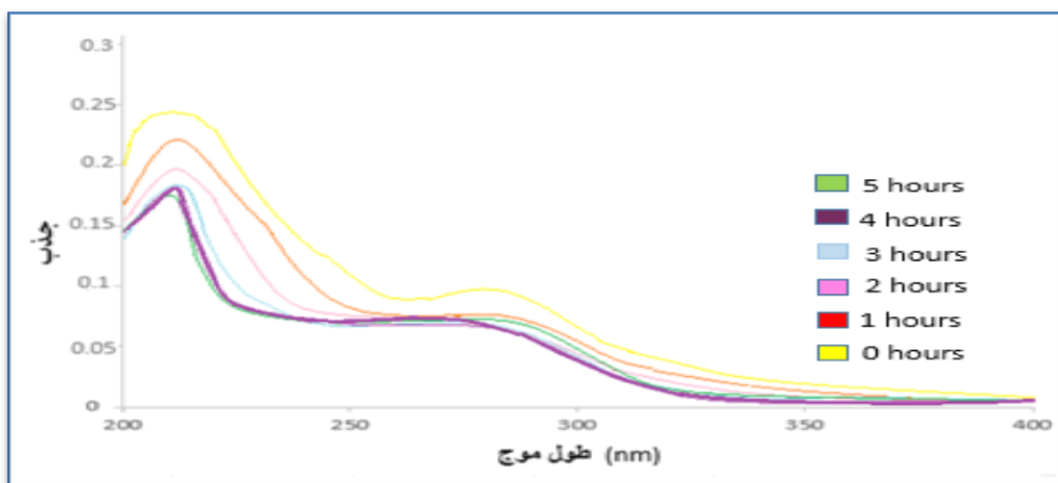
شکل ۱۶-۳: آنالیز XRD کاتالیزگر ناهمگن HPV₂Mo-PANI

۳-۱-۳ بررسی جذب هتروپلی اسیدهای تهییه شده بر روی بستر نانو فیبر پلی آنیلین به روش UV-Vis

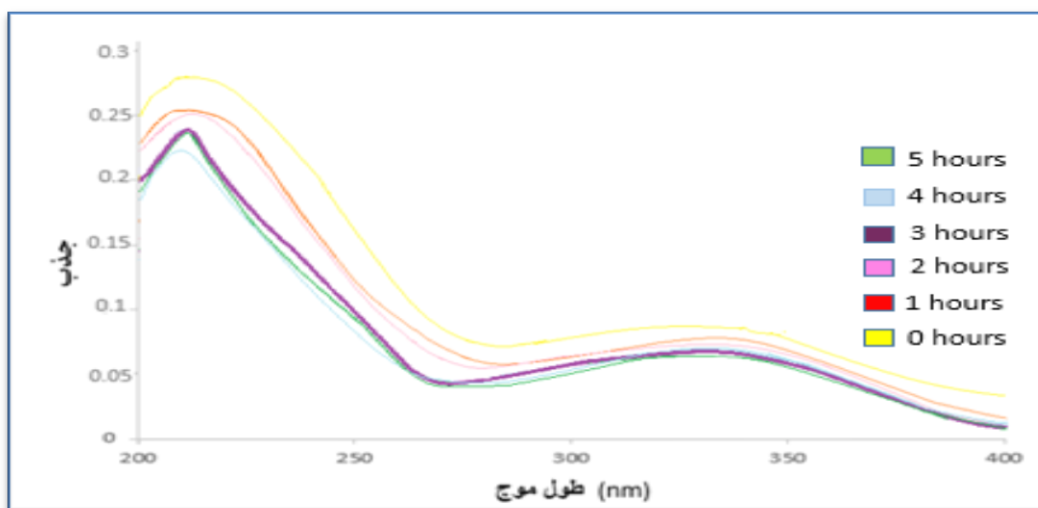
در طیف UV-Vis تمامی پلی اکسومتال‌ها در ناحیه ۴۰۰-۲۰۰ نانو متر، دو نوار مربوط به

انتقالات الکترونی لیگاند به فلز LMCT مشاهده می‌شود که نوار اول مربوط به انتقال الکترونی از

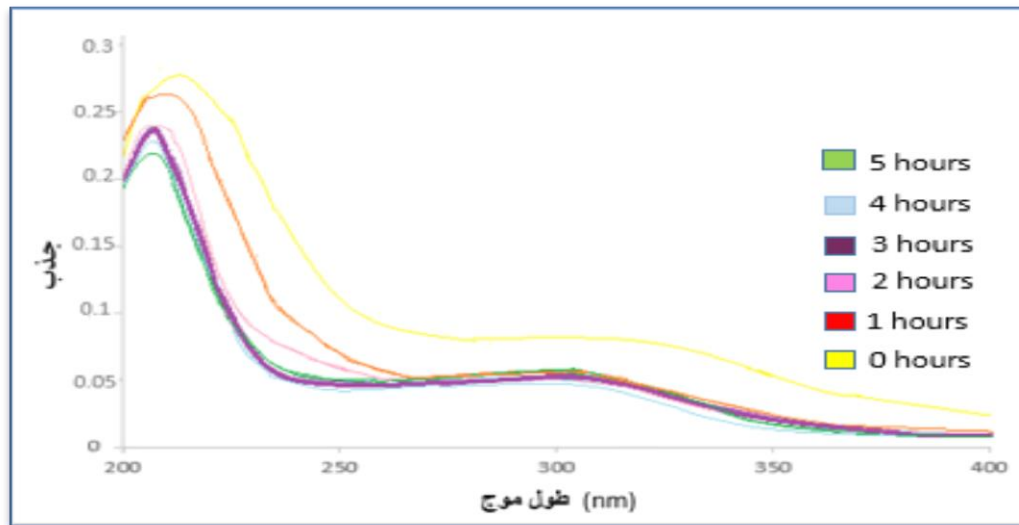
اکسیژن انتهایی به فلز مرکزی مربوط می‌شود و نوار دوم به انتقال الکترون از اکسیژن پل‌ساز به فلز مرکزی می‌باشد. محلول‌های مورد نظر به منظور بررسی میزان جذب هتروپلی اسیدها بر روی بستر پلی‌آنیلین، مطابق با آنچه در بخش ۲-۵-۱-۲ ذکر شد؛ تهیه شد و با طیف‌سنجی UV-Vis مورد بررسی قرار گرفت. نتایج این بررسی‌ها در شکل‌های ۱۷-۳ تا ۱۹ آورده شده است.



شکل ۳: طیف UV-Vis محلول ۲/۵ مولار هتروپلی اسید HPV₂W-PANI بر روی بستر پلی‌آنیلین

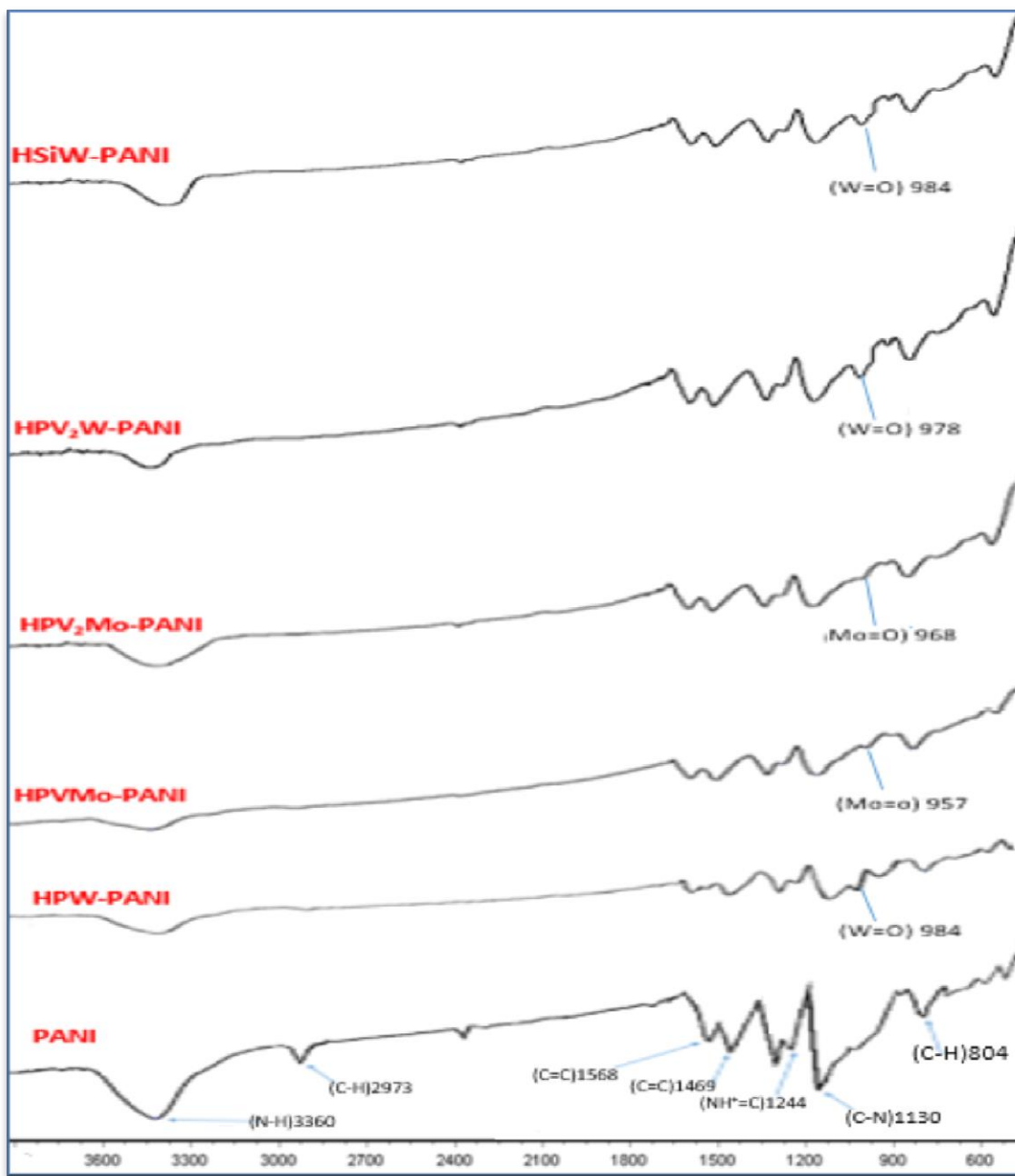


شکل ۳: طیف UV-Vis محلول ۲/۵ مولار هتروپلی اسید HPVMO-PANI بر روی بستر پلی‌آنیلین



شکل ۳-۱۹: طیف UV-Vis محلول ۲/۵ مولار هتروپلی اسید $\text{HPV}_2\text{Mo-PANI}$ بر روی بستر پلی آنیلین

با توجه به نتایج حاصل، دو هتروپلی اسید $\text{H}_4[\text{PMo}_{11}\text{VO}_{40}]$ و $\text{H}_5[\text{PMo}_{10}\text{V}_2\text{O}_{40}]$ در مدت زمان ۳ ساعت و هتروپلی اسید $\text{H}_5[\text{PW}_{10}\text{V}_2\text{O}_{40}]$ در مدت زمان ۴ ساعت بیشترین میزان جذب را بر روی بستر نانو الیاف پلی آنیلین از خود نشان دادند. بنابراین برای تهییه کاتالیزگرهای HPV₂W-PANI و HPV₂Mo-PANI، HPVMo-PANI مدت ۳ و ۴ ساعت رفلاکس شدند. مقایسه طیف FT-IR کاتالیزگرهای تهییه شده با بستر پلی آنیلین نیز خود تأییدی بر قرار گرفتن هتروپلی اسیدها بر روی بستر پلی آنیلین می باشد. طیف FT-IR پلی آنیلین و کاتالیزگرهای ناهمگن تهییه شده در شکل ۳-۲۰ داده شده است. همان طور که قبل ذکر شد، قله های در نواحی $1100-800 \text{ cm}^{-1}$ تأیید کننده حضور هتروپلی اسید می باشند اما از آنجا که پلی آنیلین در این نواحی، خود پیک دارد تفسیر کمی مشکل می شود؛ با کمی دقیقتر در این نواحی می توان برای هتروپلی اسیدها قله های را یافت که در طیف پلی آنیلین متمایز است که مربوط به پیوند فلز-اکسو می باشد.



شکل ۲۰-۳: طیف FT-IR کاتالیزگرهای ناهمگن تهیّه شده

۳-۱-۴ شناسایی کاتالیزگرهای تهیّه شده و بررسی پایداری حرارتی آن‌ها

- پس از تهیّه کاتالیزگرهای ناهمگن به روش شرح داده شده در بخش‌های ۴-۱-۲ و ۴-۱-۲

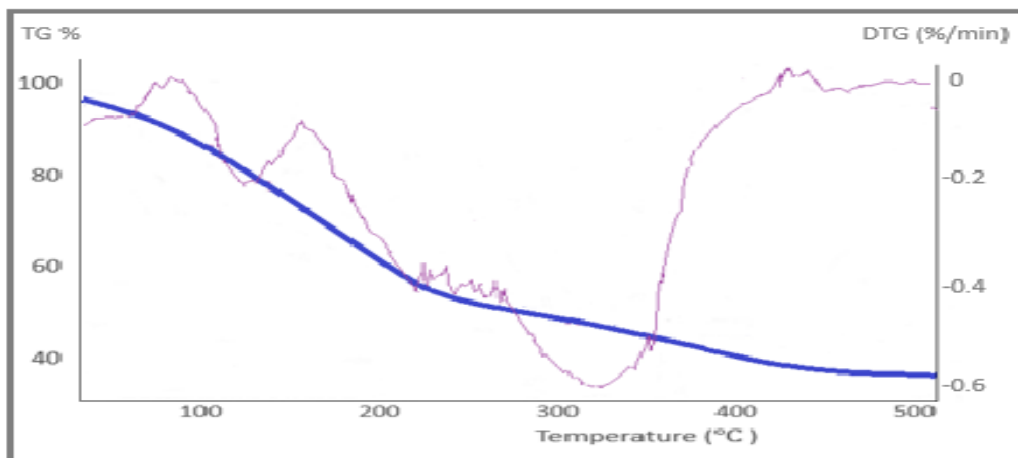
- ۵، مقدار هتروپلی اسیدهای جذب شده بر روی بستر با به کارگیری آنالیزهای ICP اندازه‌گیری شد. با

توجه به نتایج حاصل، مقدار فلز مولیبدن برای کاتالیزگرهای HPV₂Mo-PANI و HPVMo-PANI

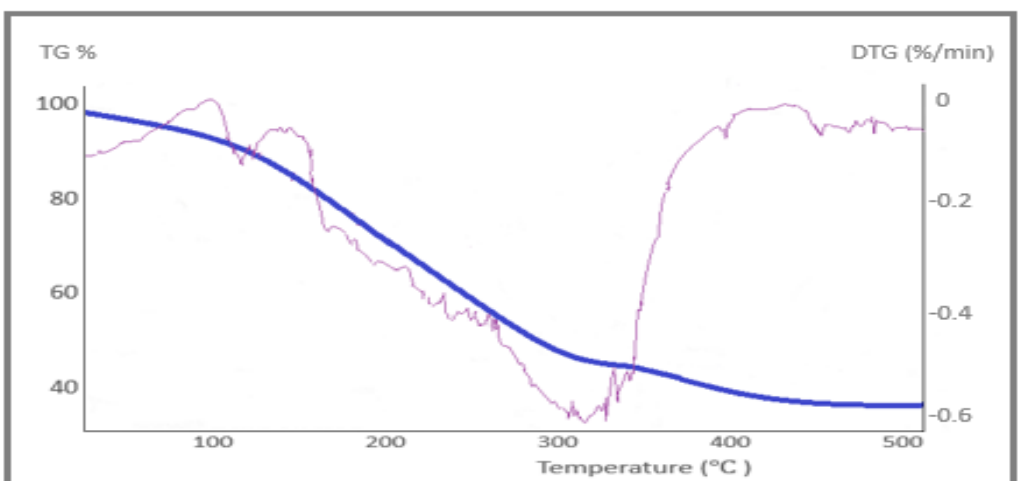
به ترتیب ۰/۲۵ و ۰/۲۸ میلیمول بر گرم و برای کاتالیزگر HPV₂W-PANI مقدار فلز تنگستن

۰/۲۴ میلیمول بر گرم به دست آمد.

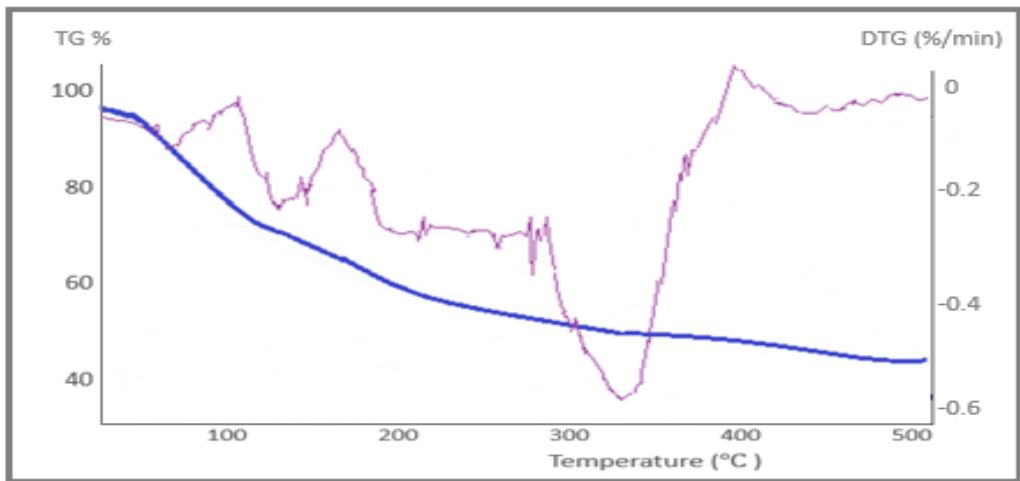
برای بررسی پایداری حرارتی کاتالیزگرهای ناهمگن تهیه شده HPV₂Mo-PANI، HPV₂W-PANI و HPV₂Mo-PANI از آنالیز حرارتی TG-DTG در اتمسفر هوا استفاده شد که نتایج حاصل از آن درشکل‌های ۲۱-۳، ۲۲-۳ و ۲۳-۳ نشان داده شده است.



شکل ۲۱-۳: آنالیز حرارتی TG-DTG کاتالیزگر ناهمگن HPV₂Mo-PANI



شکل ۲۲-۳: آنالیز حرارتی TG-DTG کاتالیزگر ناهمگن HPV₂W-PANI

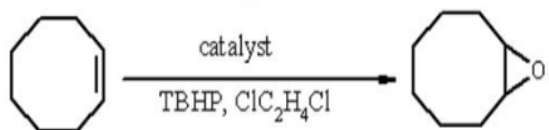


شکل ۳-۲۳: آنالیز حرارتی TG-DTG کاتالیزگر ناهمگن HPV₂W-PANI

در هر سه نمودار، پیک اول در دمای حدود ۱۰۰ درجهی سانتیگراد، به احتمال زیاد مربوط به تبخیر آب‌های جذب شدهی هتروپلی اسیدها به صورت سطحی می‌شود، پیک دوّم در دمای ۱۵۰-۲۵۰ درجهی سانتیگراد، نیز احتمالاً مربوط به خروج آب یا حللاهای به دام افتاده در شبکهی پلیمر می‌شود.

۲-۳ بررسی کارایی کاتالیزگرهای ناهمگن HPV₂Mo-PANI، HPV₂Mo-PANI و HPV₂-PANI در واکنش اپوکسایش آلکن‌ها

عملکرد کاتالیزگرهای ناهمگن تهییه شده در واکنش اپوکسایش آلکن‌ها مورد ارزیابی قرار گرفت. در این واکنش که نمونه‌ی آن در شکل ۲۴-۳ نشان داده شده است سیکلواکتن به عنوان آلکن پایه استفاده شده است. به منظور انجام این واکنش در بهترین شرایط ممکن، پارامترهای گوناگونی مانند نوع حلال و اکسنده، زمان و دمای واکنش، مقدارهای اکسنده، حلال و کاتالیزگر و قابلیت بازیابی کاتالیزگر به منظور استفاده‌ی مجدد آن، مورد بررسی قرار گرفت و مقادیر آن‌ها بهینه شد که در ادامه مورد بحث قرار خواهد گرفت.



شکل ۳-۲۴: نمونه‌ای از واکنش اپوکسایش آلکن با کاتالیزگرهای ناهمگن تهیّه شده.

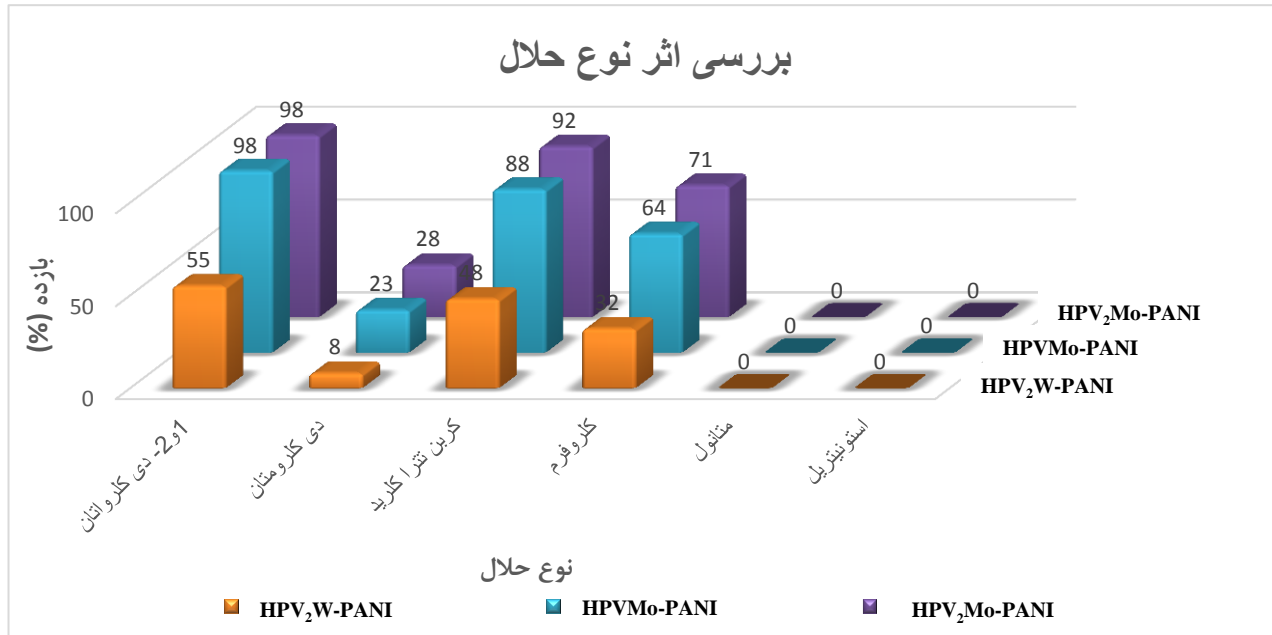
۱-۲-۳ بررسی اثر نوع حلال

به منظور بررسی این پارامتر، واکنش اپوکسایش سیکلواآکتن بر پایه‌ی روش گفته شده در بخش ۱-۶-۱ انجام شد. نتایج به دست آمده از این بررسی برای هر سه کاتالیزگر تهیّه شده در جدول ۱-۳ و شکل ۲۵-۳ آورده شده است.

با توجه به نتایج به دست آمده می‌توان گفت که حلال‌های قطبی مانند متانول و استونیتریل بازدهی پایینی دارند. در حالی که حلال‌های کلردار (غیر قطبی) مانند ۱-۲-دی‌کلرواتان و یا تتراکلریدکربن بازدهی بالاتری دارند. بیشترین بازده برای حلال غیرقطبی ۱-۲-دی‌کلرواتان به دست آمد. در توجیه این امر می‌توان گفت حلال‌های با قدرت کوئوردینه‌کنندگی بالا به جهت ایجاد پیوند قوی با فلز مرکزی مانع از اتصال واکنشگرها به آن‌ها می‌شوند و مانع از پیشرفت واکنش می‌شوند. بنابرین برای این دسته از واکنش‌ها، حلال‌هایی مانند حلال‌های هیدروکربنی کلردار که قدرت کوئوردینه‌کنندگی پایینی دارند بهترین گزینه محسوب می‌شوند.

جدول ۱-۳: نتایج حاصل از بررسی اثر نوع حلال در اپوکسایش آلکن با کاتالیزگرهای ناهمگن تهیه شده، (واکنش، حاوی مخلوط ۲۰ میلی گرم کاتالیزگر، ۰/۴ میلی لیتر اکسندهی TBHP، ۱ میلی لیتر حلال، در مدت زمان ۳ و ۴ ساعت به ترتیب برای کاتالیزگرهای بر پایه‌ی مولیبدن و تنگستن، در دمای نقطه‌ی جوش هر حلال و در شرایط رفلaks، انجام شد).

اکسنده	حال	بازده٪		
		HPVMo-PANI	HPV ₂ MoPANI	HPV ₂ W-PANI
TBHP	۰-۲ دی‌کلرواتان	۹۸	۹۸	۵۵
TBHP	دی‌کلرومتان	۲۳	۲۸	۸
TBHP	کربن‌تتراکلرید	۸۸	۹۲	۴۸
TBHP	کلروفرم	۶۴	۷۱	۳۲
TBHP	متانول	۰	۰	۰
TBHP	استونیتریل	۰	۰	۰



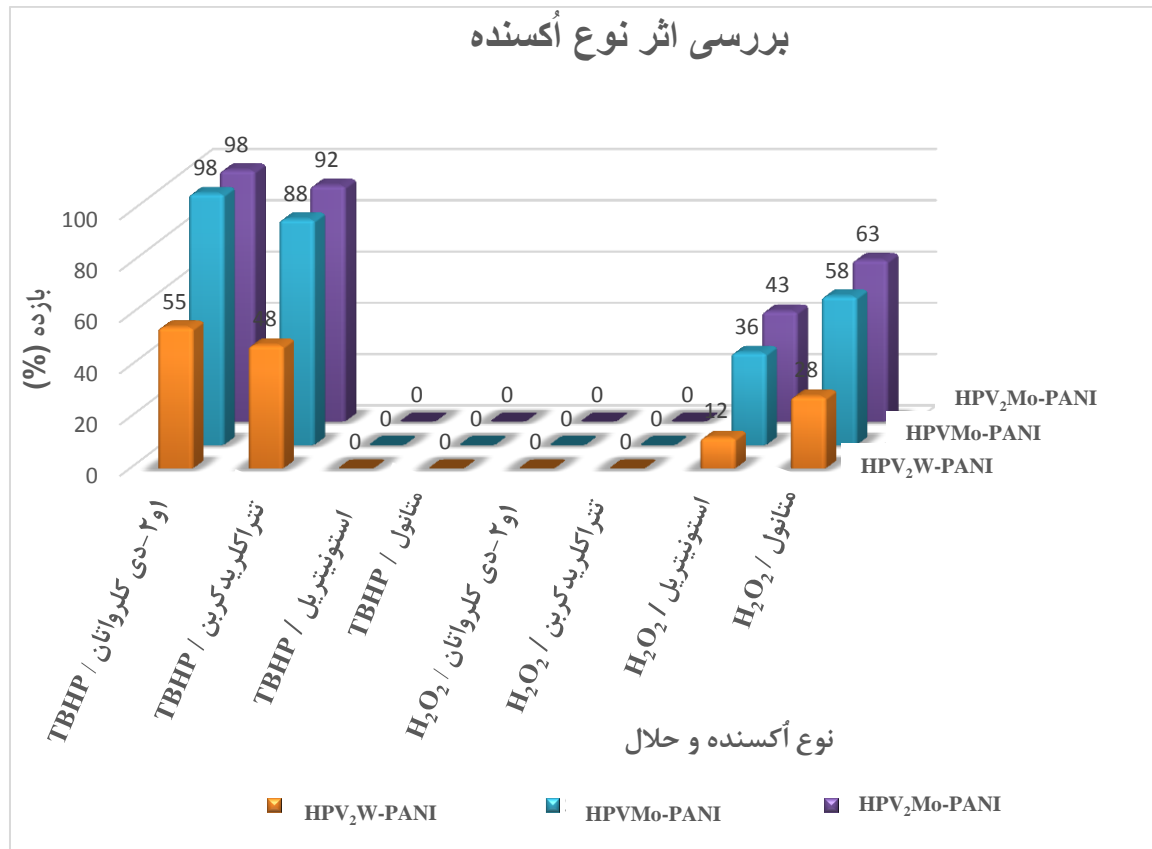
شکل ۳-۲۵: نمودار نتایج حاصل از بررسی اثر نوع حلال در اپوکسایش آلکن با کاتالیزگرهای ناهمگن تهیه شده، (واکنش، حاوی مخلوط ۲۰ میلی گرم کاتالیزگر، ۰/۴ میلی لیتر اکسندهی TBHP، ۱ میلی لیتر حلال، در مدت زمان ۳ و ۴ ساعت به ترتیب برای کاتالیزگرهای بر پایه‌ی مولیبدن و تنگستن، در دمای نقطه‌ی جوش هر حلال و در شرایط رفلaks، انجام شد).

۲-۲-۳ بررسی اثر نوع آکسنده

در این قسمت، نتایج حاصل از بررسی اثر دو آکسنده‌ی هیدروژن‌پراکسید و TBHP با چهار حلال ۱و۲- دی‌کلرواتان، دی‌کلرومتان، متانول، استونیتریل، کلروفرم و کربن‌تتراکلرید برای کاتالیزگرهای HPV₂Mo-PANI، HPV₂W-PANI و شکل ۲-۳ در جدول ۲۶-۳ و شکل ۲-۳ نشان‌داده شده‌است. همان‌طور که از داده‌های جدول مشخص است آکسنده‌ی هیدروژن‌پراکسید نسبت به TBHP بازدهی پایین‌تری دارد بنابراین آکسنده‌ی TBHP برای هر سه کاتالیزگر در حلال ۱و۲-دی‌کلرواتان با بیشترین بازده به عنوان بهترین آکسنده انتخاب و در مراحل بعد به کار گرفته شد.

جدول ۲-۳: نتایج حاصل از بررسی اثر نوع آکسنده در اپوکسایش آلکن با کاتالیزگرهای ناهمگن تهییه شده، (واکنش، حاوی مخلوط ۲۰ میلی‌گرم کاتالیزگر، ۰/۴ میلی‌لیتر آکسنده، ۱ میلی‌لیتر حلال، در مدت زمان ۳ و ۴ ساعت به ترتیب برای کاتالیزگرهای بر پایه‌ی مولیبدن و تنگستن، در دمای نقطه‌ی جوش هر حلال و در شرایط رفلакс، انجام شد).

آکسنده	حال	بازده %		
		HPVMo-PANI	HPV ₂ Mo-PANI	HPV ₂ W-PANI
TBHP	۱و۲- دی‌کلرواتان	۹۸	۹۸	۵۵
TBHP	تتراکلریدکربن	۸۸	۹۲	۴۸
TBHP	استونیتریل	۰	۰	۰
TBHP	متانول	۰	۰	۰
H ₂ O ₂	۱و۲- دی‌کلرواتان	۰	۰	۰
H ₂ O ₂	تتراکلریدکربن	۰	۰	۰
H ₂ O ₂	استونیتریل	۳۶	۴۳	۱۲
H ₂ O ₂	متانول	۵۸	۶۳	۲۸



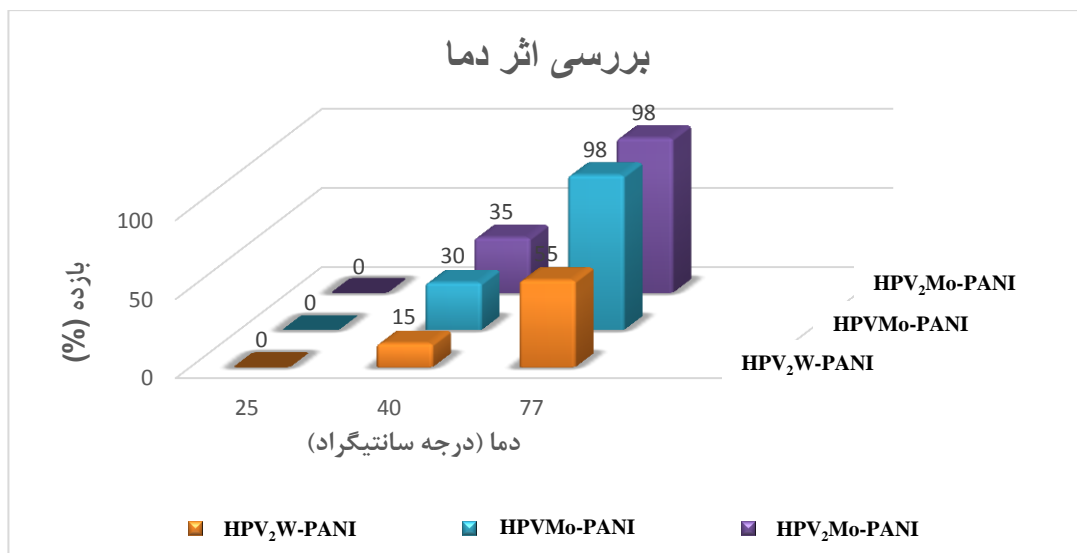
شکل ۳-۲۶: نمودار نتایج حاصل از بررسی اثر نوع اکسنده در اپوکسایش آلکن با کاتالیزگرهای ناهمگن تهیه شده، (واکنش، حاوی ۲۰ میلی گرم کاتالیزگر، ۰/۴ میلی لیتر اکسنده، ۱ میلی لیتر حلal، در مدت زمان ۳ و ۴ ساعت به ترتیب برای کاتالیزگرهای بر پایهی مولیبدن و تنگستن، در دمای نقطهی جوش هر حلal و در شرایط رفلaks، انجام شد).

۳-۲-۳ بررسی اثر دما

در این بخش اثر دما بر پایهی شیوهی گزارش شده در بخش ۳-۱-۲ در دماهای محیط، ۴۵ درجهی سانتیگراد و دمای جوش حلal بهینه (۸۴ درجهی سانتیگراد) بررسی شد که نتایج آنها برای هر سه کاتالیزگر در جدول ۳-۳ و شکل ۲۷-۳ نشان داده شده است. با توجه به نتایج حاصل ، با افزایش دما بازدهی واکنش افزایش یافته و در دمای ۸۴ درجهی سانتیگراد (شرایط رفلaks) برای هر سه کاتالیزگر، بیشترین بازدهی ممکن، حاصل شده و به همین جهت به عنوان دمای رفلaks انتخاب شد.

جدول ۳-۳: نتایج حاصل از بررسی اثر دما در اپوکسایش آلکن با کاتالیزگرهای ناهمنگ تهیه شده، (واکنش، حاوی مخلوط ۲۰ میلی گرم کاتالیزگر، ۰/۴ میلی لیتر اکسندهی TBHP، ۱ میلی لیتر حلal ۱۰-۲-دی کلرواتان، در مدت زمان ۳ و ۴ ساعت به ترتیب برای کاتالیزگرهای بر پایه مولیبدن و تنگستن و در شرایط رفلaks، انجام شد).

دما	بازده٪		
	HPVMo-PANI	HPV ₂ Mo-PANI	HPV ₂ W-PANI
دماهی محیط	۰	۰	۰
۴۵	۳۰	۳۸	۱۵
۸۴	۹۸	۹۸	۵۵



شکل ۳-۲۷: نمودار نتایج حاصل از بررسی اثر دما در اپوکسایش آلکن با کاتالیزگرهای ناهمنگ تهیه شده، (واکنش، حاوی مخلوط ۲۰ میلی گرم کاتالیزگر، ۰/۴ میلی لیتر اکسندهی TBHP، ۱ میلی لیتر حلal ۱۰-۲-دی کلرواتان، در مدت زمان ۳ و ۴ ساعت به ترتیب برای کاتالیزگرهای بر پایه مولیبدن و تنگستن و در شرایط رفلaks، انجام شد).

۳-۴-۲-۳ بررسی اثر مقدار اکسنده

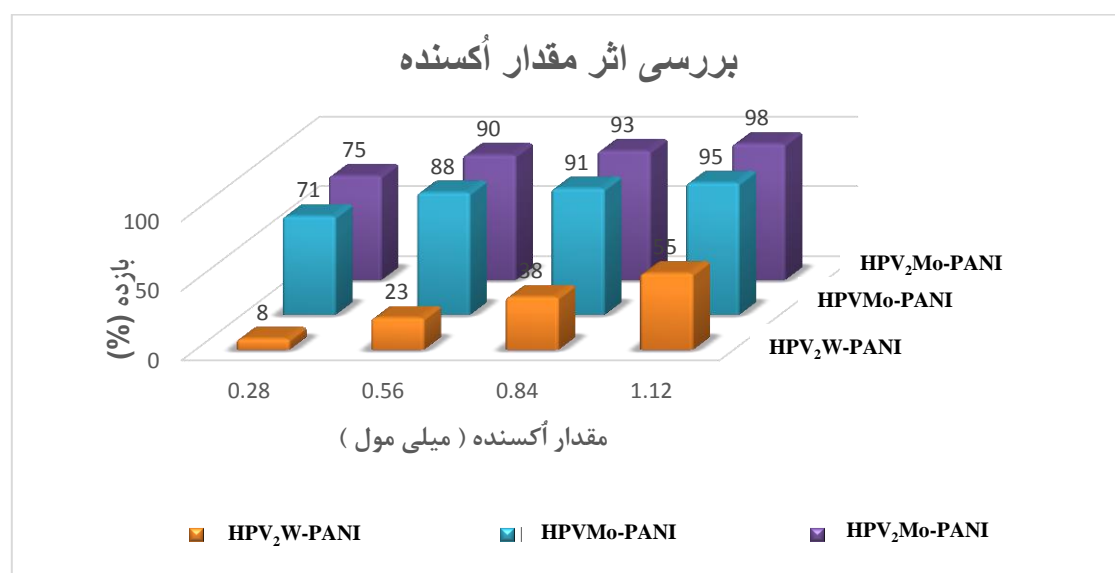
بررسی پارامتر اثر مقدار اکسنده در واکنش نیز بر پایه شیوه گزارش شده در بخش ۲-۱-

۶-۴ انجام شد. نتایج حاصل از این بررسی در جدول ۳-۴ و شکل ۲۸-۳ ثبت شد. نتایج گویای آن است که با افزایش مقدار اکسنده، بازدهی واکنش افزایش یافته و در مقدار ۰/۴ میلی لیتر از اکسندهی

ترشیوبوتیل‌هیدروژن‌پراکسید بیشترین بازدهی اپوکسایش ممکن، مشاهده می‌شود. در نتیجه این مقدار به عنوان مقدار بهینه برای هر سه کاتالیزگر انتخاب شد.

جدول ۳-۴: نتایج حاصل از بررسی اثر مقدار اکسنده در اپوکسایش آلان با کاتالیزگرهای ناهمگن تهیه شده، (واکنش، حاوی مخلوط ۲۰ میلی‌گرم کاتالیزگر، ۰/۴ میلی‌لیتر اکسندهی TBHP، ۱ میلی‌لیتر حلal ۱۰-۲-دی کلرواتان، در مدت زمان ۳ و ۴ ساعت به ترتیب برای کاتالیزگرهای بر پایه‌ی مولیبدن و تنگستن، در دمای نقطه‌ی جوش حلال بهینه و در شرایط رفلaks، انجام شد).

مقدار اکسنده	بازده٪		
	HPVMo-PANI	HPV ₂ Mo-PANI	HPV ₂ W-PANI
۰/۱	۷۱	۷۵	۸
۰/۲	۸۸	۹۱	۲۲
۰/۳	۹۱	۹۳	۳۵
۰/۴	۹۵	۹۸	۵۵



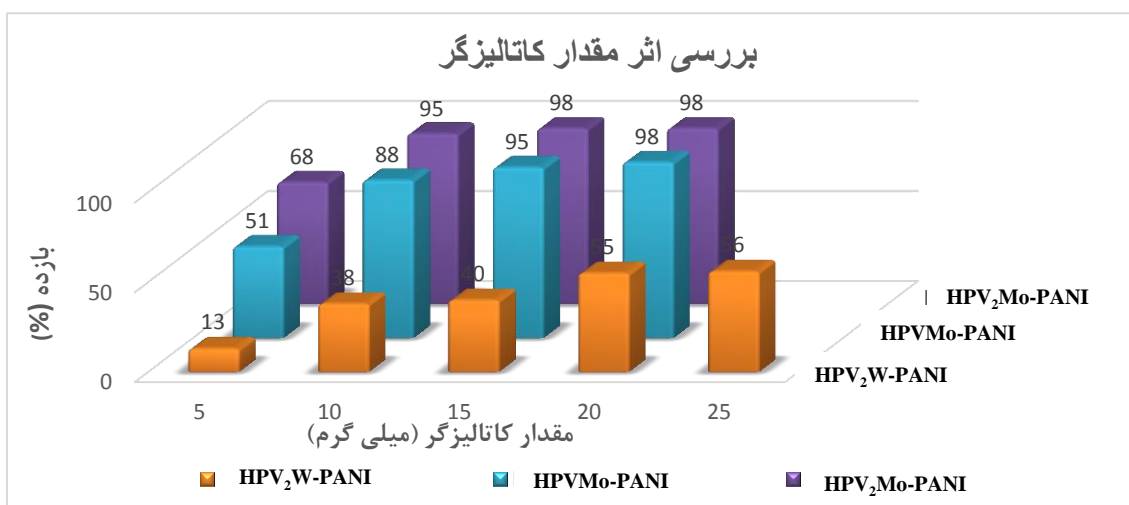
شکل ۳-۲۸: نمودار نتایج حاصل از بررسی اثر مقدار اکسنده در اپوکسایش آلان با کاتالیزگرهای ناهمگن تهیه شده، (واکنش، حاوی مخلوط ۲۰ میلی‌گرم کاتالیزگر، ۰/۴ میلی‌لیتر اکسندهی TBHP، ۱ میلی‌لیتر حلal ۱۰-۲-دی کلرواتان، در مدت زمان ۳ و ۴ ساعت به ترتیب برای کاتالیزگرهای بر پایه‌ی مولیبدن و تنگستن، در دمای نقطه‌ی جوش حلال بهینه و در شرایط رفلaks، انجام شد).

۳-۲-۵ بررسی اثر مقدار کاتالیزگر

برای بررسی اثر این پارامتر، واکنش اپوکسایش سیکلواکتن در حلال ۱ و ۲-دی‌کلرواتان و مقادیر گوناگون از کاتالیزگرهای ناهمگن تهیه شده بر پایه‌ی روش‌های مذکور در بخش ۲-۶-۱-۲ انجام شد. نتایج حاصل از پیشرفت این واکنش که توسط دستگاه کروماتوگرافی دنبال شد در جدول ۳-۵ و شکل ۲۹-۳ برای کاتالیزگرهای تهیه شده آورده شده‌است. نتایج حاکی از آن است که بدون حضور کاتالیزگرهای تهیه شده پیشرفت واکنش ناچیز بوده زیرا حضور فلز مرکزی با اوربیتال خالی جهت فعال نمودن اکسنده الزامی است. به علاوه این داده‌ها به خوبی نشان می‌دهند که افزایش مقدار کاتالیزگر از ۵ تا ۲۰ میلی‌گرم بازدهی واکنش را افزایش می‌دهد و بعد از آن ثابت باقی می‌ماند.

جدول ۳-۵: نتایج حاصل از بررسی اثر مقدار کاتالیزگر در اپوکسایش آلان با کاتالیزگرهای ناهمگن تهیه شده، (واکنش، حاوی $0.4\text{ میلی‌لیتر اکسنده‌ی TBHP}$ ، $1\text{ میلی‌لیتر حلال ۱ و ۲-دی‌کلرواتان}$ ، در مدت زمان $3\text{ و }4\text{ ساعت}$ به ترتیب برای کاتالیزگرهای بر پایه‌ی مولیبدن و تنگستن، در دمای نقطه‌ی جوش حلal بهینه و در شرایط رفلکس، انجام شد).

مقدار کاتالیزگر (میلی‌گرم)	بازدید٪		
	HPVMo-PANI	HPV ₂ Mo-PANI	HPV ₂ W-PANI
۵	۵۱	۶۸	۱۳
۱۰	۸۸	۹۵	۳۸
۱۵	۹۵	۹۸	۴۰
۲۰	۹۸	۹۸	۵۵
۲۵	-	-	۵۵



شکل ۲۹-۳: نمودار نتایج حاصل از بررسی اثر مقدار کاتالیزگر در اپوکسایش آلكن با کاتالیزگرهای ناهمنگ تهیّه شده، (واکنش، حاوی مخلوط $4/0$ میلی لیتر اکسندهی TBHP، ۱ میلی لیتر حلal ۱۰-۲ دی کلرواتان، در مدت زمان ۳ و ۴ ساعت به ترتیب برای کاتالیزگرهای بر پایه‌ی مولیبدن و تنگستن، در دمای نقطه‌ی جوش حلal بهینه و در شرایط رفلaksن، انجام شد).

۲-۶-۳ بررسی اثر زمان

اثر زمان در واکنش اپوکسایش سیکلواکتن بر اساس روش ذکر شده در بخش ۱-۲

بررسی شد و نتایج حاصل از آن در جدول ۳-۶ و شکل ۳-۰ برای هر سه کاتالیزگر آورده شده است.

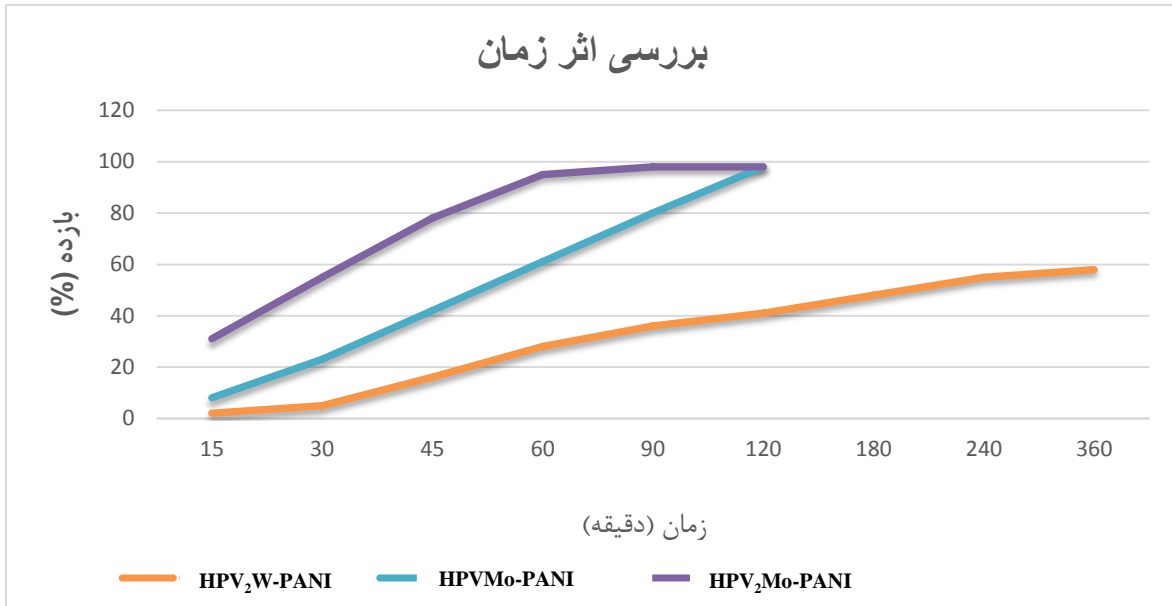
بازدهی واکنش برای کاتالیزگر HPV₂Mo-PANI در مدت زمان ۱ ساعت، برای کاتالیزگر-HPVMo-

PANI در مدت زمان ۲ ساعت و برای کاتالیزگر HPV₂W-PANI در زمان ۴ ساعت، به بیشترین

مقدار خود رسیده و واکنش تقریباً به طور کامل انجام شده است.

جدول ۳-۶: نتایج حاصل از بررسی اثر زمان در اپوکسایش آلن با کاتالیزگرهای ناهمگن تهیّه شده، (واکنش، حاوی مخلوط ۱۰، ۱۵ و ۲۰ میلی‌گرم بهتریب برای کاتالیزگرهای HPV₂Mo-PANI، HPV₂W-PANI و HPVMo-PANI، مقدار ۰/۵ میلی‌مول سیکلواکتن، ۰/۴ میلی‌لیتر اکسندهی TBHP، ۱ میلی‌لیتر حلal ۱۰-دی کلرواتان، در دمای نقطه‌ی جوش حلال بهینه و در شرایط رفلaksن، انجام شد).

زمان (دقیقه)	بازدگی %		
	HPV ₂ W-PANI	HPV ₂ Mo-PANI	HPVMo-PANI
۱۵	-	۳۱	۸
۳۰	۵	۵۵	۲۳
۴۵	-	۷۸	۴۲
۶۰	۲۸	۹۵	۶۱
۹۰	-	۹۸	۸۰
۱۲۰	۴۱	۹۸	۹۸
۱۸۰	۴۸	-	-
۲۴۰	۵۵	-	-
۳۶۰	۵۸	-	-



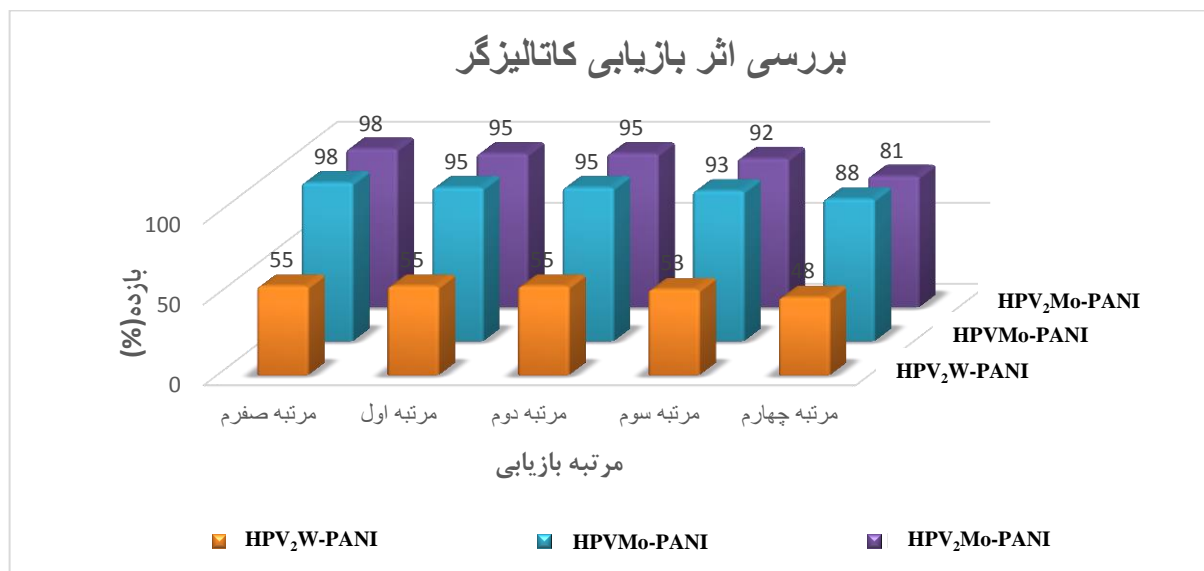
شکل ۳-۳: نمودار نتایج حاصل از بررسی اثر زمان در اپوکسایش آلکن با کاتالیزگرهای ناهمگن تهیه شده، (واکنش حاوی مخلوط ۱۵ و ۲۰ میلی گرم به ترتیب برای کاتالیزگرهای HPV₂Mo-PANI، HPV₂W-PANI و HPVMo-PANI، مقدار ۰/۵ میلی مول سیکلواکتن، ۰/۴ میلی لیتر اکستندهی TBHP، ۱ میلی لیتر حلal ۱۹۲-دی کلرواتان، در دمای نقطه‌ی جوش حلال بهینه و در شرایط رفلaks، انجام شد).

۷-۲-۳ بررسی بازیابی سه کاتالیزگر در واکنش اپوکسایش سیکلواکتن

به منظور بررسی بازیابی کاتالیزگرهای تهیه شده، واکنش اپوکسایش سیکلواکتن در حلal ۱۹۲-دی کلرو اتان بر پایه‌ی روش گفته شده در بخش ۶-۱-۷ انجام شد. نتایج به دست آمده برای کاتالیزگرهای تهیه شده در جدول ۳-۷ و شکل ۳-۳ ثبت شد. نتایج حاصل از این بررسی نشان داد که این کاتالیزگرها پس از سه بار به کارگیری پی در پی حدوداً کارایی کاتالیزوری خود را مانند شکل اولیه حفظ کرده‌اند که این نکته کارایی بالای کاتالیزورهای تهیه شده را به خوبی نشان می‌دهد.

جدول ۳-۷: نتایج حاصل از بررسی اثر کاتالیزگر بازیابی شده در اپوکسایش آلکن با کاتالیزگرهای ناهمگن تهیه شده، (واکنش، حاوی مخلوط ۱۰، ۱۵ و ۲۰ میلی گرم بهترتیب برای کاتالیزگرهای HPV₂Mo-PANI .HPV₂Mo-PANI و HPV₂W-PANI و HPV₂W-PANI ، مقدار ۰/۵ میلی مول سیکلواکتن، ۰/۴ میلی لیتر اکسندهی TBHP، ۱ میلی لیتر حلal ۱و ۲-دی کلرواتان، در دمای نقطه‌ی جوش حلal بهینه و در شرایط رفلaksن، انجام شد).

مرتبه‌ی بازیابی	بازدگی %		
	HPVMo-PANI	HPV ₂ Mo-PANI	HPV ₂ W-PANI
صفر	۹۸	۹۸	۵۵
اول	۹۸	۹۸	۵۵
دوم	۹۵	۹۵	۵۳
سوم	۹۲	۹۳	۵۲
چهارم	۸۰	۸۱	۴۵



شکل ۳-۳: نمودار نتایج حاصل از بررسی اثر کاتالیزگر بازیابی شده در اپوکسایش آلکن با کاتالیزگرهای ناهمگن تهیه شده، (واکنش، حاوی مخلوط ۱۰، ۱۵ و ۲۰ میلی گرم بهترتیب برای کاتالیزگرهای HPV₂Mo-PANI .HPV₂Mo-PANI و HPV₂W-PANI و HPV₂W-PANI ، مقدار ۰/۵ میلی مول سیکلواکتن، ۰/۴ میلی لیتر اکسندهی TBHP، ۱ میلی لیتر حلal ۱و ۲-دی کلرواتان، در دمای نقطه‌ی جوش حلal بهینه و در شرایط رفلaksن، انجام شد).

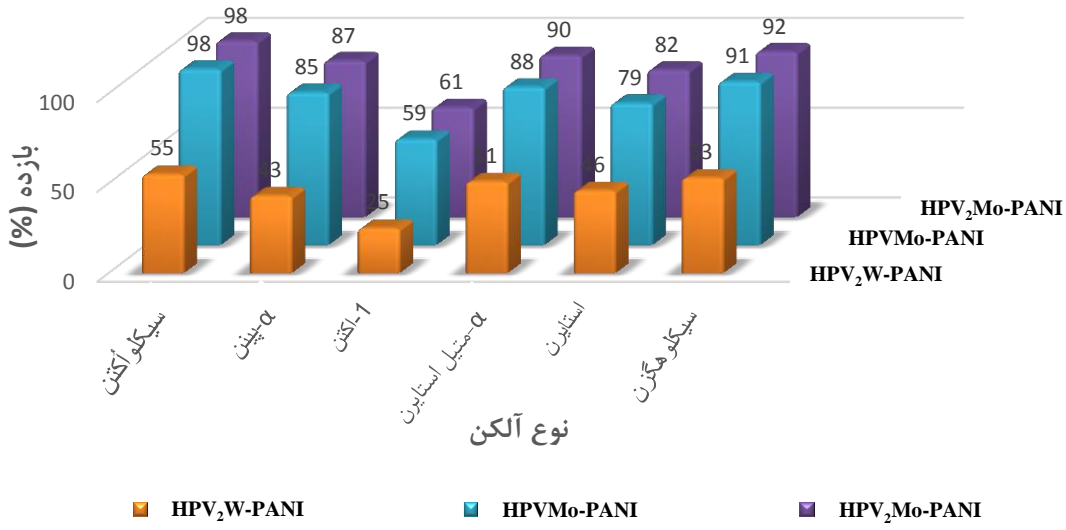
۸-۲-۳ بروزی اپوکسایش دیگر آلکن‌ها با کاتالیزگرهای ناهمگن $\text{HPV}_2\text{W-PANI}$ و $\text{HPV}_2\text{Mo-PANI}$ و HPVMo-PANI

برای انجام این فرآیند، آلکن‌های مختلف برای واکنش اپوکسایش بر پایه‌ی روش ذکر شده در بخش ۸-۱-۶ و شرایط بهینه‌ی آزمایش‌های قبل صورت گرفت. در همه‌ی واکنش‌ها، مقادیر ۰/۵ میلی‌مول آلکن، ۰/۴ میلی‌لیتر اکسنده‌ی ترشیوبوتیل‌هیدروژن‌پراکسید و ۱ میلی‌لیتر حلال ۱۰-دی-کلرواتان، به همراه مقدار ۱۰ میلی‌گرم از کاتالیزگر ناهمگن $\text{HPV}_2\text{Mo-PANI}$ در مدت ۱ ساعت، مقدار ۱۵ میلی‌گرم از کاتالیزگر ناهمگن HPVMo-PANI در مدت ۲ ساعت و مقدار ۲۰ میلی‌گرم از کاتالیزگر ناهمگن $\text{HPV}_2\text{W-PANI}$ در مدت ۴ ساعت رفلaks گردید. نتایج حاصل از این بروزی در جدول ۳-۲ و شکل ۳-۲ آورده شده است که آن است که آلکن‌های خطی واکنش اپوکسایش آلکن‌ها را در مدت طولانی‌تری انجام می‌دهند و این افزایش زمان را می‌توان به ویژگی الکترون‌دهندگی کمتر آلکن‌های خطی نسبت داد و هر چه ویژگی الکترون‌دهندگی آلکن‌ها بیشتر باشد آسان‌تر در واکنش اپوکسایش شرکت کرده، بهمین دلیل آلکن‌های خطی قدرت الکترون‌دهندگی پایینی دارند و واکنش اپوکسایش را در مدت طولانی‌تری انجام خواهند داد.

جدول ۳-۸: نتایج حاصل از بررسی اپوکسایش دیگر آلکن‌ها با کاتالیزگرهای ناهمگن تهییه شده، (واکنش، حاوی $\text{HPV}_2\text{W-PANI}$ و HPVMo-PANI و $\text{HPV}_2\text{Mo-PANI}$ و میلی‌گرم به ترتیب برای کاتالیزگرهای $\text{HPV}_2\text{W-PANI}$ و HPVMo-PANI و $\text{HPV}_2\text{Mo-PANI}$ مقدار ۵٪ میلی‌مول آلکن، ۰.۴ میلی‌لیتر اکسندرهی TBHP، ۱ میلی‌لیتر حلal ۱و۲-دی‌کلرواتان، در دمای نقطه‌ی جوش حلal بهینه و در شرایط رفلaksن، انجام شد).

آلکن	ساختار	بازده٪		
		HPVMo-PANI	$\text{HPV}_2\text{Mo-PANI}$	$\text{HPV}_2\text{W-PANI}$
سیکلو‌اکتن		۹۸	۹۸	۵۵
α -پینن		۸۵	۸۷	۴۳
۱-اکتن		۵۹	۶۱	۲۵
α -متیل استایرن		۸۸	۹۰	۵۱
استایرن		۷۹	۸۲	۴۶
سیکلو‌هگزن		۹۱	۹۲	۵۳

بررسی اپوکسایش دیگر آلکن ها



شکل ۳-۳: نمودار نتایج حاصل از بررسی اپوکسایش دیگر آلکن ها با کاتالیزگرهای ناهمگن تهیّه شده، (واکنش، حاوی ۱۰، ۲۰ میلی گرم بهتریب برای کاتالیزگرهای HPV₂Mo-PANI، HPV_{Mo}-PANI و HPV₂W- PANI، مقدار ۰/۵ میلی مول آلکن، ۰/۴ میلی لیتر اکسندھی TBHP، ۱ میلی لیتر حلal او ۲-دی کلرواتان، در دمای نقطه‌ی جوش حلal بهینه و در شرایط رفلaksن، انجام شد).

۹-۲-۳ جمع‌بندی شرایط بهینه

شرایط بهینه‌ی مطلوب برای هر سه کاتالیزگر ناهمگن تهیّه شده حاصل شد و نتایج به طور اجمالی برای مقایسه و بررسی بهتر در جدول ۹-۳ در کنار هم قرار گرفت.

نتایج برای کاتالیزگرهای بر پایه‌ی فلز مولیبدن گویای آن است که تقریباً شرایط بهینه برای هر دو کاتالیزگر یکسان بوده و تنها در دو مورد (زمان و مقدار کاتالیزگر) اختلاف مشاهده شد. برای کاتالیزگر بر پایه‌ی تنگستن که میزان بازدهی اپوکسایش آن پایین‌تر بوده، نیز همین روند دیده می‌شود به این ترتیب بهترین کاتالیزگر HPV₂Mo-PANI است که تنها در ۶۰ دقیقه با بازدهی ۹۸٪ را به دست می‌دهد.

جدول ۳-۹: جمع‌بندی شرایط بهینه برای واکنش اپوکسایش آلکن‌ها با کاتالیزگرهای ناهمگن تهییه شده

پارامتر	کاتالیزگر		
	HPV _{Mo} -PANI	HPV ₂ Mo-PANI	HPV ₂ W-PANI
حلال	۱۰-۲-دی‌کلرواتان	۱۰-۲-دی‌کلرواتان	۱۰-۲-دی‌کلرواتان
اکسنده	TBHP	TBHP	TBHP
مقدار اکسنده (میلی لیتر)	۰/۴	۰/۴	۰/۴
مقدار کاتالیزگر (میلی گرم)	۱۵	۱۰	۲۰
دما (درجه‌ی سانتیگراد)	۷۷	۷۷	۷۷
زمان (دقیقه)	۱۲۰	۶۰	۲۴۰
بازدهی اپوکسایش	۹۸	۹۸	۵۵

۱۰-۲-۳ مکانیسم احتمالی اپوکسایش کاتالیزوری آلکن‌ها با کاتالیزگرهای HPV₂W-PANI، HPV₂Mo-PANI و HPV_{Mo}-PANI

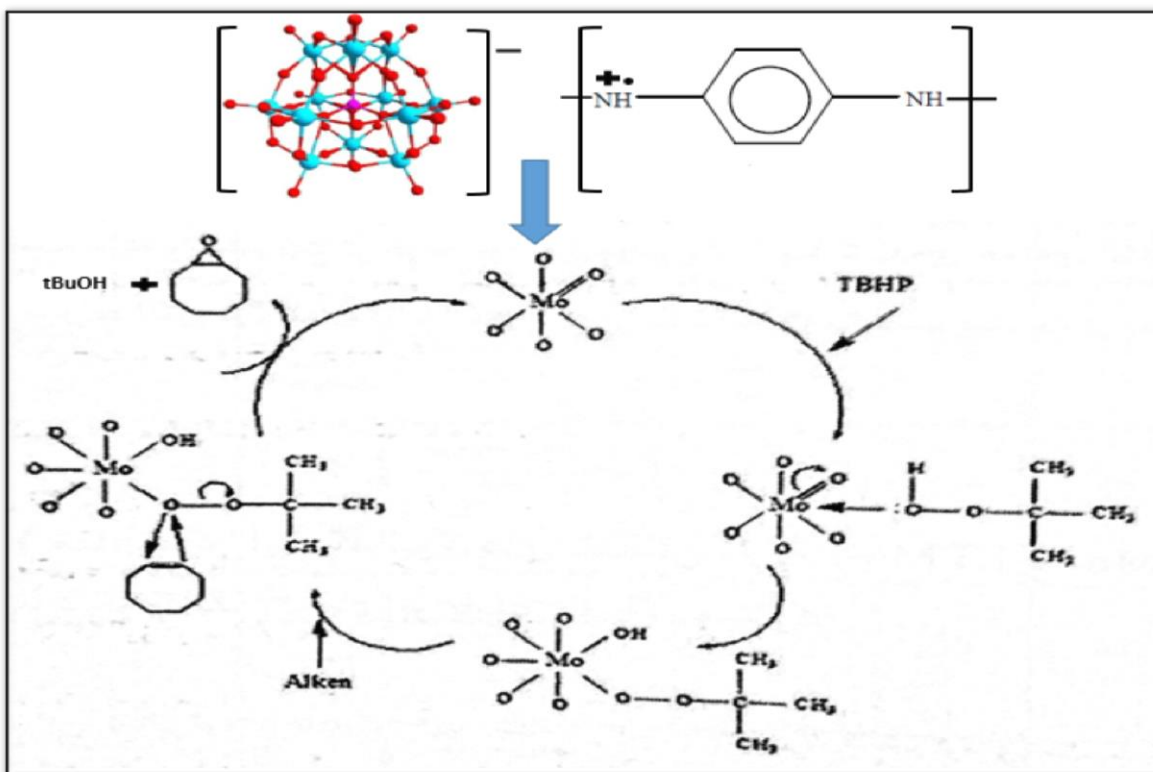
ابتدا هتروپلی اسید از طریق اوربیتال‌های خالی فلز الحقی (مولیبدن، تنگستن و یا وانادیوم) در کنار بستر پلی‌آئیلین از طریق پیوند الکتروستاتیک با جفت الکترون‌های ناپیوندی روی نیتروژن قرار می‌گیرد. همان‌طور که در بخش‌های قبلی ذکر شد، برای انجام واکنش اپوکسایش نیاز به یک ماده‌ی اکسیژن‌دهنده (اکسنده)، یک کاتالیزگر و حلالی مناسب می‌باشد. اتم فلزی موجود در این کاتالیزگرهای حکم اسیدهای لوییسی را دارند که با حذف بار جزئی متتمرکز شده روی پیوند O-O اکسنده، تفکیک M=O را آسان‌تر کرده و در نتیجه اتم اکسیژن فعال اکسنده به مرکز فلزی و پیوند دو گانه O

حمله می‌کند. بنابراین اکسیداسیون الکترون‌دوستی به‌وسیله‌ی اکسیژن، دارای بار جزئی مثبت انجام

می‌شود و اکسیژن دور، به لیگاند ترک کننده، نزدیک و به‌شکل O-R تشکیل می‌شود. پس از آن، آلكن وارد واکنش شده و با جفت الکترون لیگاند ترک کننده‌ی OR یک محصول اپوکسید را تشکیل داده و از فلز الحقی جدا می‌شود. این مکانیسم پیشنهادی با نتایج به‌دست‌آمده از بررسی توانایی کاتالیزوری و اثر پارامترهای مختلف کاملاً سازگار است.

با توجه به نتایج بررسی اثر حلال مشخص شد واکنش در حضور حلال‌های کوئوردینه و قطبی پیش نمی‌رود. حلال‌های کوئوردینه‌شده با اشغال یکی از جایگاه‌های کوئوردیناسیون فلز با اکسنده رقابت کرده و مانع از تشکیل کمپلکس هیدرو پراکسید-پلی‌اکسومتال خواهد شد. بنابراین حلال‌های دارای قطبیت پایین و غیرکوئوردینه برای انجام این واکنش مناسب‌تر است.

همچنین با توجه به داده‌های به‌دست‌آمده از بررسی آلكن‌های مختلف، هرچه دانسیته‌ی الکترونی روی پیوند دوگانه بیشتر باشد، بازدهی واکنش نیز افزایش می‌یابد که این موضوع تأکیدی بر حمله‌ی الکترون‌دوستی کمپلکس فعال به آلكن می‌باشد. بنابراین تمامی نتایج به‌دست‌آمده در این تحقیق با مکانیسم پیشنهادی قابل تطبیق است.



شکل ۳-۳: مکانیسم احتمالی اپوکسایش کاتالیزوری آلکن‌ها با کاتالیزگر $\text{HPV}_2\text{Mo-PANI}$

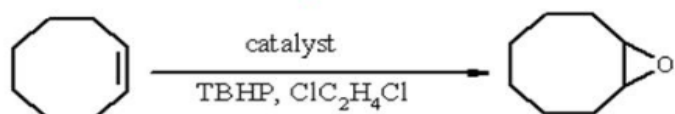
۱۱-۲-۳ مقایسه‌ی توانایی کاتالیزورهای ناهمگن تهیّه شده $\text{HPV}\text{Mo-}$ ، $\text{HPV}_2\text{W-PANI}$ و $\text{HPV}_2\text{Mo-PANI}$ با نمونه کارهای گذشته

در این بخش، عملکرد کاتالیزگرهای ناهمگن تهیّه شده در این پژوهه تحقیقاتی، با کاتالیزگرهای هتروپلی اسید مشابه در واکنش اپوکسایش آلکن‌ها مورد بررسی و مطالعه قرارگرفت. نتایج این بررسی در جدول ۱۰-۳ آورده شده است که با مشاهده و مقایسه نتایج حاصل از آن‌ها با نمونه‌های قبلی به نتایج قابل توجهی از جمله مقادیر کم کاتالیزگر و زمان کوتاه برخی از این کاتالیزگرهای تهیّه شده نسبت به موارد مشابه قبلی، رسیده شد.

به کمک پارامتر TOF که نشان‌دهندهی کارایی کاتالیزگر بر حسب (h^{-1}) ، عملکرد کاتالیزگرهای ناهمگن تهیّه شده با سایر کاتالیزگرهای مقایسه شد.

$$\text{TOF} = (\text{زمان} \times \text{میلی‌مول کاتالیزگر}) / (\text{بازده} \times \text{میلی‌مول آلکن})$$

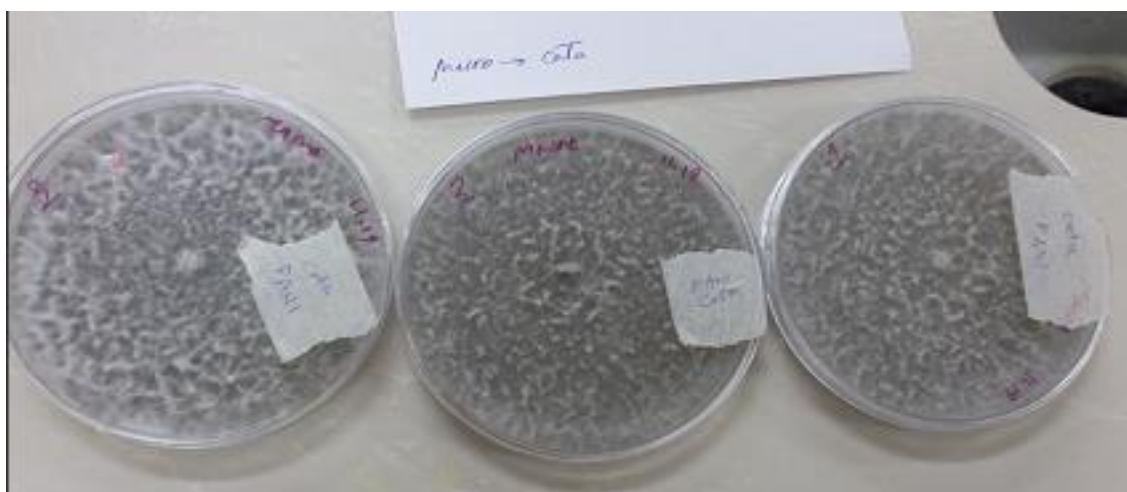
جدول ۱۰-۳: مقایسه‌ی عملکرد کاتالیزگرهای ناهمگن تهیه شده در این تحقیق با منابع دیگر



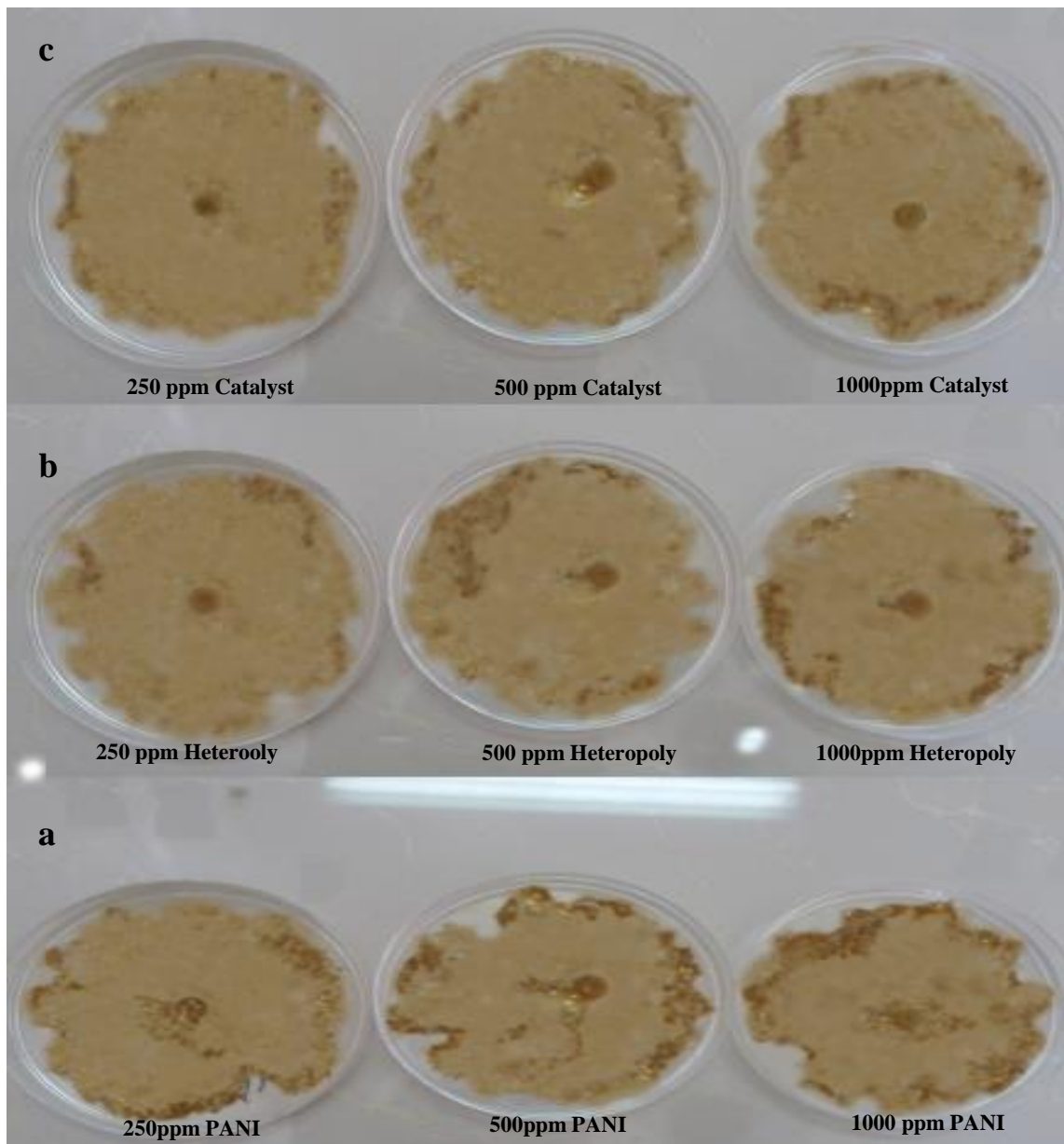
Catalyst	oxande	solvent	Amount of alken	Time	Yield	TOF	Ref
Na₅[PV₂Mo₁₀O₄₀].14H₂O /TiO₂ (۵ mg)	H ₂ O ₂ (1 mg)	CH ₃ CN (5 mg)	•/Λ mmol	12h	85	20	41
SBA/HMPAMo (25 mg)	H ₂ O ₂ (2 ml)	CH ₂ Cl ₂ (1 ml)	1 mmol	24h	93	5	42
SBA/ HPMAW (25 mg)	H ₂ O ₂ (1/12 mmol)	CCl ₄ (1 ml)	0/5 mmol	12h	59	26	43
HPV₂W-PANI (20 mg)	TBHP (1/12 mmol)	1,2-CH ₃ CHCl ₂ (1 ml)	0/5 mmol	4h	55	29	-
HPVMo-PANI (15mg)	TBHP (1/12 mmol)	1,2-CH ₃ CHCl ₂ (1 ml)	0/5 mmol	2h	98	99	-
HPV₂Mo-PANI (10mg)	TBHP (1/12 mmol)	1,2-CH ₃ CHCl ₂ (1 ml)	0/5 mmol	1h	98	174	-

۳-۳ نتایج آنتی باکتریال

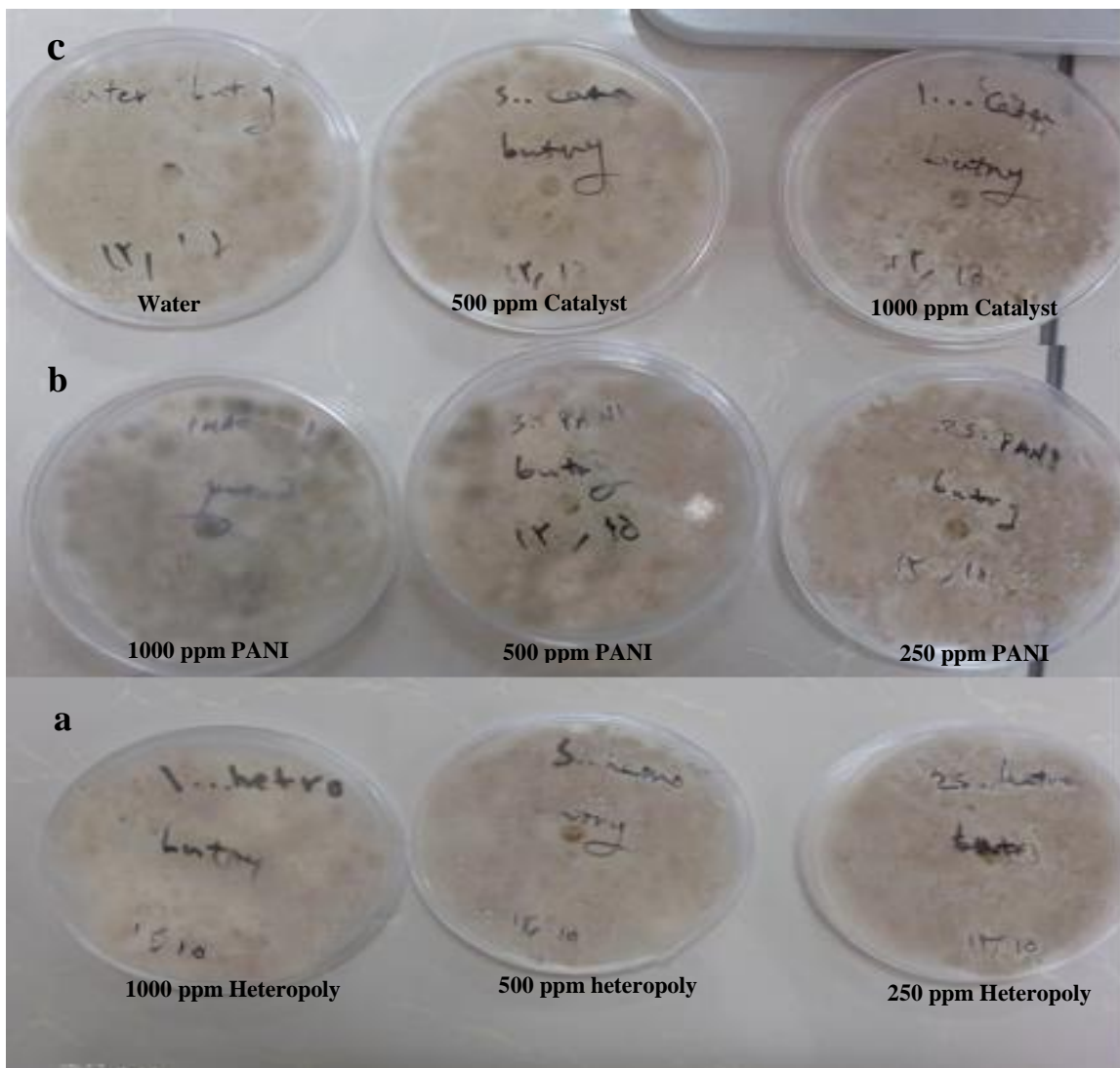
نتایج بررسی اثر بازدارندگی کاتالیزگر، هتروپلی اسید و پلی آنیلین بر اساس روش دیسک کاغذی در شکل‌های زیر ارائه شده است. همان‌طور که ملاحظه می‌شود پس از نگهداری به مدت ۳ روز در دمای 2 ± 25 درجه‌ی سانتیگراد پتری‌های شاهد و تیمارها توسط قارچ و باکتری پوشانده شد و مواد مورد بررسی اثر بازدارندگی بر رشد قارچ‌ها و باکتری مورد بررسی نداشتند. نمونه‌ای از تصاویر آن در شکل‌های ۳-۳۴-۳ - ۳۷ نشان داده شده است.



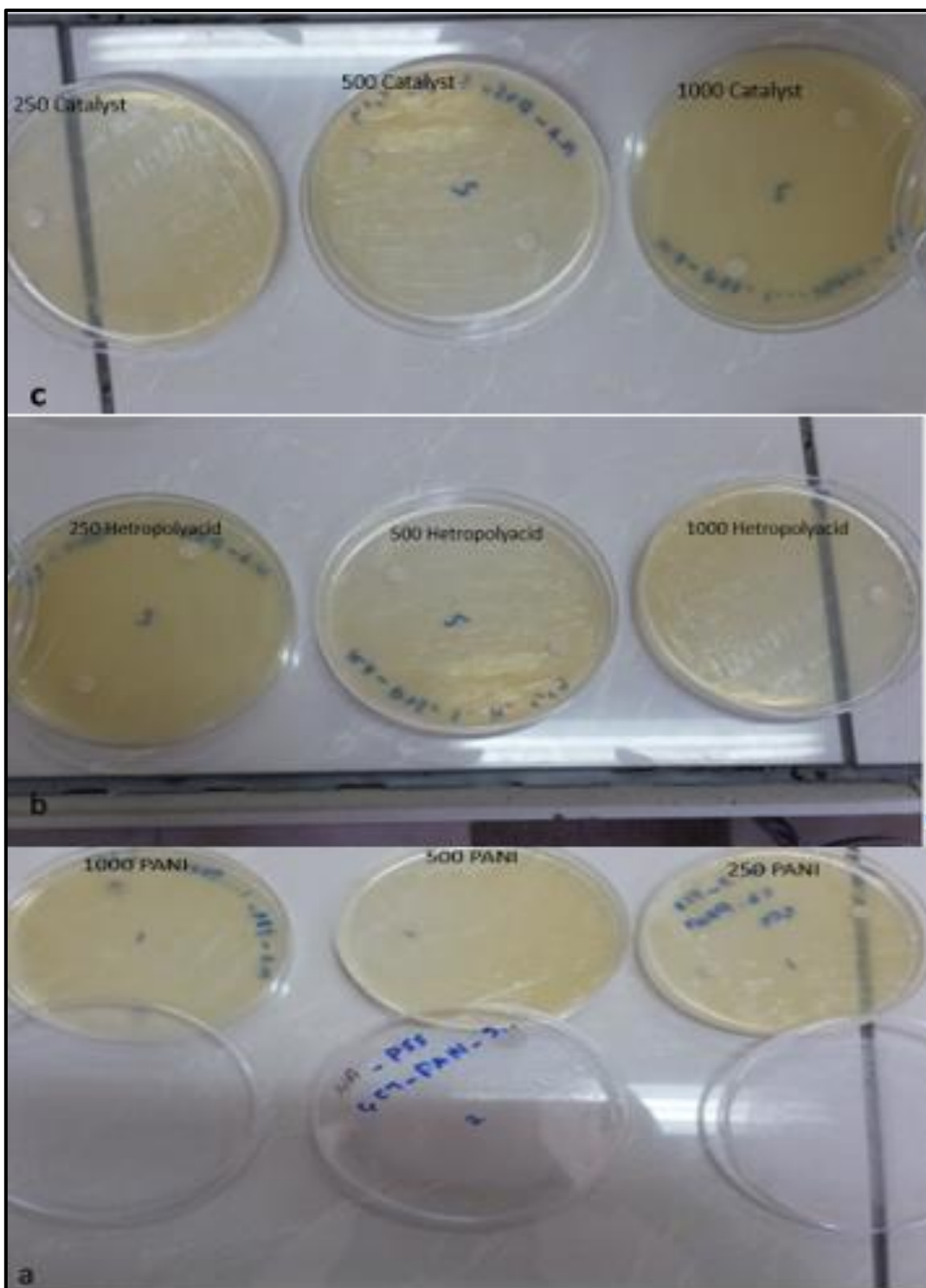
شکل ۳-۳: تأثیر بازدارندگی از رشد کاتالیزگر، الف- هتروپلی اسید، ب- پلی آنیلین، ج- کاتالیزگر بر قارچ ماکروفومینافوسئولینا، سه روز پس از کشت در محیط PDA در مقایسه با شاهد



شکل ۳-۳۵: تأثیر بازدارندگی از رشد ترکیبات، الف-پلی آنیلین، ب- هتروپلی اسید، ج- کاتالیزگر بر قارچ فوزاریوم- گرمینه، سه روز پس از کشت در محیط PDA در مقایسه با شاهد



شکل ۳-۳: تأثیر بازدارندگی از رشد ترکیبات، الف- هتروپلی اسید، ب- پلی آنیلین، ج- کاتالیزگر بر قارچ بوتریتیس- سینرا، سه روز پس از کشت در محیط PDA در مقایسه با شاهد



شکل ۳-۳۷: تأثیر بازدارندگی از رشد ترکیبات، الف- هتروپلی اسید، ب- پلی آنیلین، ج- کاتالیزگر بر باکتری پسیدوموناس سیرنگا، سه روز پس از کشت در محیط N.A در مقایسه با شاهد

آینده‌نگری:

اپوکسایش آلکن واکنش مهمی است که در صنایع گوناگون، کاربردهای متنوعی دارد. بنابراین به کارگیری کاتالیزگرهای تهیّه شده در این تحقیق، برای تولید سایر اپوکسیدها توصیه می‌شود. همچنین به کارگیری پلی‌اکسومتال‌های دیگر با ساختارهایی همچون ولز-داوسون و تهیّه کاتالیزگرهای ناهمگن با بستر پلی‌آنیلین یکی دیگر از ایده‌های پیشنهادی می‌باشد که امکان مقایسه‌ی توانایی کاتالیزوری این ساختارها را با هتروپلی اسیدهای کگین به کار رفته در این پژوهش فراهم می‌کند. همچنین می‌توان تأثیر وانادیوم بر دیگر هتروپلی اسیدهای کگین و ولز-داوسون را مورد بررسی قرار داد.

محاسبات:

مقدار فلز مولیبدن موجود در ۱ گرم از کاتالیزگر $\text{HPV}_2\text{Mo-PANI}$ به دست آمده از آنالیز ICP

ICP: 270946 ppm

$$\frac{2700946}{10000} = 27.0946$$

27.0946gr Mo 100gr HMo/PANI

Xgr Mo 1gr HPMo/PANI

$$X_{\text{grMo}} = \frac{27.0946 \text{ grMo} \times 1 \text{ grHPMo/PANI}}{100 \text{ gr HMo/PANI}}$$

$$X = 0.270946 \text{ grMo}$$

$$\begin{aligned} \frac{\text{XmmolHPMo}}{1\text{grHPMo/PANI}} &= 0.270946 \text{ grMo} \times \frac{1\text{molMo}}{96\text{gr Mo}} \times \frac{1000\text{mmolMo}}{1\text{molMo}} \times \\ \frac{1\text{mmolHPMo}}{10\text{mmolMo}} & \\ &= 0.282235 \text{ mmol HMoV}_2 / 1\text{gr HMoV}_2\text{-PANI} \end{aligned}$$

مقدار فلز مولیبدن موجود در ۱ گرم از کاتالیزگر HPVMo-PANI به دست آمده از آنالیز ICP:

ICP: 261203 ppm

$$\frac{261203}{10000} = 26.1203$$

26.1203 gr Mo 100gr HMo/PANI

XgrMo 1grHPMo/PANI

$$X_{\text{grMo}} = \frac{26.1203 \text{ grMo} \times 1 \text{ grHPMo/PANI}}{100 \text{ gr HMo/PANI}}$$

$$X = 0.261203 \text{ grMo}$$

$$\frac{X \text{ mmolHPMo}}{1 \text{ grHPMo/PANI}} = 0.261203 \text{ grMo} \times \frac{1 \text{ molMo}}{96 \text{ gr Mo}} \times \frac{1000 \text{ mmolMo}}{1 \text{ molMo}} \times$$

$$\frac{1 \text{ mmolHPMo}}{11 \text{ mmolMo}} = 0.247351 \text{ mmol HMoV / 1 gr HMoV-PANI}$$

مقدار فلز تنگستن موجود در ۱ گرم از کاتالیزگر $\text{HPV}_2\text{W-PANI}$ به دست آمده از آنالیز ICP:

ICP: 439796 ppm

$$\frac{439796}{10000} = 43.9796$$

$$\begin{array}{ll} 43.9796 \text{ gr W} & 100 \text{ gr HW/PANI} \\ X_{\text{grW}} & 1 \text{ gr HPW/PANI} \end{array}$$

$$X_{\text{grW}} = \frac{43.9796 \text{ grW} \times 1 \text{ gr HPW/PANI}}{100 \text{ gr HW/PANI}} = 0.439796$$

$$\begin{aligned} \frac{\text{XmmolHPW}}{1\text{grHPW/PANI}} &= 0.439796 \text{ gW} \times \frac{1\text{molW}}{183.85\text{gr W}} \times \frac{1000\text{mmolW}}{1\text{molW}} \times \\ \frac{1\text{mmolHPW}}{10\text{mmolW}} &= 0.23921 \text{ mmol HMoV / 1 gr HMoV-PANI} \end{aligned}$$

منابع:

- [1] J.F. Keggin, "Structure and Formula of 12-Phosphotungstic Acid", Proc. R. Soc., A 144, **1934**, 75.
- [2] I. V. Kozhevnicov, "Catalysts for Fine Chemical Synthesis", John Wiley and Sons, University of Liverpool, UK, **2002**.
- [3] A. Miolati and R. Pizzighelli, "Zur Kenntnis Der Komplexen Sanren I", J. Prakt. Chem, 77, **1908**, 417.
- [4] L. Pauling, "The Molecular Structure of The Tungstosilicates and Related Compounds", J. Am. Chem. Soc, 51, **1929**, 2868- 2880.
- [5] E. Papaconstantin, "Photochemistry of Polyoxometallates of Molybdenum and Tungsten and/or Vanadium", Chem. Soc. Rev, 18, **1989**, 1-13.
- [6] B. S. Bassil, M. Ibrahim, R. Al-Owein, M. Asano, Z. Wang, J. V. Tol, N. S. Dalal, K. Y. Choi, R. N. Biboum, B. Keita, L. Nadjo, U. Kortz,"A Planar $\{\text{Mn}_{19}(\text{OH})_{12}\}^{26+}$ Unit Incorporated in a 60-Tungsto-6-Silicate Polyanion", Angew. Chem. Int. Ed, 50, **2011**, 5961.
- [7] C. Lydon, C. Busche, H. N. Miras, D. L. Long, L. Yellowlees, L. Cronin," Nanoscale Growth of Molecular Oxides: Assembly of a $\{\text{V}_6\}$ Double Cubane Between Two Lacunary $\{\text{P}_2\text{W}_{15}\}$ Polyoxometalates", Angew. Chem. Int. Ed, 51, **2012**, 2115.
- [8] S. G. Mitchell, P. I. Molina, S. Khanra, H. N. Miras, A. Prescimone, G. J. Cooper, R. S. Winter, E. K. Brechin, D. L. Long, R. J. Cogdell, L. Cronin, "A Mixed-Valence Manganese Cubane Trapped by Inequivalent Trilacunary Polyoxometalate Ligands", Angew. Chem. Int. Ed, 50, **2011**, 9154.
- [9] A. Ashrafian, M. Mirzaee, B. Bahramian, "Preparation and Characterization of Heteropoly Acids Supported on Functionalized Nano Boehmit and Investigation of Their Catalytic Application", Master's thesis, Faculty of Chemistry, Shahrood University of Technology, **2014**.
- [10] D. L. Long, L. Cronin," Towards Polyoxometalate-Integrated Nanosystems De-Liang Long and Leroy Cronin", J. Eur. Chem, 12, **2006**, 3698- 3706.
- [11] M. Jamali, M. Mirzaee, F. Mohammadi Zanor, "Preparation and Characterization of $\text{H}_5[\text{PMo}_{10}\text{V}_2\text{O}_{40}].x\text{H}_2\text{O}$ and $\text{H}_5[\text{PW}_{10}\text{V}_2\text{O}_{40}].30\text{H}_2\text{O}$ Supported on Functionalized nano-boehmite and Investigation of Their Catalytic Application in Epoxidation of Olefins", ", Master's thesis , Faculty of Chemistry, Shahrood University of Technology, **2015**.
- [12] M. T. Pope And A. Muller, "Polyoxometalate Chemistry: An Old Field With New Dimensions in Several Discipline", Angew. Chem. Int. Ed. Engl, 30, **1991**, 34- 48.
- [13] U. B. Mioc, "Heteropoly compounds from Proton Conductors to Biomedical Agents", Solid. State. Ionics, 176, **2005**, 3005– 3017.

- [14] J. E. Molinari, L. Nakka, T. Kim, I. E. Wachs, "Dynamic Surface Structures and Reactivity of Vanadium-Containing Molybdophosphoric Acid ($H_{3+x}PMo_{12-x}V_xO_{40}$) Keggin Catalysts during Methanol Oxidation and Dehydration", ACS. Catal, 1, **2011**, 1536.
- [15] T. Boyd, S. G. Mitchell, N. M. Haralampou, D. L. Long and L. Cronin, "Understanding and Mapping the Assembly of a Family of Trimeric Polyoxometalates: Transition Metal Mediated Wells-Dawson (M_{18})-trimers", J. Royal. Soc. Chem, 39, **2010**, 6460–6465.
- [16] B. Dawson, "the Structure of the 9(18)-Heteropoly Anion in Potaussium 9(18)-Tungstophosphate, $K_6(P_2W_{18}O_{62}).14H_2O$ ", Acta. cryst, 6, **1953**, 113.
- [17] E. Rafiee, Z. Shirazi, "Synthesis And Investigation of Catalytic Activity of Keggin POMs Including Fe^{3+} and Al^{3+} in Some Organic Reactions", M.Sc.Thesis, Faculty of Chemistry, Razi University, **2011**.
- [18] D. D. Dexter, J. V. Silverton, "A New Structural Type for Heteropoly Anions, The Crystal Structure of $(NH_4)_2H_6(CeMo_{12}O_{42}).H_2O$ ", J. Am. Chem. Soc, 90, **1968**, 3589-3590.
- [19] H. T. Evans, "The Molecular Structure of the Isopoly Complex Ion, Decavanadate ($V_{10}O_{28}^6$)¹⁻", Inorg. Chem, 5 (6), **1966**, 967-977.
- [20] H. T. Evans, "The Crystal Structures of Ammonium and Potassium Molybdotellurates", J. Am. Chem. Soc, 70, **1948**, 1291.
- [21] D. Drewes, E. M. Limanski and B. Krebs, "A Series of Novel Lanthanide Polyoxometalates: Condensation of Building Blocks Dependent on the Nature of Rare Earth Cations", J. Royal. Soc. Chem, 14, **2004**, 2087- 2091.
- [22] G. R. Poul, "Some Perspectives on Heteropoly Ion Chemistry", J. Chem. Educ, 44, **1967**, 5.
- [23] H. Wang, Z. Liang, Q. Liu, D. Zhang, J. Wang, "Synthesis, Structure and Photocatalytic Hydrogen Evolution of a Silver-Linked Hexaniobate Lindquist Chain", Inorg. Chem. Commun, 61, **2015**, 157- 159.
- [24] Zh. Huo, D. Zang, Sh. Yang, R. Farha, M. Goldmann, B. Hasenknopf, H. Xu, L. Ruhlmann, "Synthesis and Characterization of Lindqvist-type Polyoxometalate-porphyrin copolymers", Electrochimica Acta, 179, **2015**, 326-335.
- [25] S. Wang and G. Y. Yang, "Recent Advances in Polyoxometalate Catalyzed Reactions", Chem. Rev, 115, **2015**, 4893- 4962.
- [26] A. Ensafi, E. Heydari-Soureshjani, M. Jafari-Asl, B. Rezaei, "Polyoxometalate-decorated graphene nanosheets and carbon nanotubes, powerful electrocatalysts for hydrogen evolution reaction", Carbon, 123, **2016**, 398-406.
- [27] D. A. Judd, J. H. Nettles, N. Nevins, J. P. Snyder, D. C. Liotta, J. Tang, J. Ermolieff, R. F. Schinazi, C. L. Hill, "Polyoxometalate HIV-1 Protease Inhibitors. A New Mode of Protease Inhibition", J. Am. Chem. Soc. 123, **2001**, 886-897.

- [28] A. Molinari, G. Varani, E. Polo, S. Vaccari, A. J. Maldotti, "Photocatalytic and Catalytic Activity of Heterogenized $\text{W}_{10}\text{O}_{32}^{4-}$ in the Bromide-Assisted Bromination of Arenes and Alkenes in the Presence of Oxygen", *Mol. Catal. A: Chem.*, 262, **2007**, 156.
- [29] A. M. Khenkin, I. Efremenko, L. Weiner, J. M. L. Martin, R. Neumann, "Photochemical Reduction of Carbon Dioxide Catalyzed by a Ruthenium-Substituted Polyoxometalate", *J. Eur. Chem.*, 16, **2010**, 1356.
- [30] N. Mizuno, M. Misono, "Heterogeneous Catalysis", *Chem. Rev.*, 98, **1998**, 199.
- [31] A. Muller, F. Peters, M. T. Pope, D. Gatteschi, "Polyoxometalates: Very Large Clusters-Nanoscale Magnets", *Chem. Rev.*, 98, **1998**, 239.
- [32] T. Yamase, "Photo- and Electrochromism of Polyoxometalates and Related Materials", *Chem. Rev.*, 98, **1998**, 307.
- [33] E. Coronado, C. J. Gomez-Garcia, "Polyoxometalate-based Molecular Materials", *Chem. Rev.*, 98, **1998**, 273.
- [34] I. V. Kozhevnikov, "Catalysis by Heteropoly Acids and Multicomponent Polyoxometalates in Liquid-Phase Reactions", *Chem. Rev.*, 98, **1998**, 171.
- [35] A. Kirpsza, E. Lalik, G. Mordarski, A. Micek-Ilnicka, "Catalytic Properties of Carbon Nanotubes-supported Heteropolyacids in Isopropanol Conversion", *Appl. Catal. A*, 549, **2018**, 254–262.
- [36] H. D. Tran, I. Norris, M. Julio, D. Arcy, H. Tsang, Y. Wang, R. Benjamin, "Substituted Polyaniline Nanofibers Produced via Rapid Initiated Polymerization", *Macromolecules*, 41, **2008**, 7405–7410.
- [37] O. Nakamura, T. Ogino, T. Kodoma, "Temperature and Humidity Ranges of Some Hydrates of High-Proto-Conductive Dodecamolybdophosphoricacid and Dodecatungstophosphoricacid Crystals Under An Atmosphere of Hydrogen or Either Oxygen or Air", *Solid. State. Ionics*, 3(4), **1981**, 347.
- [38] S. K. Parayil, Y. M. Lee, M. Yoon, "Photoelectrochemical Solar Cell Properties of Heteropoly tungsticacid-Incorporated TiO_2 Nanodisc Thin Films", *Electrochim. Commun.*, 11, **2009**, 1211–1216.
- [39] M. Misono, N. Nojiri, "Recent Progress in Catalytic Technology in Japan", *Appl. Catal.*, 64, **1990**, 1.
- [40] B. M. Reddy and A. Khan, "Recent Advances on $\text{TiO}_2\text{-ZrO}_2$ Mixed Oxides as Catalysts and Catalyst Supports", *Catal. Rev.*, 47, **2005**, 257- 296.
- [41] A. Popa, P. Nicoleta, V. Sasca, E. E. Kis and R. Marinkovic-Neducin, "Physicochemical features of polyaniline supported heteropolyacids ", *J. Opt. Soc. Am.*, 8(5), **2006**, 1944- 1950.
- [42] H. Kim, J. C. Jung, S. H. Yeom, K. Lee and I. K. Song, "Preparation of $\text{H}_3\text{PMo}_{12}\text{O}_{40}$ catalyst immobilized on polystyrene support and its application to the methacrolein oxidation", *J. Mol. Catal. A: Chem.*, 248, **2006**, 21- 25.

- [43] D. W. Lee, J. J. Oh, Y. Park, H. J. Eom, S. H. Yeom, I. K. Song and K. Y. Lee, "Impregnation of Tungstophosphoricacid On Poly(Methacrylamide-Co-methyl Methacrylate) and Its Acid Catalytic Activity in TMB Alkylation", Res. Chem. Intermed, 34, **2008**, 817- 825.
- [44] R. Mathew, D. Yang, B. R. Mattes and M. P. Espe, "Effect of Elevated Temperature on the Reactivity and Structure of Polyaniline", Macromolecules", 35, **2002**, 7575-758.
- [45] T. L. Young, M. P. Espe, D. Yang, B. R. Mattes, "Application of Solid-State NMR to Characterize the Interaction of Gel Inhibitors with Emeraldine Base Polyaniline", Macromolecules, 35, **2002**, 5565-5569.
- [46] J. P. Pouget, "X-ray Structure of Polyaniline", Macromolecules, 24, **1991**, 779-789.
- [47] H. S. O. Chan, P. K. Ho, "Polyanilines Doped with Phosphonic Acids: Their Preparation and Characterization", Macromolecules, 27, **1994**, 2159-2164.
- [48] H. Xia, Q. Wang, "Ultrasonic Irradiation: A Novel Approach To Prepare Conductive Polyaniline/Nanocrystalline Titanium Oxide Composites", Chem. Mater, 14, **2002**, 2158- 2165.
- [49] J. S. Cho, S. Sato, S. Takeoka, E. Tsuchida, "Synthesis of Disulfide-Containing Aniline and Copolymerization with Aniline", Macromolecules, 34, **2001**, 2751-2756.
- [50] N. R. Chiou, A. J. Epstein, "A Simple Approach to Control the Growth of Polyaniline Nanofibers", Synth. Met, 153, **2005**, 69.
- [51] J. X. Hung, R. B. Kaner, "Nanofiber Formation in the Chemical Polymerization of Aniline: A Mechanistic Study", Chem. Int. Ed, 116, **2004**, 5817-5821.
- [52] R. Hosseinbeigi, M. Mirzaee, "Preparation and Characterization of Heteropoly Acids Supported on Polyaniline Nanofiber and Investigation of Their Catalytic Activity", ", Master's thesis, Faculty of Chemistry, Shahrood University of Technology, **2016**.
- [53] M. Sadakane, E. Steckhan, "Electrochemical properties of polyoxometalates as electrocatalysts", Chem. Rev, 98, **1998**, 219.
- [54] Y. Leng, J. Wang, D. Zhu, M. Zhang, P. Zhao, Z. Long and J. Huang, "Polyoxometalate-Based Amino-Functionalized Ionic Solid Catalysts Lead to Highly Efficient Heterogeneous Epoxidation of Alkenes With H₂O₂", Green. Chem, 13, **2011**, 1636.
- [55] T. Sakamoto, C. Pac, "Selective Epoxidation of Olefins by Hydrogen Peroxide in Water Using a Polyoxometalate Catalyst Supported on Chemically Modified Hydrophobic Mesoporous Silica Gel", Tetrahedron. Lett, 41, **2000**, 10009.
- [56] R. Ishimoto, K. Kamata, N. Mizuno, "Polyoxometalate-Based Amino-Functionalized Ionic Solid Catalysts Lead to Highly Efficient Heterogeneous Epoxidation of Alkenes with H₂O₂", Angew. Chem, Int. Ed, 51, **2012**, 4662.

- [57] W. R. Thiel, J. Eppinger, "A Highly Active Protonated Tetranuclear Peroxotungstate for Oxidation with Hydrogen Peroxide", *J. Eur. Chem.*, 3, **1997**, 696.
- [58] I. W. C. E. Arends, R. A. Sheldon, "Molybdenum-Catalyzed Olefin Epoxidation : Ligand Effects", *Top. Catal.*, 19, **2002**, 133
- [59] K. Kamata, M. Kotani, K. Yamaguchi, S. Hikichi, N. Mizuno," Recent developments in Selective Catalytic Epoxidations with H₂O₂", *J. Eur. Chem.*, 13, **2007**, 939- 648.
- [60] J. Kasai, Y. Nakagaw, S. Uchida, K. Yamaguchi, N. Mizuno, "Olefin Epoxidation with Hydrogen Peroxide Catalyzed by Lacunary Polyoxometalate [γ-SiW₁₀O₃₄(H₂O)₂]⁴⁻", *J. Eur. Chem.*, 12, **2006**, 4176.
- [61] K. Kamata, K. Sugahara, K. Yonehara, R. Ishimoto, N. Mizuno, "[γ-1,2-H₂SiV₂W₁₀O₄₀] Immobilized on Surface-Modified SiO₂ as a Heterogeneous Catalyst for Liquid-Phase Oxidation with H₂O₂", *J. Eur. Chem.*, 17, **2011**, 7549.
- [62] I.V. Kozhevnicov, "Efficient Epoxidation of Electron-Deficient Alkenes with Hydrogen Peroxide Catalyzed by [γ-PW₁₀O₃₈V₂(μ-OH)₂]³⁻", *Russ. Chem. Rev.*, 56, **1987**, 811.
- [63] R. N. Strange, P. R. Scott, "Plant Disease a Threat to Global Food Security Annual", *Annu. Rev. Phytopathol.*, 43, **2005**, 83 – 116.
- [64] Z. ShahZeidi, "Antimicrobial Properties of Metal Particle Carrier", 2nd National Conference on Nanotechnology from theory to application, Isfahan, 2014.
- [65] M. K. Bhagwat and A. G. Datar, "Antibacterial Activity of Herbal Extracts Against Five Plant Pathogenic Bacteria", *Arch. Phytopathol. Plant. Prot.*, 47, **2014**, 892-899.
- [66] M. K. Bhagwat and A. G. Datar, "Antibacterial Activity of Herbal Extracts Against Five Plant pathogenic Bacteria", *Arch. Phytopathol. Plant. Prot.*, 47, **2014**, 571–583.
- [67] P. Shrivastava , R. Kumar, M. S. Yandigeri, "In Vitro Biocontrol Activity of Halotolerant Streptomyces Aureofaciens K₂₀: A Potent Antagonist Against Macrophomina Phaseolina (Tassi) Goid", *Saudi. J. Biol. Sci.*, 24, **2016**, 192-199.
- [68] A. M. Ramosa, M. Gally, G. Szapiro, T. Itzcovich, M. Carabajala, L. Levin, "In Vitro Growth and Cell Wall Degrading Enzyme Production by Argentinean Isolates of Macrophomina Phaseolina, the Causative Agent of Charcoal Rot In Corn", *Rev. Argent. Microbiol.*, 48(4), **2016**, 267-273.
- [69] Z. F. Sexton, T. J. Hughes, K. A. Wise, "Analyzing Isolate Variability of Macrophomina Phaseolina from a Regional Perspective", *Crop. Protection*, 81, **2016**, 9-13.
- [70] M.J. Torres, C. P. Brandan, G. Petroselli, R. Erra-Balsells, M.C. Audisio, "Antagonistic Effects of *Bacillus Subtilis* Subsp. *Subtilis* and *B. Amyloliquefaciens*

Against Macrophomina Phaseolina: SEM Study of Fungal Changes and UV-MALDI-TOF MS Analysis of Their Bioactive Compounds", *Microbiol. Res*, 182, **2016**, 31- 39

[71] F. Rawdah, H. Sarikhani, S. Mirzaee, "The Effect of Extract of Strawberry Leaves and Fruit on the Post-harvest Quality of Gray Mildew Control", Master's thesis, Faculty of Agriculture, Bu-Ali Sina University, 2012.

[72] A. Rahimian, M. Duane Ashrabi, d. Zafari, h Sari Khani, "The Effect of Boron on the Control of Gray Rot and Quality After Harvest of Grape Fruit of White Currant and Strawberry of Salwa Cultivar", Master's thesis, Faculty of Agriculture, Bou Ali Sina University, 2011.

[73] B. Williamson, B. Tudzynski, P. Tudzynski, J. van Kan, "Botrytis Cinerea: The Cause of Grey Mould Disease", *Mol. Plant. pathol*, 8, **2007**, 561-80.

[74] M. Choquer, E. Fournier, C. Kunz, C. Levis, J. M. Pradier, A. Simon and M. Viaud, "Botrytis Cinerea Virulence Factors: New Insights Into a Necrotrophicand Polyphageous Pathogen", *FEMS Microbiol. lett*, 277, **2007**, 1-10.

[75] J. Calvo, V. Calvente, M. E. de Orellano, D. Benuzzi, M. I. S. de Tosetti, "Biological Control of Postharvest Spoilage Caused by Penicillium Expansum and Botrytis Cinerea in Apple by Using the Bacterium Rahnella Aquatilis", *Int. J. Food. Microbiol*, 113, **2007**, 7- 251.

[76] N. A. Ismail, M. H. Mohd, N. M. I. M. Nor, L. Zakaria, "Fumonisin B₁-Producing Fusarium Species From Agricultural Crops In Malaysia", *Crop. Protection*, 98, **2017**, 70-75.

[77] R. S. Goswami and H. C. Kistler, "Heading for disaster: Fusarium Graminearum on Cereal Crops", *Mol. Plant. Pathol*, 5, **2004**, 515-525.

[78] S. Shinachi, M. Matsushita, K. Yamaguchi, N. J. Mizuno, " Heading for Disaster: Fusarium Graminearum on Cereal Crops", *J. Catal*, 233, **2005**, 81.

[79] Jansen C, Von Wettstein D, Schäfer W, Kogel K-H, Felk A, Maier FJ, "Infection Patterns in Barley and Wheat Spikes Inoculated With Wild-Type and Trichodiene Synthase Gene Disrupted Fusarium Graminearum", *Proc. Natl. Acad. Sci*, 102, **2005**, 16892-1689.

[80] M. Beyer, J. Verreet, "Germination of Gibberella zeae ascospores as affected by age of spores after discharge and environmental factors", *Eur. J. Plant. Pathol*, A: 111, **2005**, 381-389.

[81] M. Beyer, S. Röding, A. Ludewig, J. Verreet, "Germination and Survival of Fusarium Graminearum Macroconidia as Affected by Environmental Factors", *J. Phytopathol*, A: 152, **2004**, 92-97.

[82] D. E Katsoulis, "Germination and Survival of Fusarium graminearum Macroconidia as Affected by Environmental Factors", *Chem. Rev*, 98, **1998**, 359.

- [83] N. Fallahi Charkhabi, M. Shams part h Rahimian, p. Gods, m. H Rastegar, "Determination of Characteristics of Pseudomonas Syringae Pv. Syringae Isolates Causing Bacterial Bacterial Disease in Kerman Province and Evaluation of Iranian Wheat Genotypes Response to It", *Appl. Entomol. Phytopathol.*, 83(1), **1394**, 39-47.
- [84] b. Davoudi, M. Senior, K. Rohi Razi, "Study of phenotypic and genotypic characteristics of plum bacterial canker disease", 4th Agricultural and Sustainable Natural Resources Conference, Department of Agriculture, **2015**.
- [85] J. NassiriTaleshi, S. A. Mehdiyan, M. A. Tajik Ghanbari, A. Ghanbariyan, "Evaluation of The Resistance of Commercial Cultivars of Strawberries to Botrytis Cinerea and The Control Effect of Essential Oils of Fennel and Fungicides of Epididyn-Carbendazim on Them", *J. Bio. Control*, 5 (1), **2003**, 25-37.
- [86] G. A. Tsigdinos And C. J. Hallada, "Molybdovanadophosphoric Acids and Their Salts", *Inorg. Chem*, 7(3), **1968**, 437- 441.
- [87] G. P. Romanelli, P. I. Villabrille, C. V. Cáceres, P. G. Vázquez, P. Tundo, "Keggin Heteropolycompounds as Catalysts for Liquid-Phase Oxidation of Sulfides to Sulfoxides/Sulfones by Hydrogen Peroxide", *Catal. Commun*, 12, **2011**, 726–730.
- [88] R. Tayebee, Sh. Tizabi, "Highly Efficient and Environmentally Friendly Preparation of 14- Aryl-14H-dibenzo[a,j]xanthenes Catalyzed by Tungsto-Divanado-Phosphoric Acid", *Chin. J. Catal*, 33, **2012**, 962–969.
- [89] N. Mahato, N. Parveen, M. H. Cho, "Synthesis of Highly Crystalline Polyaniline Nanoparticles by Simple Chemical Route", *J. Mat. Let*, 138, **2015**, 1-8.

ABSTRACT:

Heteropolyacids, due to the high thermal stability, are suitable inorganic catalysts for the various oxidation and epoxidation reactions. In this study, heteropolyacides of H₄[PW₁₂O₄₀], H₄[SiW₁₂O₄₀], H₅[PMo₁₀V₂O₄₀], H₅[PW₁₀V₂O₄₀] and H₄[PMo₁₁VO₄₀] were prepared and supported on a polyaniline substrate . The structure of these compounds were investigated by analyzes of FT-IR, XRD, UV-Vis, FE-SEM and EDX. Also, ICP analysis was performed to determine the amount of metal in the catalysts. The GC was also used to investigate the progress of catalytic reactions. Then, their catalytic function was investigated in the reaction of epoxidation alkenes in heterogeneous condition and it was optimized for different parameters. The antibacterial properties of the compounds were also evaluated. Studies showed that in this reaction, the time and amount of catalysts have a significant effect on the progression of the reaction. Antibacterial studies of these compounds were performed on a number of pathogenic species such as fusarium, macrophomina fungus, botrytis fungi and pseudomonas syringae.

Keywords: heterogeneous catalyst, heteropoly acid, poly aniline, epoxidation, alkene.



Shahrood University of Technology

Faculty of Chemistry

**Preparation of heteropoly anions with a cohesive structure on the
substrate of nano-poly aniline and its catalytic and biological
application**

By : Marjan Naeimzadeh

Supervisor:

Dr. Mahdi Mirzaee

Advisor:

Dr. Shideh Mojerluo

February 2018